

**INSTITUTUL POLITEHNIC "TRAIAN VUIA" TIMIȘOARA**

**VIOREL CHICA**

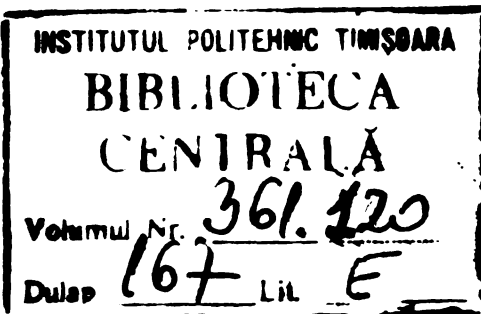
**CERCETAREA SUSCEPTIBILITATII LA FISURARE**

**DUCTILA A OTELURILOR DE CONSTRUCTII**

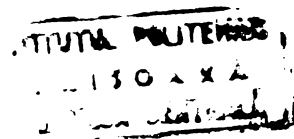
**CONDUCATOR STIINȚIFIC**

BIBLIOTECĂ CENTRALĂ  
UNIVERSITATEA "POLITEHNICA"  
TIMIȘOARA

- 1979 -



Autorul lucrării consideră o deosebire  
de onoare în a aduce recunoașterea sa  
Institutului de Cercetări Metalurgice  
care i-a asigurat toate condițiile  
pentru realizarea cercetărilor și a  
mulțumi corpului didactic al catedrei  
de Rezistență Materialelor din Insti-  
tutul Politehnic "Traian Vuia" -  
Timișoara pentru înaltă ținută a coor-  
donării științifice.



## CONTENUT

. Pag.

### **Lista simbolurilor**

<b>1. INTRODUCERE</b>	1
<b>2. SUSCEPTIBILITATEA LA FISURARE A OTELURILOR</b>	
2.1. Aspecte fenomenologice ale ruperii	4
2.2. Clasificarea ruperilor prin fisurare	5
2.3. Susceptibilitatea la fisurare	6
2.4. Iourt istoric al evoluției tenacității	8
<b>3. EVALUAREA TENACITATII AVIND LA BAZA MECANICA RUPERII PRIN FISURARE</b>	
3.1. Elemente de bază ale mecanicii ruperii	13
3.2. Analiza stării de tensiuni în feze unei creștături	15
3.3. Analiza stărilor de tensiuni, deforma- ții și deplasări în vecinătatea unei fisuri în corpuși plăti	16
3.4. Definirea caracteristicii de temaci- tate $K_{IP}$	34
3.5. Determinarea caracteristicii $K_{IC}$	37
3.6. Concluzii	42
<b>4. METODA PROPUȘĂ DE AUTOR PENTRU EVALUAREA SUSCEPTIBILITATII LA FISURARE DUCTILA</b>	
4.1. Analiză critică a metodelor actuale - premisiile noii metode	44
4.2. Elemente de bază ale noii metode propusă de autor	57
4.3. Definirea caracteristicii de temaci- tate $K_{IR}$	64
4.4. Concluzii	67

## 5. CERCETARI PRIVIND SUSCEPTIBILITATEA LA FISURARE DUCTILA A OTELURILOR

5.1. Obiectivul cercetării . . . . .	69
5.2. Metodica de cercetare . . . . .	70
5.2.1. Materiale de cercetare . . . . .	70
5.2.2. Apparatele pentru înocăciuri . . . . .	72
5.2.3. Tehnică de încercare . . . . .	73
5.2.4. Prelucrarea datelor experimentale . . . .	74
5.3. Resultatele încercărilor . . . . .	76
5.3.1. Verificarea relațiilor de calcul a compliantei . . . . .	78
5.3.2. Influența temperaturii asupra curbelor forță - deplasare de deschidere a fisurii . . . . .	81
5.3.3. Confirmarea identității și univocității caracteristicii $K_{IR}$ . . . .	83
5.3.4. Caracterizarea susceptibilității la fisurare a oțelurilor cercetate . . . .	86
5.3.5. Corelații cu caracteristicile de tenacitate evaluate prin încercări de încovoiare prin soc . . . . .	88
5.3.6. Considerații privind corelarea cu temperatura NDT . . . . .	90
5.4. Aprecieri privind caracterizarea oțelurilor . . . . .	92
5.5. Concluzii . . . . .	94
<b>6. APLICATII ALE CERCETARILOR</b>	
6.1. Definirea sistemului unitar de clase de calitate (tenacitate) . . . . .	95
6.2. Alegerea oțelurilor pentru construcții metalice . . . . .	96

<b>6.2.1. Elemente generale privind normele de alegere a clasei de calitate (tenacitate) . . . . .</b>	<b>96</b>
<b>6.2.2. Analiza pericolului ruperii prin fisurare . . . . .</b>	<b>99</b>
<b>6.2.3. Efectul grosimii la ruperea prin fisurare . . . . .</b>	<b>103</b>
<b>6.2.4. Criteriile revisuirii STAS 8542 . . . . .</b>	<b>104</b>
<b>6.2.5. Eficiență economică . . . . .</b>	<b>105</b>
<b>6.3. Prescripții de utilizare a oțelurilor de îmbunătățire pentru instalații de foraj care lucrează la temperaturi pînă la -60°C . . . . .</b>	<b>106</b>
<b>7. SINTEZA CONTRIBUȚIILOR LUCRARII . . . . .</b>	<b>108</b>
<b>8. ANEXE</b>	
<b>8.1. Forma revisuită a standardului de alegere a oțelurilor pentru construcții metalice (STAS 8542) . . . . .</b>	<b>III</b>
<b>8.2. Normă tehnică de rezură privind oțelurile de îmbunătățire folosite pentru instalații de foraj care funcționează la temperaturi scăzute . . . . .</b>	<b>118</b>
<b>9. Bibliografie</b>	

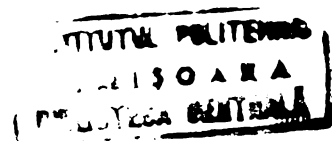
### Listă simbolurilor

$s(z)$ ; $f(z)$	= funcții de variabilă complexă
$\sigma$ ; $\text{Re } f(z)$	= partea reală a funcției de variabilă complexă
$\psi$ ; $\text{Im } f(z)$	= partea imaginară a funcției de variabilă complexă
$P, F, X$	= funcții potențial
$\phi$	= funcția Airy
$u$	= deplasarea pe direcția x
$v$	= deplasarea pe direcția y
$w$	= deplasarea pe direcția z
$\delta_j$	= deplasarea de deschidere a fisurii pe direcția y la distanța j față de origine pe axa x
$\epsilon$	= deformăție specifică
$\epsilon$	= deformăție reală
$\gamma$	= deformăție unghiulară
$\omega$	= rotație
$\tau$	= tensiune normală
$\sigma$	= tensiune tangențială
$E$	= modul de elasticitate liniar
$G$	= modul de elasticitate transversal
$\mu$	= constanta Poisson
$\lambda$	= constanta Lame
$F$	= forță
$S$	= solicitare
$L$	= lucru mecanic
$U$	= energie de deformare
$g$	= energie de suprafață

$C$	= compliantă
$\mathcal{E}_{jk}$	= compliantă specifică corespunzătoare deplasării de deschidere a fisurii $\delta_{jk}$ , într-un plan perpendicular pe axa a la distanța $k$ de origine
$K$	= factor de intensitate al tensiunilor elastice
$G$	= energia elastică specifică de propagare a fisurii
$K_R$	= factor de intensitate al tensiunilor la granița elasto-plastică
$R$	= energia specifică echivalentă de propagare
$R_p$	= raza polară a graniței elastoplastice
$J$	= integrala energiei de deformare
$a$	= lungimea fisurii
$t$	= grosimea epruvetei
$b$	= lățimea epruvetei
$l$	= lungimea epruvetei
$r$	= raza de recordare a creștăturii
$I$	= factor adimensional în calculul factorului de intensitate al tensiunilor
$\Phi$	= factor adimensional în calculul compliantei
$\Phi_{jk}$	= factor adimensional în calculul compliantei specifice $\mathcal{E}_{jk}$
$\Phi_\omega$	= factor adimensional în calculul compliantei specifice de rotație
$K_V$	= energia de rupere în încercare de încovoiere prin soc pe epruvete cu creștură în V
$T_T$	= temperatură de tranziție
$T_{KV}$	= temperatură la care $K_V = 25$ jouli
$T_{NDT}$	= temperatură de pierdere a ductilității în încercarea Pellini

### Lista inițierilor simbolurilor

x,y,z	=	direcția axelor
o	=	originea axelor
r, $\theta$	=	coordonate polare
L	=	limită
N	=	nominal
max	=	maxim
min	=	minim
m	=	mediu
e	=	elastic
p	=	plastic
R	=	rupere
i	=	inițiere
c	=	critic
v	=	volumetric
t	=	total
p	=	rezanant
I, II, III	=	tipul de deschidere a fisurii
DP	=	stare plană de deformare
TP	=	stare plană de tensiuni



## I. INTRODUCERE

Construirea societății sociale multilateral dezvoltate în România presupune un înalt grad de dezvoltare a industriei naționale atât din punctul de vedere al complexității cît și din cel al nivelului tehnic și de organizare al acesteia. Realizarea optimă a obiectivelor în sfere industriale va avea ca rezultat atât creșterea nivelului de trai, cît și asigurarea unei participări substanțiale a României la activitatea productivă mondială, în cadrul diviziunii internaționale a muncii. Aceste două deziderate necesită eforturi susținute pentru realizarea unor produse de calitate superioară, cu cheltuieli minime, care să satisfacă într-un grad înalt nevoiele beneficiarilor.

Economicitatea realizării produselor, reprezintă una din direcțiile prioritare ale creșterii eficienței activităților economice, în care cercetarea aplicativă poate aduce contribuții deosebite. Acest obiectiv fundamental, cuprins în Programul Partidului Comunist Român de fidurire a societății sociale multilateral dezvoltate și de înaintare a României spre comunism, precum și în Directivele Congresului al XI-lea al Partidului Communist Român, capată forma concretă - în documentul de referință al acestei lucrări-de îmbunătățire a utilizării otelurilor, și se inscrie pe două direcții prioritare ale politicii economice, și anume a scinderii pe ansamblu a cheltuielilor materiale prin folosirea la maxim a potențialului calitativ al otelurilor și a rationalizării sortimentației de fabricație prin asigurarea extinderii domeniilor de utilizare a produselor vii sărcilor tipizate. Cercetările efectuate în cadrul acestei lucrări au fost organizate având în vedere două obiective aplicative și anume îmbunătățirea standardului de alegare a otelurilor pentru construcții metalice și rezolvarea problemelor siguranței față de superea fragilă a instalațiilor de fieraj pentru export în zone arctice.

Îmbunătățirea standardului de alegare a otelurilor

pentru construcții metalice a constat în principal în înlocuirea vechii metode empirice cu o metodă nouă având la bază criterii de siguranță fundamentate de cunoașterea procesului de rupere prin fisurare. Aplicând noua metodă se estimează că datorită utilizării mai raționale a oțelurilor - adică a evitării folosirii unor oțeluri de calitate superioară, deci mai scumpe, acele unde condițiile de siguranță pot fi satisfăcute folosind oțeluri de calitate mai sădătuță, deci mai ieftine - rezultă o reducere pe ansamblu a prețului construcțiilor metalice cu circa 5 milioane lei la 100.000 tone oțel.

Al doilea obiectiv aplicativ, și anume siguranța față de ruperea fragilă a instalațiilor de foraj pentru export în țările cu zone arctice (temperaturi pînă la  $-60^{\circ}\text{C}$ ), a fost abordat în ideea evitării assimilării de mîrci noi, pentru a obține efecte economice atît din eliminarea cheltuielilor de cercetare-assimilare de mîrci noi cît și din reducerea termenului la care realizarea acestor instalații este posibilă. Aplicând metodele noi dezvoltate în această lucrare s-au putut stabili condițiile în care actuala gamă de oțeluri tipizate pentru organe de mașini în stare tratată termic poate sătifica condițiile de siguranță față de ruperea fragilă și anume prin alegerea adecvată a tratamentului termic final.

Fundamentul teoretic al rezolvării acestor probleme, cuprins în prima parte a lucrării, îl constituie tratarea fenomenologică a procesului ruperii prin fisurare. Contribuția teoretică a lucrării constă în definirea și fundamentearea unei metode noi de evaluare a tenacității la fisurare. Metoda propusă nu este condiționată de dimensiunea epruvetelor, astfel încît poate fi aplicată la caracterizarea întregii găse dimensiunale de produse utilizată. Această metodă a permis caracterizarea susceptibilității la fisurare a oțelurilor în concordanță cu schimbările fenomenologice ale procesului de fisurare.

Programul experimental de verificare a ipotezelor teoretice și de caracterizare a susceptibilității la fisurare s-a efectuat pe baza criteriilor statistice ale teoriei estimării. Pentru a facilita validerile rezultatelor, s-a făcut corelarea între caracteristicile oțelului evaluante prin

metodele empirice actuale și caracteristicile obținute prin aplicarea noii metode dezvoltată de autor.

Din punct de vedere teoretic, lucrarea are un caracter interdisciplinar, tratând probleme care se pot încadra în rezistența materialelor, teoria elasticității, mecanica suprafeței prin fizurare, încercările materialelor și controlul calității, și calculul la stări liniită a construcțiilor.

## 2. SUSCEPTIBILITATEA LA FISURARE A OTELURILOR

### 2.1. Aspecte fenomenologice ale ruperei

Noțiunea de rupere definește, în acceptiunea sa cea mai generală, fenomenul de fragmentare a unui corp sub acțiunea unor stări de tensiuni. În rezistența materialelor ruperea reprezintă o stare limită definită de pricinul eveniment al fenomenului și anume realizarea unei discontinuități locale a materialului. Se apreciază, că acest fapt se produce în locul și în momentul în care tensiunea atinge valoarea rezistenței la rupere a materialului. Teoretic condiția de rupere astfel pusă este corectă, însă nu se verifică în practică. Valoarea tensiunii la care se obține experimental cedarea locală a materialului, adică caracteristica de rezistență la rupere obținută experimental, este mult mai mică decât valoarea teoretică, și anume forța maximă de coeziune care se obține prin mărirea distanței între atomi (deformare). Forța de coeziune variază funcție de distanța dintre atomi, conform fig. 1. Introducând noțiunea de energie de suprafață ( $g_s$ ) care reprezintă lucru mecanic de desfacere a legăturilor atomice, deci suprafața curbei din fig. 1, se poate obține prin

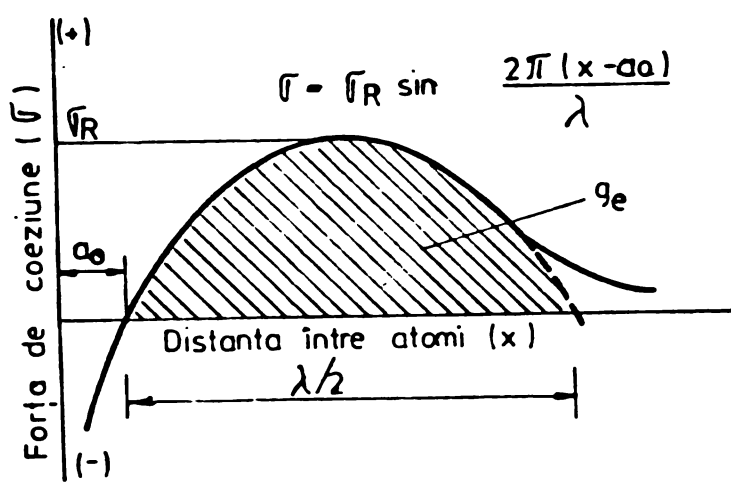


FIG. 1

integrarea acestei curbe și explicitarea în raport cu  $\Gamma_R$  relația :

$$\Gamma_R = \left( \frac{E g_e}{a_0} \right)^{1/2}, \quad (1.1)$$

în care :

$\Gamma_R$  = rezistență teoretică de rupere

E = modulul de elasticitate

$a_0$  = distanța între atomi pentru cristalul nedeformat

Inlocuind valorile corespunzătoare mărimilor din relația (1.1), se obțin valori ale rezistenței teoretice care sunt de 100 ori pînă la 1000 de ori mai mari decît valorile rezistențelor experimentale.

Cauza diferenței mari între valorile teoretice și experimentale ale rezistenței, sugerată de A.A. Griffith /2/ și G. Weibull /3/, este existența în material a unor discontinuități care realizează concentrări locale de tensiuni. Într-adevăr, determinările experimentale pe fire din mono-cristale lipsite de dislocații ("măstăci") au condus la valori ale rezistenței la rupere de același ordin de mărime ca rezistența teoretică de rupere. Rezultă deci că condiția de rupere din rezistență materialelor este valabilă numai în ipoteza corpului continuu. În cazul corpului real cu defecte, ruperea trebuie tratată ca un proces de dezvoltare a discontinuităților din material cu realizarea unor suprafete noi sub formă de fisuri, deci un proces de fisurare a cărui desfășurare depinde atât de caracteristicile materialului cît și de natura și mărimea instantanee a fisurii. În acest caz, ruperea prezintă aspecte fenomenologice distincte, specifice condițiilor și fazelor de desfășurare a procesului, care pot fi grupate astfel :

- a) mecanismele germinării discontinuităților din material, de la dimensiunile microscopice ale dislocațiilor pînă la dimensiuni de mici sau macrofisuri ;

- b) mecanica deafăurării intempestive a proceselor de fisurare, la care se semnalează fazele de inițiere, propagare, oprire;
- c) mecanismele deafacerii legăturilor coeziive ale materialelor.

### 2.2. Clasificarea ruperilor după fisurare

Complexitatea și diversitatea aspectelor ruperilor este sugeriv evidentiată de lista tipurilor de rupere cuprinse în clasificarea din tabelul 1, preluată din lucrările /4, 46/. Încărcarea din aceste tipuri de rupere prezintă elemente particulare care individualizează legile specifice fiecărui tip. Având în vedere acest fapt, se face precizarea că ruperile cercetate în această lucrare au fost, de tip I, la tensiuni scăzute (înnințe de curgerea generală), tenace, mixte și cu propagare intempestivă. Conform clasificării din tabelul 1, ruperile intempestive sunt cele care se realizează în condițiile și sub efectul exclusiv al unei solicitări singulare (nerepetate), spre deosebire de ruperile germinative care se desfășoară în timp, în condiții speciale de solicitare ca de exemplu : sarcini repetitive (oboseală), corozie, flumuri, etc.

### 2.3. Susceptibilitate la fisurare

În standardul de terminologie în încercările mecanice ale metalelor (STAS 1965) a fost introdusă noțiunea de susceptibilitate la fisurare. Această noțiune evidențiază caracterul transitoriu al comportării la rupere (fisurare) a materialului. Susceptibilitatea la fisurare este evaluată printr-o curbă de transiție a unei caracteristici care definește comportarea la rupere - caracteristică de tenacitate - funcție de temperatură, viteză de aplicare a sarcinii, etc.

Necesitatea evaluării susceptibilității printr-o

### Functul de vedere al clasificării

<b>I. STARE DE TRECUTĂ</b>	<b>II. INEGALITĂ</b>	<b>III. JUJUAPATĂ DE RUFARI</b>	<b>IV. PROFILARE</b>	<b>V. RECENTARE DE SEPARARE</b>
1. vîrcoță tonomăsă prin depunere (fig. 2)	1. vîrcoță tonomăsă prin depunere (fig. 2)	1. aspectul suprafeței de rufare	1. vîrcoță de profil descansă peectorala fisiată	1. recentare de separare
2. vîrcoță tonomăsă prin depunere (fig. 2)	2. gradul de trageabilitate a tensiunii - tensiunea generată	2. geotextila suprafeței de rufare	2. vîrcoță de profil descansă peectorala fisiată	2. recentare de separare
3. vîrcoță tonomăsă prin depunere (fig. 2)	3. gradul de trageabilitate a tensiunii - tensiunea generată	3. aspectul suprafeței de rufare	3. recentare de separare	3. recentare de separare
4. vîrcoță tonomăsă prin depunere (fig. 2)	4. vîrcoță tonomăsă prin depunere (fig. 2)	4. aspectul suprafeței de rufare	4. recentare de separare	4. recentare de separare

Figuri de rupere

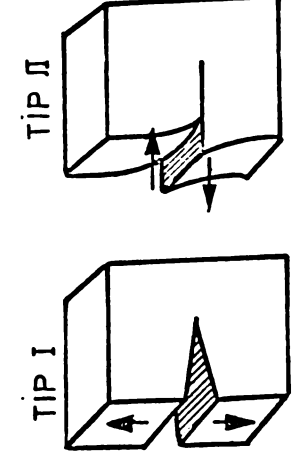


FIG. 2

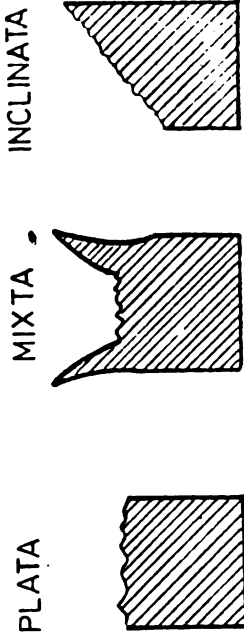


FIG. 3

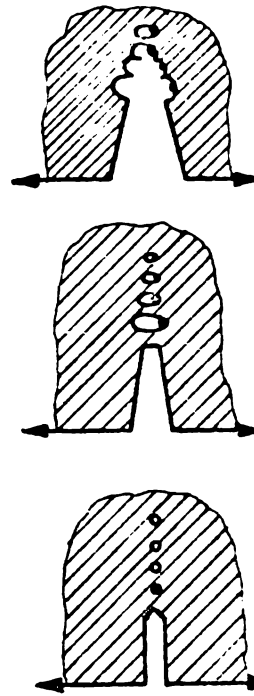


FIG. 4

2) Mechanismul de separare este evidentiat prin analiza la microscop a suprafețelor de rupere. Jijre exemplifică sunt date în fig. 5, 6, 7, 8, 9, 10, 11, 12, 13, 14 și 15 obținute cu un microscop electronic sau balanță (seamung) /4/.

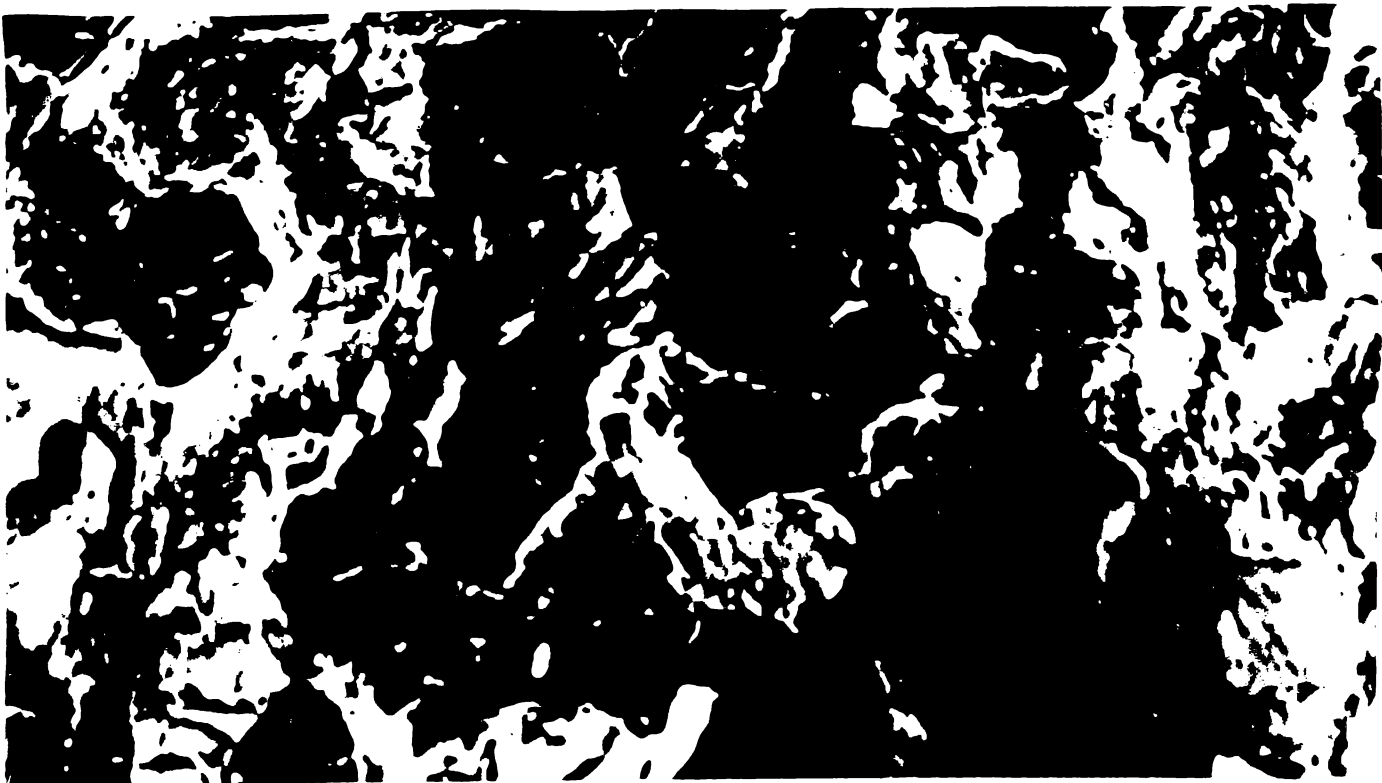


Fig. 5- Microfotografie rupere intergranulară



Fig. 6-Micr.fotografie rupere prin clivaj

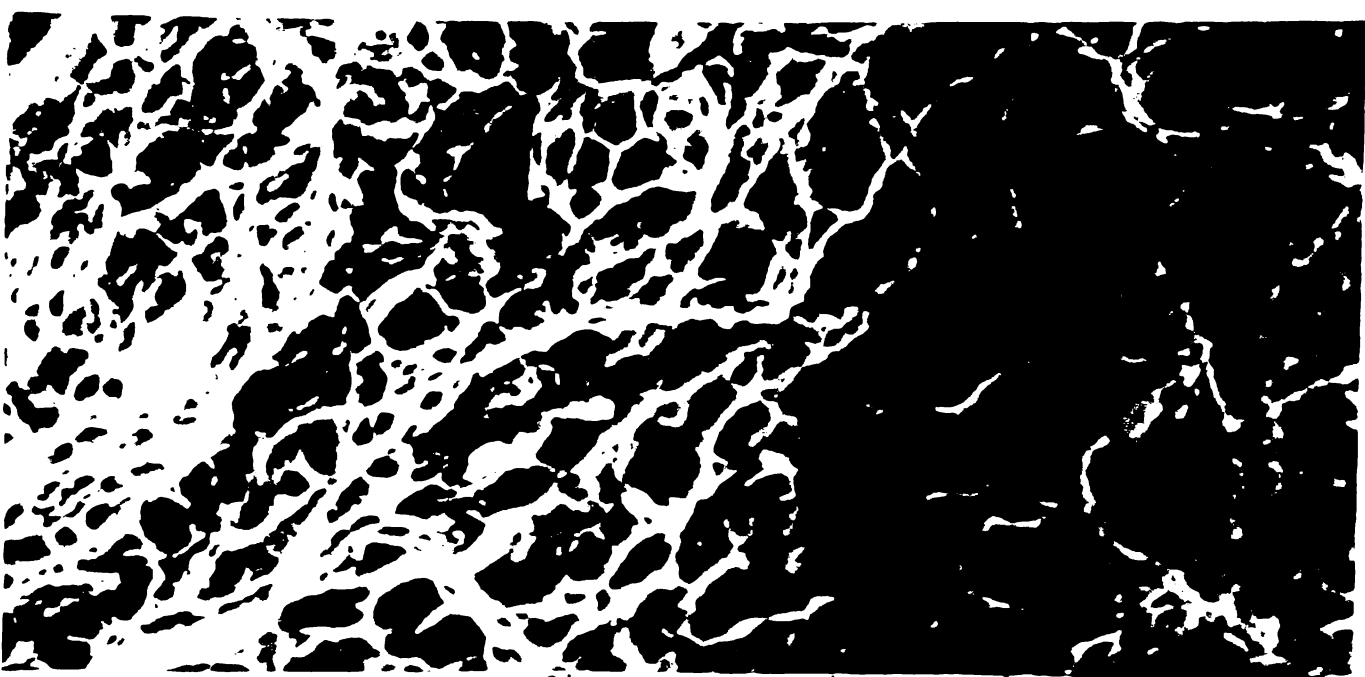


Fig. 7-Micr.foto rupeare prin mecanism ductil

mărime, a condus la definirea unor caracteristici de tranziție, în spatele valorilor ale factorilor de influență - temperatură, viteză, etc - la care caracteristicile de tenacitate au anumite valori.

#### 2.4. Scurt istoric al evaluirii tenacității

Consecințarea eșecelor spectaculoase a unor structuri metalice a impus abordarea problemei ruperii sub aspectul global al siguranței, într-o perioadă în care nu se dezvoltaseră teorile ruperii prin fisurare.

Plecindu-se de la constatarea aspectului fragil al comportării materialului și avându-se în vedere teoriile lui Griffith - Orowan privind implicațiile balanței energiei de deformare asupra fisurării, a fost acreditată caracteristica de reziliență a materialelor, definită ca lucrul mecanic consumat pentru ruperea unei epruvete. Epruvetele au fost concepute cu un concentrator de tensiuni de tip crestătură pentru a obține o stare triaxială de tensiuni care favorizează apariția ruperilor fragile prin reducerea deformațiilor plastice. Dintre toate încercările și epruvetele propuse practica uzinală a consacrat încovoierea prin coe pe epruvete cu crestătură în V sau U.

Încovoierea s-a dovedit a avea o bună sensibilitate la variațiile calității materialelor, fapt pentru care a fost intens folosită în cercetările metalurgice pentru realizarea de materiale cu caracteristici de tenacitate superioare. Încercarea este folesită și în prezent atât pentru cercetările metalurgice cât și pentru evaluarea nivelului garantat al tenacității oțelurilor la o anumită temperatură. A fost definită ca temperatură de tranziție a oțelurilor, temperatura la care energia de rupere (reziliență) în încovoiere prin coe are anumite valori. Aceste valori au fost stabilite empiric. De exemplu, valoarea energiei de rupere KV = 28 jouli a fost stabilită după expertizarea tablelor unor nove ovariante /5/, în baza constatării că fisurile s-au oprit de regulă în tablele cu energie de rupere KV peste

28 iulie.

Caracterul empiric convențional al definirii temperaturii de tranziție în încercarea de încovoiere prin soc, precum și faptul că nu s-a putut stabili o corelație între temperatura de tranziție a materialelor și temperatura de tranziție a structurilor metalice /6/ definită ca temperatura la care s-a produs ruperea fragilă a acestora, a determinat efectuarea de investigații pentru găsirea unor aspecte noi, semnificative ale încercării de încovoiere prin soc. Dintre acestea, cele mai importante sunt înregistrările variației forței în timpul încercării /7-11/. Rezultatele obținute au evidențiat faptul că din punct de vedere fenomenologic ruperea epruvei în încercarea de încovoiere prin soc nu reproduce ruperile prin fisurare, drept care aplicarea teoriilor mecanicii ruperii /12-14/ nu este posibilă.

Lipsa de concludență a încercării de încovoiere prin soc a fost pusă pe seama dimensiunilor reduse ale epruvei și pe insuficientul grad de severitate pe care îl poate asigura creșterea epruvei. În consecință, s-a dezvoltat o gamă largă de încercări pe epruve de dimensiuni mari și cu creșteri cît mai severe (cu raze cît mai mici la vîrful creșterii). Nici cu aceste epruve nu s-au putut reproduce aspectele specifice ruperilor structurilor, în special inițierea ruperii la tensiuni sub limita de curgere.

În mod inevitabil s-a ajuns la necesitatea dezvoltării încercărilor la care adormita de rupere este o fisură. A fost propus un număr mare de tipuri de epruve și încercări. Dintre acestea au fost mai mult folosite încercările propuse de W.S. Pellini /15, 16/ și T.B. Robertson /17, 18/. Specificitatea încercării este faptul că adormarea ruperii este realizată prin condiții locale speciale care nu se regăsesc la inițierea ruperilor structurilor metalice.

Încercarea propusă de W.S. Pellini, care ulterior a făcut obiectul normei ASTM E 208 și care a fost standardizată și în țara noastră (STAS 9262), constă din încovoierea prin soc (prin căderea unei sonete) a unei epruve, pînă la realizarea unei săgeți la care se obține în fibra externă întinsă o

tensiune egală cu limita de curgere a materialului. Pe această parte a epruvei este depus un cordon de sudură cu duritate mare pe care se face o crestătură. La o deformare a epruvei mai mică decât cea prescrisă în încercare, cordonul de sudură se crește, realizând astfel pe față întinsă a epruvei o fisură de suprafață perpendiculară pe direcția tensiunilor principale. În fig. 8, este prezentată schița epru-

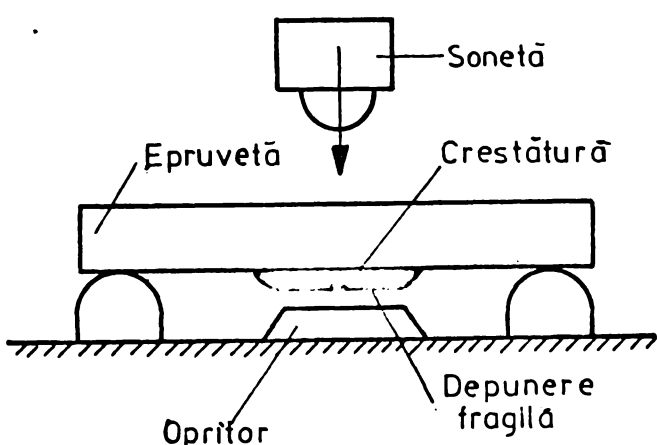


FIG. 8

vetei și a dispozitivului de încercare. Încercarea se efectuează la temperaturi din ce în ce mai scăzute, pînă cînd se obține ruperea fragilă a epruvei. Temperatura la care se obține ruperea fragilă a fost numită "temperatura de pierdere a ductilității" și notată cu simbolul NDT (null ductility temperature). Această temperatură, după cum reiese din diagrama FAD (fracture analysis diagram) din ASTM E 208, reprezintă temperatura de inițiere a ruperii, în condițiile unor tensiuni egale cu limita de curgere a materialului și a unui defect de suprafață de tip eliptic cu deschiderea de aproximativ 12 mm.

Această încercare, prezintă mai multe elemente de inadvertență cu cerință de concludență și identitate a unei caracteristici de material, care vor fi analizate în capitolele următoare. Este prezentată aici doar problema semnalată în lucrarea /19/ privind implicațiile zonei de influență termică. Astfel la materialele la care zona de influență

termică este mai tenace decât materialul de bază, rezultatul încercării caracterizează tenacitatea zonei de influență termică, iar la materialul la care zona de influență termică este mai puțin tenace decât materialul de bază, rezultatul încercării caracterizează materialul de bază.

Încercarea propusă de T.S. Robertson, dezvoltată ulterior în variante foarte diferite - încercarea ESSO

a)

b)

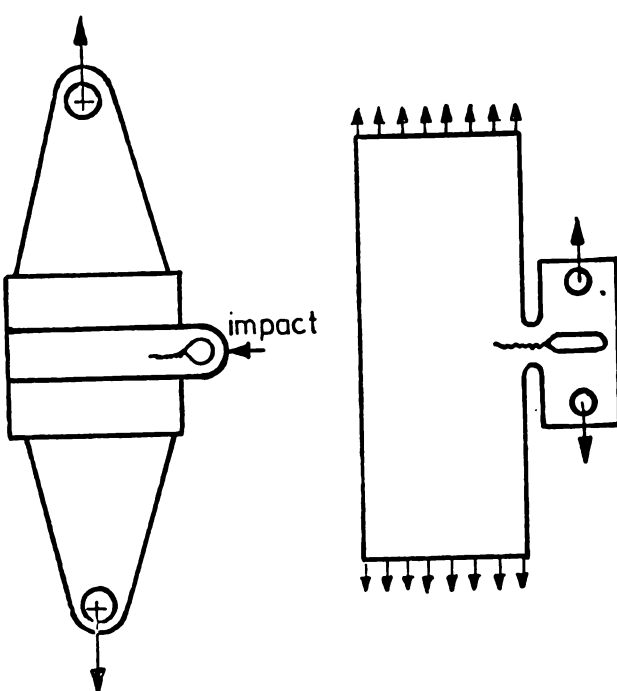


FIG. 9

/20, 21/, încercarea Dublu Tensil /22/, etc - evidențiază capacitatea materialului de a opri propagarea ruperii prin fisurare. Epruveta pentru executarea încercării, prezentată în fig. 9 a, este supusă unei tensiuni de întindere. În un capăt epruveta este răcitată la temperatura azotului lichid, iar la celălalt capăt este încălzită. În epruvetă se realizează astfel un gradient de temperaturi. Prin aplicarea unui șoc la capătul răcit se inițiază ruperea prin fisurare. Temperatura zonei în care fisurarea se oprește a fost definită ca temperatură de oprire a fisurii notată cu CAT (Crack arrest temperature). Efectuând încercarea la mai multe tensiuni se trasează curba CAT a materialului. Încercările de acest tip prezintă

dezavantajul dificultății sub aspectul tehnicii de încercare, din care cauză reproductibilitatea este redusă. Deși noile tipuri de încercări, ENGO, Double Tensil, etc., au îmbunătățit sub aspect metodologic inițierea fisurării, totuși aceste încercări au fost folosite din ce în ce mai puțin. Unul din motivele principale este faptul că temperatura CAT este dependentă de forma gradientului de temperatură /23/, deoarece aceasta face ca lungimea fisurii pînă la o anumită temperatură să fie diferită, realizându-se astfel alte condiții de oprire a fisurării și deci alte valori ale temperaturii CAT.

Cele cîteva elemente referitoare la încercările prezentate mai sus explică parțial concluziile lui H.M. Schenck /6/ privind lipsa lor de concludență, evidentiată de incapacitatea de a asigura gruparea cîtelurilor în același ordin calitativ.

Un salt prestigios în domeniul încercărilor de rupere prin fisurare l-a constituit realizarea epruvetelor cu fisuri obținute prin obosaleă. Propunerea acestor epruvete a fost urmată la scurt interval de formularea, de către Comitetul Special E24 al ASTM, a conceptelor de bază ale mecanicii ruperii /24-28/, avînd ca fundament lucrările lui G.R. Irwin /29-33/. A fost definită o caracteristică nouă pentru evaluarea tenacității și anume factorul critic de intensitate al tensiunilor  $K_{IC}$ . Pentru a putea face o analiză aprofundată a acestui nouă caracteristică de material se satisfac condițiile de identitate și concludență, în capitolul următor sunt prezentate elementele teoretice prin care este definită această caracteristică.

Acest mod de tratare analitică a problemei ruperii prin fisurare reprezintă în prezent un modal de referință în soluționarea problemelor încă neresolvate în acest domeniu.

### 3. EVALUAREA TENACITATII AVIND LA BAZA MECANICA RUPERII PRIN FIGURARE

#### 3.1. Elemente de bază ale mecanicii ruperii

Mecanica ruperii prin fisurare are la bază cunoașterea stării de tensiuni, deformații și deplasări care se realizează în vecinătatea unei fisuri dintr-un corp supus unei solicitări. În această zonă de maximă solicitare, se realizează condiția de rupere a materialului, perturbând echilibrul static al tensiunilor distribuite din corp. Realizarea în continuare a condiției de rupere este dependentă de dinamica variației distribuției tensiunilor corespunzător valorilor instantane ale variabilelor implicate ale procesului de fisurare.

După cum este prezentat sintetic în lucrările /34, 35, 43/ starea de tensiuni, deformații și deplasări din vecinătatea unei fisuri, poate fi evaluată, în cazul problemelor linear elastice, prin metodele teoriei elasticității.

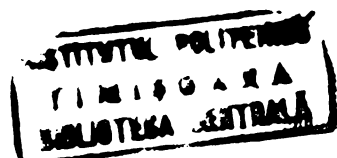
In paragrafele următoare sunt prezentate pe scurt metodele de soluționare a problemelor. Alegerea formei generale a funcțiilor de rezolvare a ecuațiilor de echilibru s-a făcut avându-se în vedere funcțiile de distribuție în vecinătatea unei creștături.

In tratarea acestei probleme, au fost folosite ca elemente de bază următoarele cunoștințe din teoria elasticității și din matematică :

- ecuațiile lui Lamé, în cele două forme :

$$\begin{aligned} \nabla^2 u + \left( \frac{\lambda}{G} + 1 \right) \frac{\partial \Sigma_v}{\partial x} &= 0 \\ \nabla^2 v + \left( \frac{\lambda}{G} + 1 \right) \frac{\partial \Sigma_v}{\partial y} &= 0 \\ \nabla^2 w + \left( \frac{\lambda}{G} + 1 \right) \frac{\partial \Sigma_v}{\partial z} &= 0 \end{aligned} \quad (3.1)$$

• •



$$\begin{aligned}\nabla^2 \nabla^2 u &= 0 \\ \nabla^2 \nabla^2 v &= 0 \\ \nabla^2 \nabla^2 w &= 0\end{aligned}\tag{3.2}$$

- condiția de deformare plană :  $u \neq 0; v \neq 0;$   
 $w = 0$

- condiția de deformare antiplană :  $u = v = 0;$   
 $w \neq 0$

- forma funcțiilor de variabile complexe

$$\begin{aligned}z &= x + iy \text{ și } z = x - iy; \\ f(z) &= \phi(x, y) + i\psi(x, y) \\ f(\bar{z}) &= \phi(x, y) - i\psi(x, y)\end{aligned}\tag{3.3}$$

în care de regulă se notează  $\phi(xy) = \operatorname{Re}f(z)$   
 $\text{și } \psi(xy) = \operatorname{Im}f(z)$

- proprietățile funcțiilor  $\phi(xy)$  și  $\psi(xy)$  :  
(relațiile Cauchy - Riemann)

$$\nabla^2 \phi = \nabla^2 \psi = 0\tag{3.4}$$

$$\begin{aligned}\frac{\partial \phi}{\partial x} &= \frac{\partial \psi}{\partial y} \\ \frac{\partial \phi}{\partial y} &= -\frac{\partial \psi}{\partial x}\end{aligned}\tag{3.5}$$

Axele de coordonate, când nu sunt specificate,  
sunt alesă cu originea în vîrful fisurii, axa  $y$  perpendiculară  
pe planul fisurii, axa  $x$  în planul fisurii pe direcția fron-  
tului fisurii, axa  $z$  în direcția grosimii, iar în coordonate  
polare direcția de unghi  $\theta = 0$  este axa  $x$ .

### 3.2. Analiza stării de tensiuni în fața unei crestături

Distribuția tensiunilor în fața unei crestături a fost stabilită teoretic pe baza metodelor de calcul ale lui H. Neuber /35/ și a fost verificată experimental de L.R. Jackson /36/ și V. Zeiss /37/. Relația stabilită are următoarea formă :

$$\sigma_y = \sigma_N \left( \frac{a}{\frac{1}{4}r + r_0} \right)^{1/2}, \quad (3.6)$$

în care :

$\sigma_N$  = tensiunea nominală aplicată

$r$  = rază de recordare a crestăturii

$a$  = lungimea fisurii

$r_0$  = distanța față de vîrful fisurii,  
pentru  $\theta = 0$

Verificările experimentale au fost făcute pentru o crestătură cu lungimea de 50,8 mm și cu diferite raze de recordare  $r$ , trăsindu-se diagramele din fig. 10. În această figură se observă că relația (3.6) este valabilă pentru :

$$r_0 > r/4, \quad \text{putând fi aproximată sub forma :}$$

$$\sigma_y = \sigma_N \left( \frac{a}{r_0} \right)^{1/2}, \quad (3.7)$$

care poate fi considerată relația generală care dă distribuția tensiunii  $\sigma_y$  în fața unei crestături. În zona din imediata vecinătate, cind  $0 < r_0 < r/4$ , mărimea tensiunii este aproximativ constantă și egală cu mărimea tensiunii la marginea zonei, adică la distanța  $r_0 = r/4$ , fiind dată de relația :

$$\sigma_y = \sigma_N \left( \frac{2a}{r} \right)^{1/2} \cdot \frac{1}{r_0}. \quad (3.8)$$

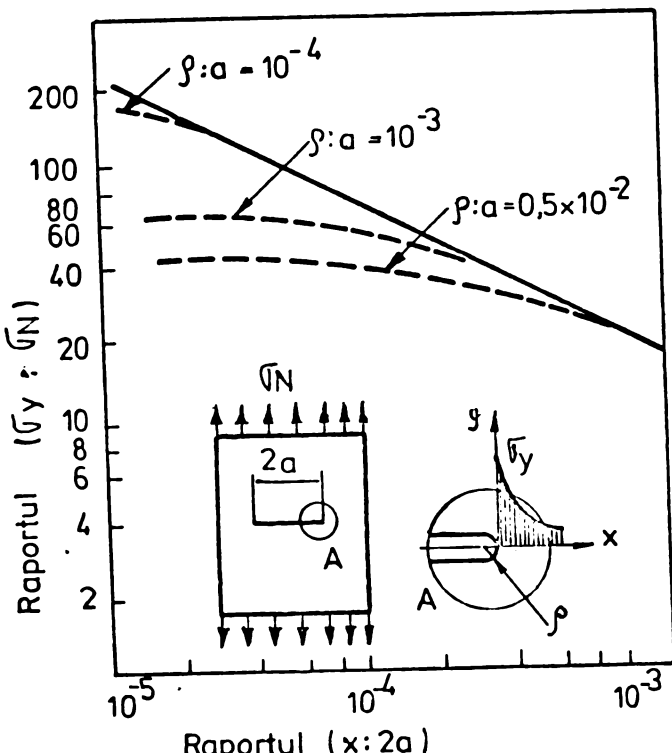


FIG. 10

Relația (3.6) a fost folosită de C.S. Ingles /38/ pentru calculul tensiunii la vîrful fisurii. Considerind cazul la limită cînd  $\rho \rightarrow 0$ , a ajuns la concluzia că relația (3.7) este general valabilă pentru o fisură.

### 3.3. Analiza stărilor de tensiuni, deformații și deplasări elastice în vecinătatea unei fisuri în corpuri plate

#### 3.3.1. Metodele de stabilire a soluțiilor

##### Cazuri analizate

In lucrare sunt analizate stările de tensiuni, deformații și deplasări elastice în corpuri plate conținînd fisuri, prin metodele lui Muschelisvilli /39/ și H.E. Westergaard /40/ în următoarele situații particulare :

a) Corpuri plate infinite conținînd fisuri străpunse centrale de lungime  $2a$ , supuse unei stări uniforme de tensiuni. După cum este reprezentat în fig. 11 a, notarea axelor se face cu indicii originii axelor :  $o_1, o_2, o_3$ . Sunt

definite trei tipuri de solicitare uniformă și anume :

- tipul I = solicitare de deschidere a fisurii (fig. 11 b) datorită unei tensiuni normale  $\sigma_N$  pe direcția axei y, adică perpendicular pe planul fisurii. Un punct care căre de pe suprafața fisurii are deplasările :  $u \neq 0$ ,  $v \neq 0$ ,  $w = 0$ , deci o stare plană de deformare ;

- tipul II = solicitare de forfecare longitudinală a fisurii (fig. 11 c), datorită unei tensiuni tangențiale  $\tau_N$  în planul xy. Un punct care căre de pe suprafața fisurii are deplasările :  $u \neq 0$ ;  $v \neq 0$ ;  $w = 0$ , deci o stare plană de deformare ;

- tipul III = solicitare de forfecare transversală a fisurii (fig. 11 d), datorită unei tensiuni tangențiale  $\tau_N$  în planul yz. Un punct care căre de pe suprafața fisurii are deplasările :  $u = 0$ ,  $v = 0$ ,  $w \neq 0$ , deci o stare anti-plană de deformare.

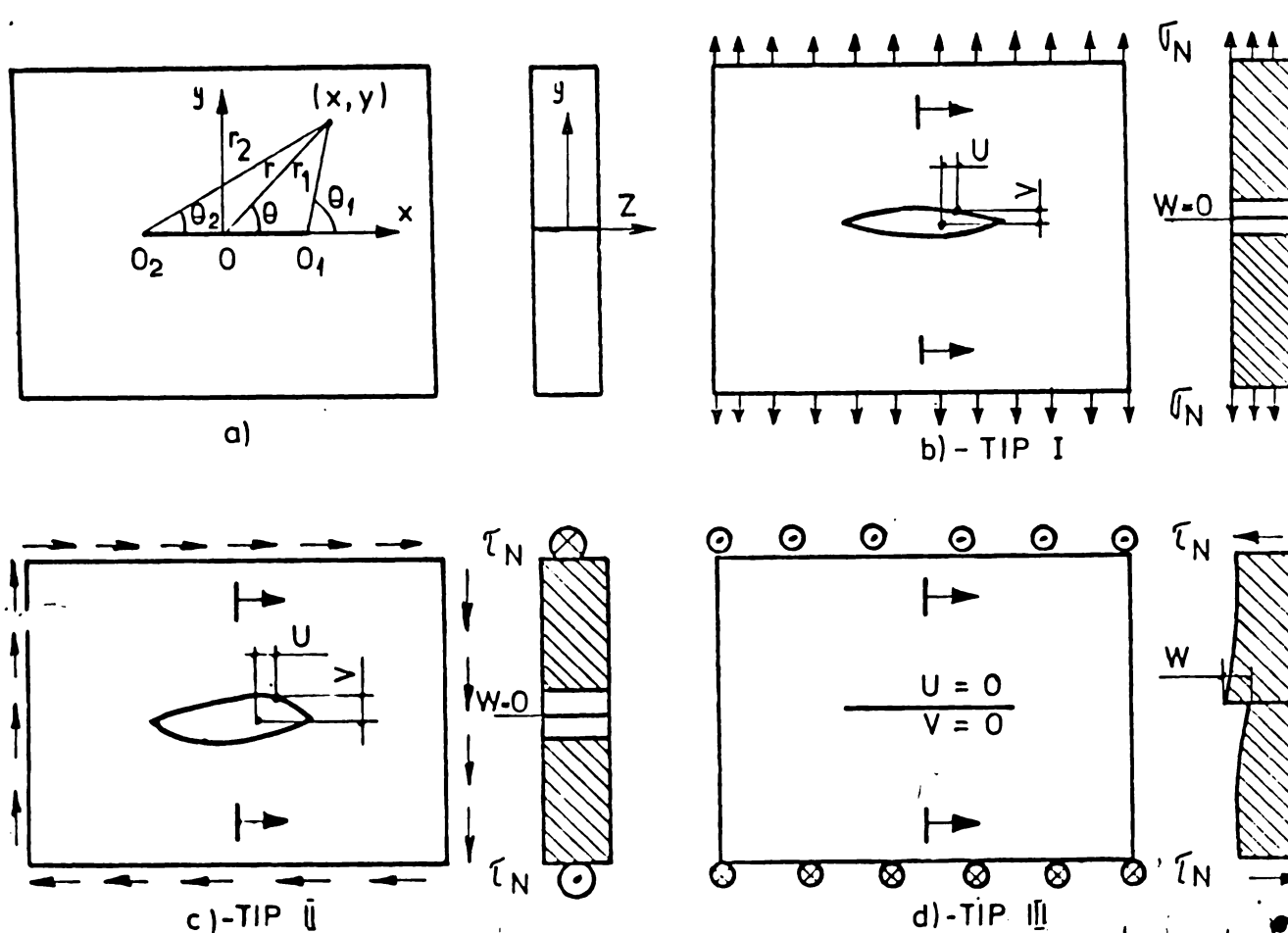


FIG 11

Volum...  
Dulap  
167 lit.  
361.120  
E

b) Corpuri plate infinite conținând fisuri centrale străpuse de lungime  $2a$ , supuse unei solicitări aplicată pe fețele fisurii.

c) Corpuri plate infinite conținând fisuri centrale străpuse de lungime  $2a$ , supuse unei stări de solicitare carecare.

d) Corpuri plate finite și corpuri plate cu fisuri laterale.

e) Corpuri plate cu grosime mică - condiții de tensiuni plane.

### Solutia generală a problemei antiplane

Rezolvarea problemei antiplane presupune găsirea soluției ecuației lui Laplace :

$$\nabla^2 w = 0. \quad (3.9)$$

Deplasarea  $w$  este deci o funcție armonică. Soluția ecuației (3.9) poate fi dată sub forma :

$$w = \operatorname{Re} f(z)$$
$$w = \operatorname{Im} f(z). \quad (3.10)$$

Tensiunile tangențiale se calculează cu relațiile :

$$T_{yz} = G \frac{\partial w}{\partial y}$$
$$T_{zx} = G \frac{\partial w}{\partial x}. \quad (3.11)$$

Tinând seama de relațiile Cauchy - Riemann se poate obține o relație mai ușor de folosit și anume :

$$G f'(z) = T_{zx} - i T_{yz}. \quad (3.12)$$

### Solutia generală a problemei plane

Rezolvarea problemei plane se reduce la rezolvarea sistemului de ecuații :

$$\begin{aligned}\nabla^2 \nabla^2 u &= 0 \\ \nabla^2 \nabla^2 v &= 0\end{aligned}\quad (3.13)$$

Comparind derivatatele parțiale ale deformației volumetrice  $\varepsilon_v$  și ale rotației  $w$ , se constată că  $w$  și  $\frac{1-\mu}{1+2\mu} \varepsilon_v$ , satisfac relațiile Cauchy - Riemann deci sunt parte reală și respectiv imaginară ale unei funcții de variabilă complexă :

$$g(z) = \frac{1-\mu}{1+2\mu} \varepsilon_v + i w. \quad (3.14)$$

Decarece  $\varepsilon_v$  și  $w$  sunt funcții ale derivatelor parțiale ale deplasărilor  $u$ ,  $v$ , adică  $\varepsilon_v = \frac{\partial u}{\partial x} + \frac{\partial v}{\partial y}$  iar  $2w = \frac{\partial u}{\partial x} - \frac{\partial v}{\partial y}$ , funcția  $g(z)$  se poate integra și se obține o funcție de  $u$ ,  $v$ , care se scrie sub forma generală :

$$f(z) = \phi + i \psi. \quad (3.15)$$

Se presupune că  $u_1 = \phi$  și  $v_1 = \psi$  este o soluție a sistemului (3.13). Se verifică relațiile rotațiilor, însă nu verifică relațiile deformației volumetrice. Se face modificarea soluției, astfel încât să nu se schimbe rotațiile, elăgindu-se gradientii unei funcții  $\mathcal{P}$  :

$$\begin{aligned}u_2 &= \phi - \frac{\partial \mathcal{P}}{\partial x} \\ v_2 &= \psi - \frac{\partial \mathcal{P}}{\partial y}.\end{aligned}\quad (3.16)$$

Funcția  $\mathcal{P}$  se determină din condiția de verificare a relației deformației volumetrice. Se obține :

$$\mathcal{P} = \frac{1}{2(1-\mu)} \gamma \psi. \quad (3.17)$$

Soluția generală se poate scrie deci :

$$u = \Phi - \frac{1}{2(1-\mu)} \frac{\partial}{\partial x} \gamma \Psi + \Psi_0 \quad (3.18)$$

$$v = \Psi - \frac{1}{2(1-\mu)} \frac{\partial}{\partial y} \gamma \Psi + \bar{\Phi}_0$$

Din condiția ca soluțiile  $(u, v)$  și  $(u_2, v_2)$  să aibă aceeași deformare volumetrică și aceeași rotație, rezultă că  $\Phi_0$  și  $\Psi_0$  satisfac relațiile Cauchy - Riemann.

Pentru calculul tensiunilor se obțin relațiile :

$$\Gamma_x = \frac{\partial^2 X}{\partial y^2} \quad (3.19)$$

$$\Gamma_y = \frac{\partial^2 X}{\partial x^2}$$

$$T_{xy} = \frac{\partial^2 X}{\partial x \partial y},$$

în care :

$$X = \frac{G}{1-\mu} (\mu \Psi + \varphi); \quad \varphi = -2(1-\mu) \operatorname{Im} \int \overline{F(z)} dz; \quad F(z) = \bar{\Phi}_0 + i \bar{\Psi}_0$$

In literatură, se face foarte frecvent referire la metoda lui Westergaard /40/ de rezolvare a problemei plane. Se va prezenta în continuare această metodă și se va demonstra că soluțiile sunt similare. H.E. Westergaard, dorind o rezolvare în tensiuni a problemei plane, cauță o funcție Airy  $\phi$ . El reușește să definiască cîte o funcție pentru fiecare nod de solicitare sub forma unor relații între o funcție de variabilă complexă  $\bar{Z}(z)$  și derivatele sale :

$$\bar{Z}(z) = \frac{\partial \bar{Z}}{\partial z}; \quad Z(z) = \frac{\partial \bar{Z}}{\partial \bar{z}}; \quad Z'(z) = \frac{\partial Z}{\partial z}.$$

De exemplu pentru tipul I de solicitare, propune

funcția :

$$\phi_I = \operatorname{Re} \bar{Z}_I + \gamma \operatorname{Im} \frac{\partial \bar{Z}_I}{\partial z} \quad (3.20)$$

Pentru calculul tensiunilor rezultă relațiile :

$$\begin{aligned} \sigma_x &= \operatorname{Re} Z_I - \gamma \operatorname{Im} Z'_I \\ \sigma_y &= \operatorname{Re} Z_I + \gamma \operatorname{Im} Z'_I \\ \tau_{xy} &= -\gamma \operatorname{Re} Z'_I \end{aligned} \quad (3.21)$$

Pentru calculul deplasărilor rezultă relațiile :

$$\begin{aligned} u &= \frac{1+\mu}{E} [(1-2\mu) \operatorname{Re} Z'_I - \gamma \operatorname{Im} Z_I] \\ v &= \frac{1+\mu}{E} [2(1-\mu) \operatorname{Im} \bar{Z}_I - \gamma \operatorname{Re} Z_I] \end{aligned} \quad (3.22)$$

Comparind relațiile (3.21) cu relațiile (3.16) și (3.19) se obține următoarea relație între funcția generală  $f(z) = \phi + i\psi$  și funcția lui Ostergaard  $Z(z)$ :

$$Z(z) = \frac{G}{1-\mu} f'(z) \quad (3.23)$$

**3.3.2. Solutiile stăriilor de tensiuni, deformații și deplasări pentru corpurile plate infinite cu fizură centrală strânsă, supuse unei stări uniforme de tensiuni.**

### Solutia problemei antiplane

Pe baza cunoștințelor privind distribuția tensiunilor în fața unei creșături se alege o funcție  $f(z)$  de formă exponentială și amică :

$$f(z) = A z^{1/2}. \quad (3.24)$$

în care  $\lambda$  este o constantă.

Condițiile la limită sunt următoarele :

- pentru capătul din dreapta al fisurii

$$\begin{aligned} W_{\theta=\pi} &= -W_{\theta=-\pi} \\ \theta = \pm \pi &\rightarrow T_{zy} = 0 \end{aligned} \tag{3.25}$$

- pentru capătul din stînga al fisurii :

$$\begin{aligned} W_{\theta=0} &= -W_{\theta=2\pi} \\ \theta = 0 &\\ \theta = 2\pi &\rightarrow T_{zy} = 0 \end{aligned} \tag{3.26}$$

Funcțiile care îndeplinesc aceste condiții limite sunt :

$$\begin{aligned} f_1(z) &= -i B z^{1/2} \\ f_2(z) &= C z^{1/2} \end{aligned} \tag{3.27}$$

în care :  $B$  și  $C$  sunt constante.

Soluția generală se poate scrie ca produs al celor două funcții ( $f_1 \times f_2$ ). Făcindu-se schimbările adecvate de variabilă pentru a avea originea în punctul 0, se obține o funcție de forma :

$$f(z) = -i D (z^2 - a^2)^{1/2} \tag{3.28}$$

In baza relațiilor (3.10) și (3.12) se obține :

$$\begin{aligned} W &= D (r_1 r_2)^{1/2} \sin \frac{1}{2} (\theta_1 + \theta_2) \\ T_{zy} &= D G \frac{r}{(r_1 r_2)^{1/2}} \cos \left( \theta - \frac{1}{2} \theta_1 - \frac{1}{2} \theta_2 \right) \\ T_{zx} &= D G \frac{r}{(r_1 r_2)^{1/2}} \sin \left( \theta - \frac{1}{2} \theta_1 - \frac{1}{2} \theta_2 \right) \end{aligned} \tag{3.29}$$

Din condiția la limită:  $T_{2y} = T$  pentru  $r \rightarrow \infty$  rezultă:

$$D = \frac{T}{G} \quad (3.30)$$

Valorile tensiunilor și deplasările în planul fisurii, de-a lungul axei  $x$ , se obțin înlocuind unghierile  $\theta, \theta_1, \theta_2$  cu valorile  $0, \pm \frac{\pi}{2}$  și razele  $r, r_1, r_2$  cu valorile  $|x|, |x-a|, |x+a|$ . Resultatele obținute sunt centralizate în tabelul 3.1 și sunt reprezentate grafic în fig. 12.

Tabelul 3.1

Mărimi	Relația de calcul		
	în dreptul fisurii sus	în dreptul fisurii jos	în afara fisurii
$W$	$+ \frac{T}{G} (a^2 - x^2)^{1/2}$	$- \frac{T}{G} (a^2 - x^2)^{1/2}$	0
$T_{2x}$	$+ T \frac{x}{(a^2 - x^2)^{1/2}}$	$- T \frac{x}{(a^2 - x^2)^{1/2}}$	0
$T_{2y}$	0	0	$T \frac{ x }{(a^2 - x^2)^{1/2}}$

Relațiile de calcul a tensiunilor și a deplasărilor din fața capătului din dreapta al fisurii se obțin din relațiile generale (3.29) aproximând  $\theta_2 - \theta = 0$  și  $r_2 = 2r = 2a$  pentru  $r_1 \ll 2a$ . Aceste relații sunt:

$$\begin{aligned} W_{\theta=\frac{\pi}{2}} &= \frac{K_{II}}{G} \left(\frac{2}{\pi}\right)^{1/2} r_1^{1/2} \\ T_{2x} &= \frac{K_{III}}{(2\pi r_1)^{1/2}} \sin\left(-\frac{1}{2}\theta_1\right) \\ T_{2y} &= \frac{K_{III}}{(2\pi r_1)^{1/2}} \cos\left(\frac{1}{2}\theta_1\right) \end{aligned} \quad (3.31)$$

în care s-a făcut notarea :  $K_{II} = \tau (\pi a)^{1/2}$ .

Solutia problemii plane - forfecare longitudinală

Se alege aceeași funcție  $f(z)$  ca la problema antiplană, dată de relația (3.28). Deoarece nu sunt tensiuni normale de solicitare rezultă că  $\Psi = \bar{\Phi}_0 = 0$  și deci  $\Omega = 0$

$$\text{v1 } X = \frac{G}{1-\mu} y \Psi.$$

Calculind tensiunea  $\tau_{xy}$  cu relația (3.19) în planul fisurii adică pentru  $y = 0$  se obține :

$$\tau_{xy} = \frac{G}{1-\mu} \frac{\partial \phi}{\partial y}. \quad (3.32)$$

Deoarece în planul fisurii  $\theta = u$ , rezultă că există un paralelism cu problema antiplană, singura diferență fiind dată de valoarea constantei  $D$  care este demultipli-

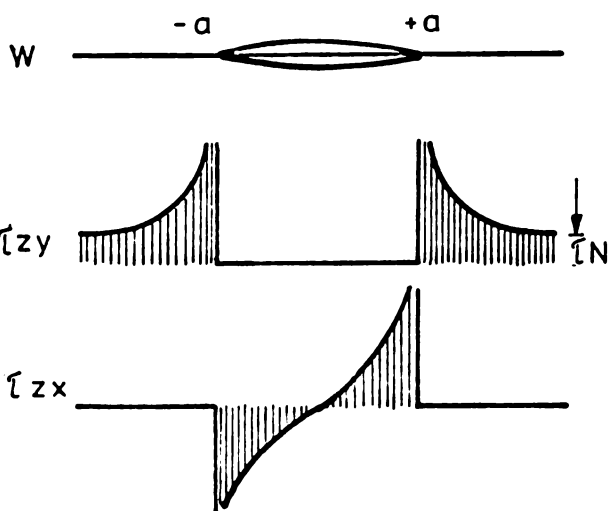


FIG. 12

cădă prin factorul  $(1 - \mu)$ .

Soluția căutată se poate scrie deci sub forma :

$$\operatorname{Re} f(z) = \frac{1-\mu}{G} \tau (r_1 r_2)^{1/2} \sin \frac{1}{2} (\theta_1 + \theta_2) \quad (3.33)$$

$$\operatorname{Im} f(z) = \frac{1-\mu}{G} \tau (r_1 r_2)^{1/2} \cos \frac{1}{2} (\theta_1 + \theta_2)$$

$$X = -\tau r (r_1 r_2)^{1/2} \cos \frac{1}{2} (\theta_1 + \theta_2) \sin \theta$$

•/•

Soluția se verifică la limită cînd  $r$  este mare. Tînind seama că pentru  $r = r_1 = r_2$  și  $\theta = \theta_1 = \theta_2$ , funcția devine  $\chi = T_{xy}$  obținindu-se următoarele valori ale tensiunilor, care definesc solicitarea de forfecare longitudinală :

$$\begin{aligned} F_x &= 0 \\ F_y &= 0 \\ T_{xy} &= T \end{aligned} \quad (3.34)$$

Relațiile de calcul a tensiunilor și a deplasărilor din fața capătului din dreapta  $O_1$  al fisurii se determină aproximând  $r_2 = 2a$ ,  $\theta_2 = 0$  pentru  $r_1 \ll 2a$ . Deoarece  $r_1 \sin \theta_1 = r \sin \theta$ , funcția Airy și deplasarea  $u$  pentru  $\theta_1 = 2\pi$  devin :

$$\begin{aligned} \chi &= K_{II} \left( \frac{2}{\pi} \right)^{1/2} r_1^{3/2} \cos \frac{1}{2} \theta_1 \sin \theta_1 \\ M &= \frac{2(1-\mu)}{G} K_{II} (2\bar{\ell})^{1/2} r_1^{1/2} \end{aligned} \quad (3.35)$$

în care s-a făcut notarea :  $K_{II} = T (\pi a)^{1/2}$

Prin derivarea funcției Airy se obțin următoarele relații pentru calculul tensiunilor :

$$\begin{aligned} F_x &= \frac{K_{II}}{(2\bar{\ell} r_1)^{1/2}} \frac{1}{4} (-7 \sin \frac{1}{2} \theta_1 - \sin \frac{5}{2} \theta_1) \\ F_y &= \frac{K_{II}}{(2\bar{\ell} r_1)^{1/2}} \frac{1}{4} (-\sin \frac{1}{2} \theta_1 - \sin \frac{5}{2} \theta_1) \\ T_{xy} &= \frac{K_{II}}{(2\bar{\ell} r_1)^{1/2}} \frac{1}{4} (3 \cos \frac{1}{2} \theta_1 + \cos \frac{5}{2} \theta_1) \end{aligned} \quad (3.36)$$

### Soluția problemei plane - dezechilibreaza fisurii

Soluția generală a problemei plane este dată de relația (3.18). Din condiția de limită  $T_{xy} = 0$  pentru  $y = 0$  rezultă :

$$\Psi_0 = - \frac{1}{2(1-\mu)} \Phi \quad ; \quad \underline{\Phi} = \frac{1}{2(1-\mu)} \Psi. \quad (3.37)$$

Funcția  $f(z)$  se alege similar cu cea aleasă în cazurile anterioare. Prin un raționament identic, cu cel din solicitarea de forfecare longitudinală (acum  $v = \Psi$ ) se stabilește constanta funcției  $f(z)$  obținindu-se :

$$f(z) = - i \Gamma \frac{1-\mu}{G} (z^2 - a^2)^{1/2}. \quad (3.38)$$

Înă funcția stabilită rezolvă problema pentru cazul solicitării biaxiale :  $\Gamma_x = \Gamma_y$ . De aceea este necesară o corecție a soluției prin suprapunerea unei stări de tensiuni :

$$\begin{aligned} \Gamma_x &= -\Gamma \\ \Gamma_y &= \tau_{xy} = 0 \end{aligned} \quad (3.39)$$

Această stare de tensiuni care se suprapune nu modifică starea de tensiuni în jurul fisurii decarece nu produce tensiuni pe fețele fisurii, dar va modifica deplasările. Deplasările suplimentare care apar sunt :

$$\begin{aligned} u &= - \frac{1-\mu}{G} \Gamma_x \\ v &= \frac{\mu}{G} \Gamma_y \end{aligned} \quad (3.40)$$

Soluția generală capătă forma :

$$u = \Phi \frac{1-2\mu}{2(1-\mu)} - y \frac{\partial \Psi}{\partial x} \frac{1}{2(1-\mu)} - \frac{1-\mu}{G} \Gamma_x \quad (3.41)$$

$$v = \Psi - y \frac{\partial \Psi}{\partial y} \frac{1}{2(1-\mu)} + \frac{\mu}{2G} \Gamma_y$$

Calculul funcției Airy  $\phi$  devă este mai dificil decât în cazurile precedente din cauza formei mai complicate a soluției generale, nu conține elemente particulare, drept care nu va mai fi urmărit. Se ajunge la următoarele relații finale pentru tensiunile și deplasările din jurul capătului din dreapta  $O_1$  al fisurii, după aplicarea aproximărilor :  $\Gamma_2 = 2a$ ,  $\theta_2 = 0$  pentru  $r_1 \ll 2a$  :

$$\begin{aligned}\Gamma_x &= \frac{K_1}{(2\pi r_1)^{1/2}} \frac{1}{4} \left( 3 \cos \frac{1}{2} \theta_1 + \cos \frac{5}{2} \theta_1 \right) \\ \Gamma_y &= \frac{K_1}{(2\pi r_1)^{1/2}} \frac{1}{4} \left( 5 \cos \frac{1}{2} \theta_1 - \cos \frac{5}{2} \theta_1 \right) \\ \tau_{xy} &= \frac{K_1}{(2\pi r_1)^{1/2}} \frac{1}{4} \left( -\sin \frac{1}{2} \theta_1 + 4 \sin \frac{5}{2} \theta_1 \right)\end{aligned}\quad (3.42)$$

în care s-a făcut notarea :  $K_1 = \sqrt{\pi a}$

Deplasarea  $\nu$  a fețelor fisurii este dată de funcție  $\Psi$ , pentru  $y = 0$  și  $\theta_1 = \pm \pi$ . Aplicând aceleși aproximări se ajunge la relația :

$$\nu = K_1 \frac{1-\mu}{G} \left( \frac{2}{\pi} \right)^{1/2} r_1^{1/2} \quad (3.43)$$

#### Forma generalizată a relațiilor de calcul

Analizând relațiile care dă tensiunile în fața capătului din dreapta al unei fisuri în planul fisurii, precum și deplasările relative ale fețelor fisurii calculate cu relația :

$$\Delta \nu = \nu(r_1, \theta_1 = \pi) - \nu(r_1, \theta_1 = -\pi) \quad (3.44)$$

se constată că ele pot fi scrise sub formă generalizată :

$$\begin{aligned}\Gamma(s) &= \frac{K}{(2\pi s)^{1/2}} \\ \Delta \nu(-s) &= \frac{K}{M} \left( \frac{s}{\pi} \right)^{3/2} (-s)^{1/2} \\ K &= (\pi a)^{1/2} \Gamma^N\end{aligned}\quad (3.45)$$

în care semnificațiile lui  $\Gamma$ ,  $\Delta \nu$  și  $K$ , precum și valorile lui  $s$  sunt conform tabelului 3.2.

Relațiile de calcul, valabile pentru vecinătatea vîrfului fisurii dă valori infinite ale tensiunii la vîrful fisurii. Aceste tensiuni infinite nu se obțin în practică, datorită neomogenității și structurii granulare a materialelor, care conduce la redistrubuirea tensiunilor la nivelul

Tabelul 3.2

Tipul de solicitare	$F(s)$	$\Delta V(-s)$	K	M
Tip I    - def. plană	$F_x$	$\Delta v$	$K_I$	$G(1-\mu)^{1/2}$
Tip II   - def. plană	$T_{xy}$	$\Delta u$	$K_{II}$	$G(1-\mu)^{1/2}$
Tip III   - def. antiplană	$T_{zy}$	$\Delta w$	$K_{III}$	G

unor microvolume a căror mărime este specifică fiecarui material. Rezultă că la vîrful unei fisuri se poate considera că tensiunea are o valoare finită egală cu valoarea obținută din relația (3.45) la o distanță  $r = d$ . F.A. Mc Clintock /41/ afirmează că această mărime d poate avea valori de ordinul de mărime  $10^{-2} \dots 1,0$  mm.

3.3.3. Soluțiile stărilor de tensiuni, deformații și deplasări pentru corpurile plate infinite cu fâșură centrală străpunsă, supuse unei solicitări de fetele fisurii

Se analizează la început cazul în care la distanță  $a^*$  față de capătul din dreapta al fisurii se aplică o parere de forțe unitare care produc o deplasare a fetelor fisurii în unul din modurile știute. Problema se rezolvă de asemenea prin metoda generală prezentată, funcția  $f(z)$  alegindu-se de forma :

$$f(z) = C \ln r. \quad (3.46)$$

Termenul calculului este asemănător, se găsesc soluțiile pentru fisura din dreapta și stînga, se combină cele două soluții pentru a se obține o soluție generală și se fac corecturile pentru satisfacerea condițiilor limită. Se determină în final relația care dă cărissa tensiunii în față unei

fisuri, produsă de o sarcină unitară aplicată la distanța  $x'$  de vîrful fisurii, notată cu  $\bar{\Gamma}(x'; s)$  :

$$\bar{\Gamma}(x', s) = (2a)^{-1/2} \pi^{-1} (a+x')^{1/2} (a-x')^{-1/2} s^{-1/2} \quad (3.47)$$

Dacă solicitarea pe fețele fisurii se face cu o tensiune  $\bar{\Gamma}(x')$  atunci tensiunea  $\bar{\Gamma}(s)$  în fața fisurii se calculează cu relația :

$$\bar{\Gamma}(s) = \int_{-a}^{+a} \left( \frac{a+x'}{a-x'} \right)^{1/2} \bar{\Gamma}(x') dx' \quad (3.48)$$

Corind relația (3.48) sub o formă asemănătoare celei date în relația (3.45), se obține pentru K expresia :

$$K = \frac{1}{(\pi a)^{1/2}} \int_{-a}^{+a} \left( \frac{a+x'}{a-x'} \right)^{1/2} \bar{\Gamma}(x') dx' \quad (3.49)$$

care poate fi de asemenea scrisă sub forma generalizată dată în relația (3.45) în care tensiunea  $\bar{\Gamma}_N$  este dată de relația :

$$\bar{\Gamma}_N = \frac{1}{\pi} \int_{-a}^{+a} \left( \frac{a+x'}{a-x'} \right)^{1/2} \bar{\Gamma}(x') dx' \quad (3.50)$$

Relația (3.50) este expresia unei medii ponderate, decarese :

$$\int_{-\infty}^{+\infty} \left( \frac{a+x'}{a-x'} \right)^{1/2} dx' = 1 \quad (3.51)$$

3.3.4. Solutiile stăriilor de tensiuni pentru corpuri plate infinite cu fisură centrală străpunsă, supuse unei stări de solicitare neuniformă

Se presupune că tensiunea aplicată este  $\tilde{\sigma}_{ij}^N$   
Dacă nu ar exista fisură ar exista egalitatea :

$$\tilde{\sigma}_{ij}(x,y) = \tilde{\sigma}_{ij}^N(x,y) \quad (3.52)$$

Existând o fisură, această egalitate nu mai este valabilă, în membrul al doilea adăugindu-se o tensiune de perturbație produsă de existența fisurii notată :  $\tilde{\sigma}_{ij}^o(x,y)$ , deci relația :

$$\tilde{\sigma}_{ij}(x,y) = \tilde{\sigma}_{ij}^N(x,y) + \tilde{\sigma}_{ij}^o(x,y) \quad (3.53)$$

N  
Decă pe fețele fisurii se aplică tensiunile  $\tilde{\sigma}_{ij}(xy)$  fisura se închide și se anulează efectul de fisură, deci  $\tilde{\sigma}_{ij}^o(xy)$  devine zero. Se poate deci trage concluzia că tensiunea de concentrare la vîrful fisurii este egală cu tensiunea care ar apărea dacă pe fețele fisurii să ar acționa cu tensiunea neuniformă de solicitare. Rezolvarea este dată în paragraful anterior fiind valabile relațiile generale în care se ia media ponderată a tensiunii aplicate, calculată cu relația (3.50).

3.3.5. Influenta elementelor geometrice ale corpului

In paragrafele anterioare s-a studiat cazul corpului plat infinit continind o fisură centrală străpunsă. Rezultatele studiului acestui caz îl putem lua ca bază pentru studiul altor cazuri și anumite al corpurilor cu grosime mică la care se schimbă starea de tensiuni la vîrful fisurii, introducindu-se o stare plană de tensiuni, sau al corpurilor la

cure locul și geometria fisurii se schimbă. Cele mai frecvente sunt cizurile fisurilor laterale sau al fisurilor centrale nepătrunse.

Pentru aceste cazuri, atunci cind nu se mai pot aplica metodele generale, se determină relațiile empirice, care definesc constanta  $K$ , care a fost numită factor de intensitate al tensiunilor. În literatură /42, 43/ sunt date astfel de relații pentru foarte multe cazuri.

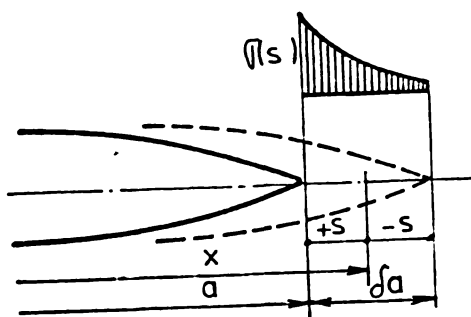


FIG. 13

### 3.3.6. Analiza energetică a deformării elastice a unui corp cu fisuri

#### Lucrul mecanic de deschidere a fisurii

O fisură existentă într-un corp supus unei stări de solicitare, va suferi după cum s-a văzut o displasare relativă a fețelor sale, care îdată cu înălțurarea forțelor de solicitare revine la zero. Există deci o energie elastică de deformare care reprezintă energia potentială de deschidere a fisurii. Această energie este măsurabilă prin lucrul mecanic necesar pentru aducerea unei fisuri deschise la starea inițială.

Lucrul mecanic pentru închiderea unei porțiuni dintr-o fisură de lungime  $2a$ , se poate calcula ușor. De exemplu pentru cazul prezentat în fig. 13, se aplică pe fețele fisurii o tensiune  $\sigma(s)$  ce variază de la valoarea zero cind fisura este deschisă pînă la valoarea dată de relația (3.45) cind fisura este închisă. Deplasările acestor tensiuni vor fi de la valoarea dată de relația (3.45) pînă la zero.

Lucrul mecanic se va calcula cu relația :

$$d\mathcal{L} = \int_a^{a+\delta a} \Gamma(s) \Delta V(-s) dx \quad (3.54)$$

în care :  $s = x-a$ ;  $s' = a + \delta a - x$

Inlocuind în relația (3.54)  $\Gamma(s)$  și  $\Delta V(-s)$  cu valorile date de relațiile (3.45) și efectuând integrala, se va obține în final :

$$\frac{d\mathcal{L}}{da} = \frac{K^2}{2M} \quad (3.55)$$

In mecanica ruperii, raportul  $K^2/2M$  a fost notat cu  $f$  și a fost numit forță de extindere a fisurii, datorită relației sale dimensionale [N/cm].

### Energia de deformare elastică relaxată datorită măririi fisurii

Intre două puncte ale unui corp supus unei deformări elastice se va realiza o deplasare proporțională lineară cu forță de solicitare aplicată. Coeficientul de proporționalitate ( $C$ ) este o constantă atât timp cât geometria corpului nu se schimbă. Dacă în corp se realizează o fisură, valoarea acestui coeficient crește.

Analizând cazul prezentat în fig. 14, se constată că există două variante de solicitare a unui corp și anume cu deformare constantă (fig. 14 a) și cu sarcină constantă (fig. 14 b). În primul caz, energia care se relaxază datorită creșterii fisurii cu da este suprafața triunghiului OAB, rezultând relația :

$$dE = \frac{1}{2} \frac{\partial F}{\partial a} \delta_1 da \quad (3.56)$$

în care  $\delta_1$  este deplasarea de deschidere a fisurii, măsurată pe direcția de aplicare a forței.

Tinând seama că  $\delta = CF$  se obține :

$$dE = \frac{1}{2} F^2 \frac{\partial C}{\partial a} da \quad (3.57)$$

In cazul al doilea (fig. 14 b), dacă fisura se mărește cu  $da$ , forța  $F$  de solicitare rămâne constantă, iar deplasarea se mărește efectuindu-se un lucru mecanic al forței exterioare. In starea finală în corp se va regăsi distribuția numai o parte din această energie totală (energie inițială + lucrul mecanice de deformare), diferența fiind suprafata OAD rezultând o relație asemănătoare relației (3.57).

Această energie de deformare ( $dE$ ) "relaxată" datorită creșterii cu  $da$  a lungimii fisurii, este egală cu energia care ar fi necesară pentru a închide fisura pînă se ajunge la lungimea inițială a, avînd semnificația forței de

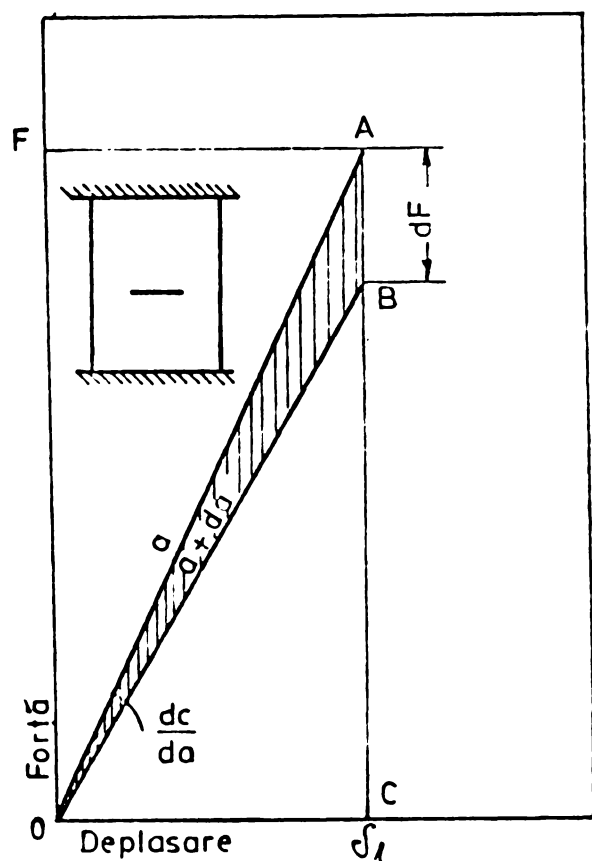


FIG. 14a

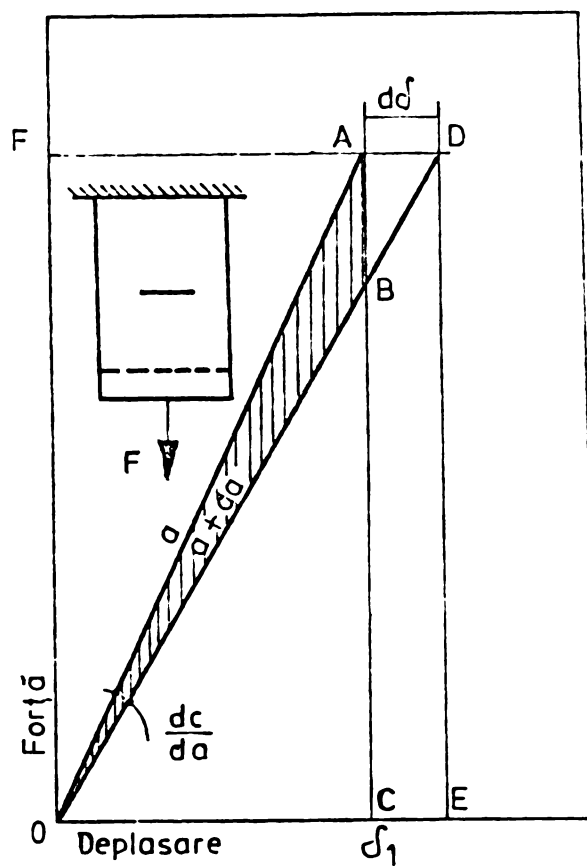


FIG. 14b

extindere a fisurii deci :

$$\frac{dE}{da} = f \quad (3.58)$$

Această relație stă la baza determinării experimentale a forței de deschidere a fisurii, și având în vedere relația (3.55), a factorului de intensitate al tensiunilor, prin metoda cunoscută ca "metoda prin compliantă".

### 3.4. Definirea caracteristicii de tenacitate $K_{IC}$

#### 3.4.1. Criterii de rupere a materialelor și caracteristica de tenacitate $K_{IC}$

După cum este prezentat în capitolul anterior, ruperea materialelor, definită cu procesul de anulare a legăturilor coeziive, poate să se realizeze prin mecanisme diferite.

Funcție de condițiile de solicitare, în principal temperatură și viteză de aplicare a sarcinii (viteză de deformare), mecanismul de rupere a unui material poate fi diferit. Astfel, la oțelurile de construcții ferito-perlitice, la temperaturi scăzute se produce ruperea prin clivaj, la temperaturi în jurul temperaturii ambiante se produce ruperea prin mecanism ductil și la temperaturi înalte poate apărea ruperea prin amulgere la rosturi. Trecerea de la un mecanism de rupere la altul se face treptat, având frecvent cazul unor ruperi bimodale sau chiar trimodale.

Mărimea rezistenței la rupere determinată experimental, este dependență atât de mecanismul ruperii cât și de condițiile de solicitare, inclusiv forța și dimensiunile epruvei, și are valori diferite față de rezistența teoretică de rupere a materialului. După cum s-a arătat în capitolul 1, rezistența la rupere a materialului, determinată experimental

nu poate defini comportarea la rupere prin fisurare a unui material. Două corpuri identice, din materiale având aceeași rezistență la rupere, ce pot rupe prin fisurare la solicitări exterioare diferite. Exemplul clasic este faptul că deși rezistența la rupere prin clivaj este mai mare decât rezistența la rupere prin mecanism ductil, prima fiind comparabilă cu rezistența teoretică a materialului, iar a doua fiind comparabilă cu rezistența la tracțiune, totuși solicitările exterioare la care se rup corpurile prin clivaj sunt mult mai mici.

Explicația acestui fapt a fost dată de F.A. Mc Clintock /41/. După cum s-a arătat în paragrafele anterioare, în imediata vecinătate a vîrfului fisurii nu se obțin valori infinite ale tensiunii, după cum ar rezulta din relațiile de calcul, ci valorile finite corespunzătoare unei distanțe "d" față de vîrful fisurii, specifice fiecărui material. Aceasta, deoarece se produce o redistribuire a tensiunilor la nivelul unor microvolumuri căror mărime este dependentă de neomogenitatea și morfologia structurală a materialelor.

Avgind în vedere aceste elemente, G.R. Irwin /31/ a propus să se caracterizeze comportarea la rupere prin fisurare a materialelor (tenacitatea) prin valoarea factorului de intensitate al tensiunilor la care se face inițierea ruperii. Intr-adevăr, din relația de calcul a tensiunii  $\sigma_y$  la vîrful fisurii (relația 3.42), rezultă că factorul de intensitate critic este calculabil cu relația :

$$K_{IC} = \Gamma_R (2\pi d)^{1/2}, \quad (3.59)$$

cumulind atât valoarea rezistenței la rupere, cât și caracteristica structurală care influențează procesul de fisurare.

Verificarea experimentală a caracterului de liniaritate a mărimii  $K_{IC}$ , a fost făcută de J.W. Krafft /44/, pe materiale rupte prin mecanism ductil, la care caracteristica  $d$  este dată de diametrul mediu (dm) al cavităților de pe suprafața de rupere. După cum se vede în fig. 15, s-a obținut

o corelație de tipul :

$$K_{IC} = A \sqrt{dm} \quad (3.60)$$

în care : A este o constantă de material. Având în vedere relația (3.59), valoarea ei este dependentă de rezistența la rupere a materialului.

#### 3.4.2. Condițiile ruperii prin fisurare

În evaluarea siguranței față de ruperea prin fisurare, prezentă interes și se definescă trei condiții, și anume :

- a) condiția de inițiere, care corespunde momentului când se produce inițierea ruperii intempestive ;
- b) condiția de propagație, care evaluatează dacă după satisfacerea condiției de inițiere, fisurarea continuă ;
- c) condiția de oprire, care stabilește în ce condiții ruperea prin fisurare poate să însoțească.

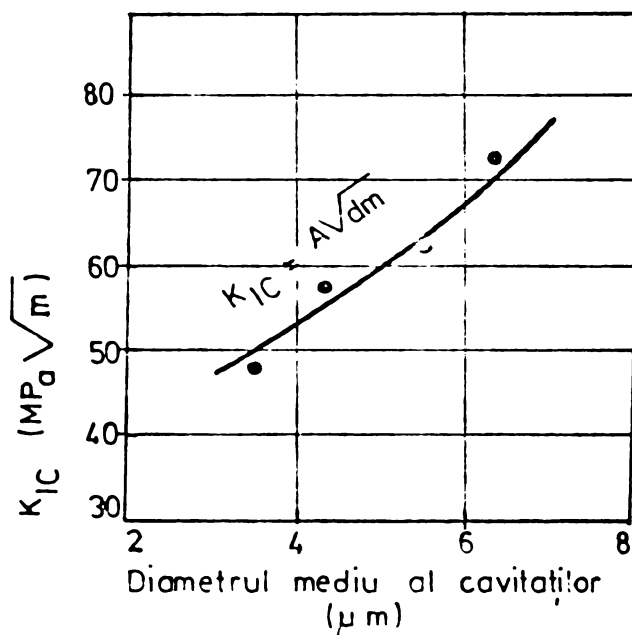


FIG. 15

Prin definiție, caracteristica de tenacitate reprezintă condiția de inițiere a fisurării intempestive, putând fi scrisă deci sub forma :

$$f(\Gamma_N, a) = 0 \quad (3.61)$$

în care  $f(\Gamma_N, a)$  reprezintă relația de calcul a factorului de intensitate a tensiunilor pentru cazul particular avut în vedere, și reprezintă corelația între tensiunea critică de inițiere a ruperii și mărimea defectelor din material.

Condiția de propagare, presupune evaluarea efectului creșterii infinit mici a lungimii fisurii, condițiile de solicitare răminind aceleși. Prin diferențierea relației de calcul a factorului de intensitate a tensiunilor rezultă :

$$\frac{\partial K}{\partial a} > 0 \quad (3.62)$$

decic factorul de intensitate a tensiunilor crește, deci fisurarea continuă.

Condiția de oprire a fisurării este ca valoarea instantane a factorului de intensitate a tensiunilor în timpul procesului de fisurare să scadă sub o valoare critică. Deoarece sub efectul dinamic dat de propagare, rezistența la rupere poate suferi schimbări importante de valoare, condiția de oprire este dată de o relație asemănătoare relației (3.61) în care se înlocuiește  $K_{IC}$  cu valoarea critică în regim dinamic  $K_{Id}$ . Notiunea de factor de intensitate critic dinamic a fost introdusă de W.S. Pellini /5/, fără a se lămuri pe deplin problema determinării lui.

### 3.5. Determinarea caracteristicii $K_{IC}$

#### 3.5.1. Principiul încercării

Pentru a se asigura reproductibilitatea determina-

nării factorului critic de intensitate a tensiunilor  $K_{IC}$ , aceeași metodă de încercare a fost standardizată în diferite țări, inclusiv în țara noastră prin STAS 9760.

Încercările pentru determinarea caracteristicii  $K_{IC}$  constau din aplicarea unei solicitări asupra unei epruvete care conține o fisură străpunsă produsă prin oboseală. Au fost adoptate două tipuri de epruvete, fig. 16, care se solicită una la tracțiune și cealaltă la încovoiere (STAS 9760).

Pentru aceste tipuri de epruvete, factorul de intensitate al tensiunilor se calculează cu relația :

$$K_I = \frac{F Y}{t b^{1/2}} \quad (3.63)$$

în care :

$F$  = mărimea forței de solicitare (daN)

$t, b$  = grosimea respectiv lățimea epruvetei (mm)

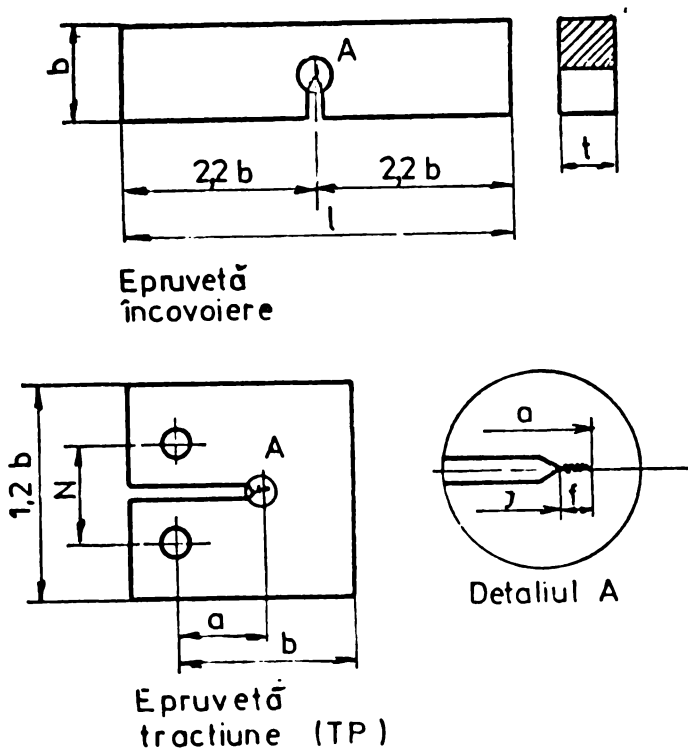


FIG 16

$Y$  = funcție de lungimea fisurii  $a$ , calculată cu relațiile :

- pentru epruveta de încovoiere :

$$Y = 1.5 \ell \sum_{i=1}^5 A_i \left( \frac{a}{b} \right)^{m_i}, \quad (3.64)$$

- pentru epruveta de tractiune :

$$Y = \sum_{i=1}^5 A_i \left( \frac{a}{b} \right)^{m_i}. \quad (3.65)$$

Coefficienții  $A_i$ ,  $m_i$ , din relațiile (3.64) și (3.65) au valorile din tabelul 3.3.

Tabelul 3.3

Coefi- cientul	Tipul de epruvetă	1	2	3	4	5
$A_1$	Încovoiere	+1,93	-3,07	+14,53	-21,11	+25,8
	Tractiune	+29,6	-185,5	+655,7	-1017,0	+638,8
$m_1$	Ambale tipuri	+1/2	+1/2	+5/2	+7/2	+9/2

După cum rezultă din relația (3.63) pentru calculul factorului critic de intensitate al tensiunilor trebuie să se determine valoarea forței la momentul inițierii.

### 3.5.2. Stabilirea momentului inițierii

S-a convenit ca momentul inițierii să se găsească

în intervalul corespunzător unei devieri de la linearitate de 5% a curbei forță - deplasare de deschidere a fisurii ( $F - \delta$ ), aceasta corespunzând unei creșteri a lungimii fisurii cu 1,4 /45%. Sunt semnalate trei tipuri posibile de curbe  $F - \delta$  conform fig. 17.

Dintre acestea, curbele tip b și c, reprezentă situații în care se realizează inițierea fisurării. La curba tip a, la o deviere de la linearitate cu 5% nu se realizează inițierea fisurării.

### 3.5.3. Condiții de validare a valorii $K_{IC}$ determinată experimental

Teoretic, validitatea valorii  $K_{IC}$  determinată experimental este condiționată de menținerea stării de deformare elastică, astfel încit relațiile de calcul a factorului de intensitate al tensiunilor să fie valabile. Metodica de stabi-

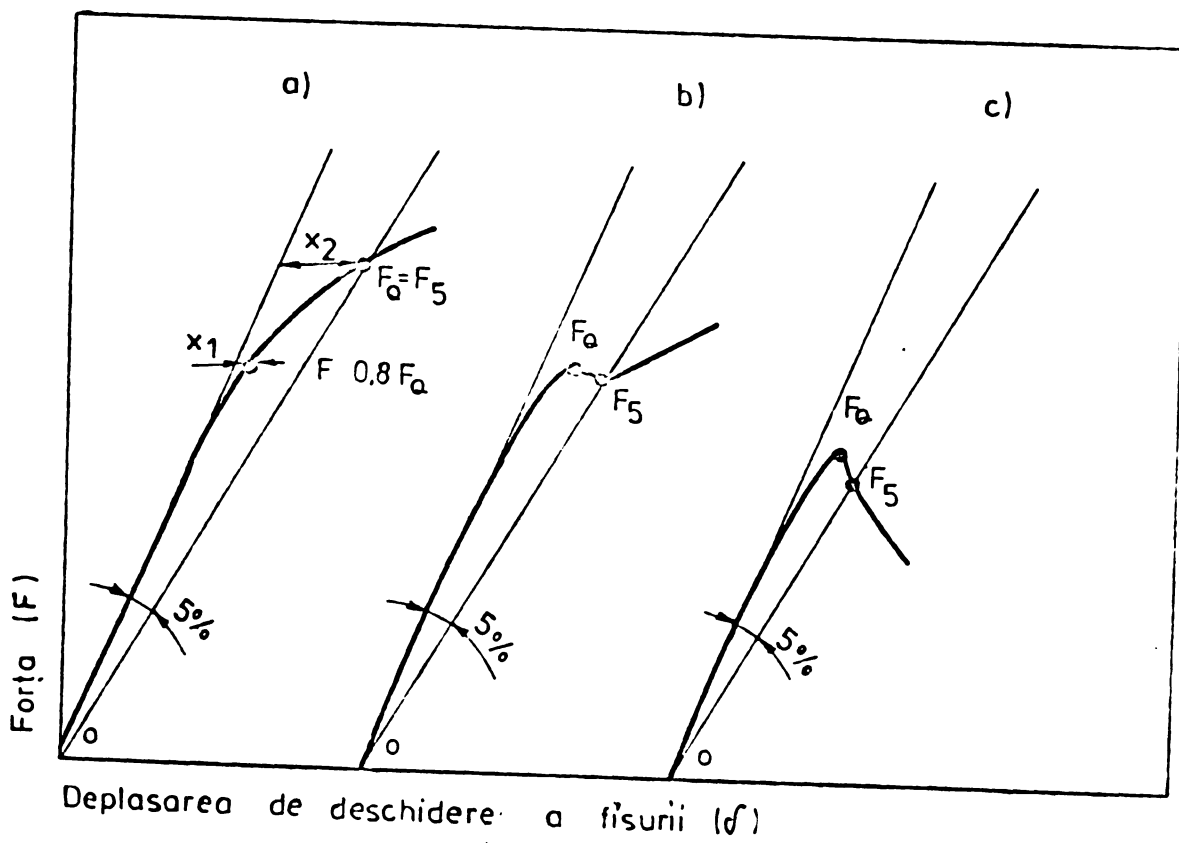


FIG. 17

lire convențională a momentului inițierii, expusă în paragraful anterior nu respectă această condiție teoretică.

Consecința acestei nerespectări este că determinarea nu mai îndeplinește condiția de identitate, valoarea care se obține experimental fiind funcție de dimensiunile epruvei, în principal de grosime. Din această cauză, a fost necesar ca în normale de încercare să se introducă "condițiile de validare" sub formă relațiilor :

$$x_1 \geq \frac{1}{4} x_2 \quad (3.66)$$

$$t \geq 2.5 \left( \frac{K_1}{R_p} \right)^2. \quad (3.67)$$

Semnificația notărilor  $x_1$  și  $x_2$  este arătată în fig. 17. Aceste condiții au fost stabilite empiric de Comitetul Special ASTM și publicate în lucrarea /45/. Nici în această lucrare, și nici într-o lucrare ulterioară nu s-au dat explicații privind modul cum au fost stabilite.

Analizând aceste două condiții, care se referă în special la determinările la care se obțin diagrame tip a (fig. 17), se constată că ele delimită un interval pe remarcă plastică a curbei forță - deplasare de deschidere a fisurii, în care trebuie să se afle forță critică  $F_c$ . Relația (3.66) definește limita inferioară, iar relația (3.67) limita superioară, amândouă în raport cu începerea devierii de la linearitate a curbei. Încadrarea între aceste limite este dependentă, după cum rezultă din relația (3.67), de grosimea probei.

S-a acreditat astfel ideea că folosind epruve de grosime foarte mare se poate determina caracteristica  $E_{IC}$  a oricărui material indiferent de gradul său de ductilitate. W.S. Pellini /5/ a făcut încercări pe epruve cu grosimi pînă la 300 mm, rezultatele obținute infirmând însă această ipoteză.

Rezultă că din punctul de vedere al posibilității de caracterizare a susceptibilității la fisurare a materiale-

lor, prin factorul critic de intensitate al tensiunilor, se pot defini trei domenii și anume : un domeniu în care materialele sunt fragile și validitatea determinării caracteristicii  $K_{IC}$  este necondiționată, un domeniu în care determinările caracteristicii  $K_{IC}$  nu pot fi valide, și un domeniu intermediar în care determinarea caracteristicii  $K_{IC}$  este convențional validă dacă se satisfacă condiția de grosime a epruvetei. În acest domeniu intermediar se găsesc în marea majoritate oțelurile de construcții. Ponderea consumului de metal o reprezintă însă în general grosimile mici, astfel încât actuala metodă de caracterizare a tenacității prin factorul critic de intensitate al tensiunilor are o utilitate destul de redusă.

### 3.6. Concluzii

Referitor la stadiul actual de evaluare a susceptibilității la fisurare a oțelurilor :

a) Metodele empirice de evaluare a tenacității nu au capacitatea de a defini trecerea de la comportamentul ductil la comportamentul fragil în corelație cu aspectele fenomenologice privind procesul de rupere prin fisurare și de a satisface condițiile de concluzență. Datorită acestui fapt, aprecierea comparativă a susceptibilității la fisurare a mai multor oțeluri este diferită de la o metodă la alta.

b) Caracteristica de material care îndeplinește condițiile de concluzență pentru evaluarea tenacității la fisurare este factorul critic de intensitate al tensiunilor ( $K_{IC}$ ), deoarece cumulează cele două elemente care definesc comportarea la rupere prin fisurare și ambe rezistență și particularitățile structurale ale materialului.

c) Factorul de intensitate a tensiunilor în fața unei fisuri este definit teoretic pentru starea de deformare elastică, deci evaluarea tenacității prin factorul critic de

intencitate a tensiunilor este validă numai pentru ruperea prin fisurare fragilă. Cu toate acestea, în baza unor criterii empirice, evaluarea se consideră validă și în domeniul elasto-plastic, în anumite limite stabilite de asemenea empiric.

Referitor la aspectele care trebuie avute în vedere în cercetarea susceptibilității la fisurarea ductilă a oțelurilor :

a) Un prim aspect - care va fi abordat în cadrul acestei lucriri - este de a fundamenta teoretic posibilitatea evaluării temocității la fisurare ductilă prin factorul critic de intensitate al tensiunilor și de a stabili limitele în care această evaluare este validă.

b) Un alt aspect, care vizează soluționarea problemei în afara limitelor în care se poate face evaluarea prin factorul critic de intensitate al tensiunilor, este de a defini soluțiile stării de tensiuni, deformații și deplasări în vecinătatea unei fisuri în condiții de deformare elasto-plastică, care să permită obținerea unor caracteristici de material având la bază conceptele mecanicii ruperii prin fisurare.

#### 4. METODA PROPUSE DE AUTOR PENTRU EVALUAREA SUSCEPTIBILITATII LA FISURARE DUCTILA

##### 4.1. Analiză critică a metodelor actuale - premisiile noii metode

###### 4.1.1. Bazele metodelor actuale

In literatura de specialitate sunt propuse diverse metode de evaluare a temocitatii la fisurare ductila avand la baza conceptele mecanicii ruperii prin fisurare. Pentru a aprecia măsura în care aceste metode pot fi acceptate, sunt analizate limitele lor ca un corolar al elementelor teoretice prin care sunt fundamentate, inclusiv al ipotezelor de calcul.

O caracteristică generală a metodelor propuse este faptul că au la bază evaluări diferite ale deviației de la linearitate a diagramei forță - deplasare de deschidere a fisurii. Modul de evaluare a acestei deviații care este datorată apariției deformațiilor plastice în frontul fisurii, se face după criterii diferite și anume după criteriul compliantei, al deplasării de deschidere remanentă sau totală a fisurii sau după criterii energetice. Aceste criterii sunt prezentate schematic în fig. 18.

Fundamentul teoretic al metodelor propuse îl reprezintă soluțiile definite pentru evaluarea formei și mărimi zonei de deformații elasto-plastice numită "enclavă plastică", și distribuția tensiunilor și deformațiilor în interiorul și în afara enclavei plastice. Ipotezele de bază în stabilirea acestor soluții sunt ipoteza forței inițiale circulare a enclavei plastice și ipoteza materialului ideal plastic.

Ipoteza formei inițiale circulare a enclavei

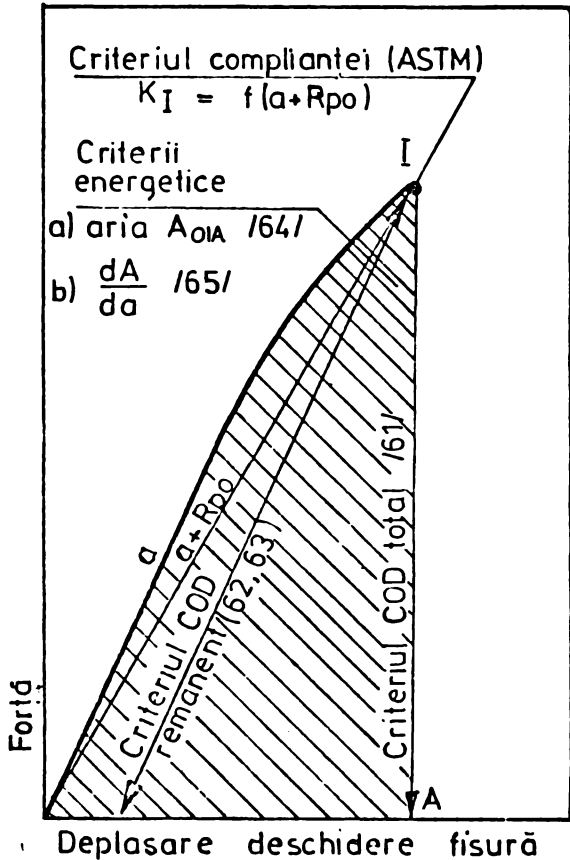


FIG. 18

plastice a fost propusă de P.A. Mc Clintock, bazîndu-se pe forma circulară a liniilor de egală tensiune tangențială. Au fost semnalate diferențele între mărimea enclavei plastice în condițiile stării plane de tensiuni și a stării plane de deformare. Pentru simplificarea problemei, cazul corpurilor plate cu fisură străpunsă s-a tratat în ipoteza enclavei plastice de mărime constantă pe toată grosimea, luîndu-se în considerare cauzuri limită de corpuri cu grosime mică (sub 5 mm) la care enclavea plastică corespunde stării plane de tensiuni, și corpuri cu grosime mare (peste 15 mm) la care enclavea plastică corespunde stării plane de deformare.

#### 4.1.2. Metoda corecțiilor plastice

Metoda corecțiilor plastice, propusă de Comitetul ASTM care se ocupă cu mecanica ruperii, constă în asimilarea enclavei plastice cu o extindere ipotetică de fisură. Mărimea extinderii ipotetice a fisurii este evaluată în baza crite-

riului compliantei. Conform acestui criteriu se consideră că nivelul de solicitare în fața unei fisuri în condiții de deformare elasto-plastică este echivalent nivelului de solicitare în fața unei fisuri în condiții de deformare elastică având aceleași valori ale forței și deplasării de deschidere a fisurii. Lungimea fisurii corpului echivalent elastic este mai mare, corespunzător diferenței de compliantă, cu o valoare care reprezintă extinderea ipotecică a fisurii.

Fundamentul teoretic al acestei metode îl constituie evaluările mărimii enclavei plastice circulare, a distribuției tensiunilor în afara enclavei plastice și a energiei de deformare plastică.

#### Mărimea enclavei plastice circulare

Principala dimensiune a enclavei plastice de formă circulară este distanța de la vîrful fisurii și pînă la marginea graniței enclavei în planul fisurii (coordonată polară  $\theta = 0$ ) notată  $R_{po}$ . Pentru determinarea mărimii ei, se face egalitatea resultantelor tensiunilor distribuite, în regim elastic și în regim elasto-plastic. Conform fig. 19, acest echilibru presupune satisfacerea egalității :

$$\text{Aria O} \cdot \text{CS} = \text{Aria O} \cdot \text{MF}, \quad (4.1)$$

În ipoteza similarității de formă a curbelor CH și DH, egalitatea (4.1) conduce la următoarea relație analitică :

$$R_{po} \bar{f}_{yp} = \int_0^{f_p} \bar{f}_y dr. \quad (4.2)$$

Notind :  $R_{po} = \beta r_p$ , egalitatea (4.2) este valabilă pentru  $\beta = 2$ , obținindu-se relația care dă mărimea enclavei plastice:

$$R_{po} = \alpha \left( \frac{\sigma_N}{\sigma_p} \right)^2 a, \quad (4.3)$$

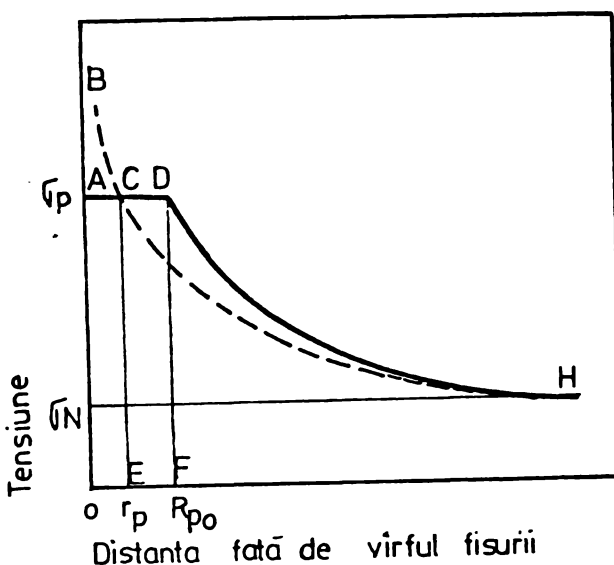


FIG. 19

În care :

$\sigma_p$  = limită de curgere a materialului

a = lungimea fisurii

$\alpha$  = coeficient care depinde de valoarea raportului  $\sigma_p / \sigma_y$

Coefficientul  $\alpha$  variază între valorile limite specifice pentru starea plană de tensiuni și starea plană de deformare.

O metodă mai riguroasă de calculare a mărimiilor enclavelor plastice a fost propusă de D.G. Dugdale /5a/. El a considerat că lungimea fisurii ( $2a$ ) este egală cu lungimea fisurii initiale ( $2a_0$ ) la care se adaugă mărimea enclavelor plastice ( $2R_{po}$ ), conform fig. 20. Considerind că pe zona fisurii

inițiale acționează o tensiune de deschidere a fisurii  $\bar{\Gamma}_N$  iar pe zonele de capăt o tensiune  $\bar{\Gamma}_P$  (limita de curgere a materialului), aplicând relațiile de calcul pentru starea elastică de deformare, a obținut relația :

$$\frac{R_{po}}{a_0} = \sec \frac{\pi \bar{\Gamma}_N}{2 \bar{\Gamma}_P} - 1 \quad (4.4)$$

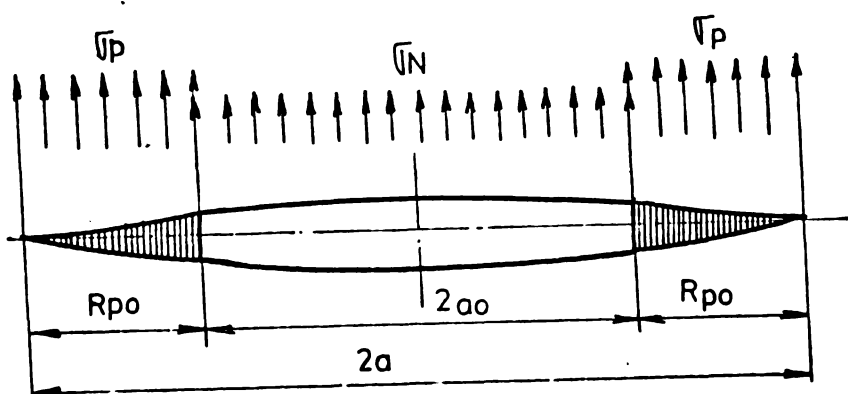


FIG. 20

Pentru enclave plastice mici, relația (4.4) poate fi simplificată ținând seama că  $\bar{\Gamma}_N \ll \bar{\Gamma}_P$ , obținindu-se :

$$R_{po} = \frac{\pi^2}{8} \left( \frac{\bar{\Gamma}_N}{\bar{\Gamma}_P} \right)^2 a \quad (4.5)$$

Această relație este asemănătoare cu relația (4.3)

#### Distribuția tensiunilor în afara enclavei plastice

Admitând ipoteza similarității de formă a curbelor DII și III din fig. 19, și având în vedere că s-a obținut pentru coeficientul  $\beta$  valoarea 2, rezultă că distribuția tensiunilor în afara enclavei plastice (deci pentru  $x > r_p$ )

este cea corespunzătoare unei fisuri cu lungimea ( $a_0 + r_p$ ). Factorul de intensitate al tensiunilor și mărimea  $r_p$  sunt interdependente, putindu-se calcula iterativ. Pentru calculul mărimii  $r_p$  rezultă relația :

$$r_p = \frac{1}{2\pi} \left( \frac{K_I}{R_p} \right)^2. \quad (4.6)$$

### Energia de deformare plastică

Din integrarea relației care dă energia elementară de deformare plastică, și anume :

$$dU = \frac{1}{2} \frac{\tau_p^2}{G} \left( \frac{R_p}{r} - 1 \right) r dr d\theta, \quad (4.7)$$

se obține relația :

$$U_p = \frac{1}{2} \frac{\tau_p^2}{G} S_p, \quad (4.8)$$

în care  $S_p$  este aria enveloapei plastice, calculabilă cu relația :

$$S_p = \pi r_p^2. \quad (4.9)$$

Inlocuind în relația (4.8), relația de calcul a mărimii  $r_p$  (relația 4.6) se ajunge la relația :

$$U_p = \frac{1}{2} \beta r_p. \quad (4.10)$$

Această relație arată că energia de deformare plastică este egală cu energia de deformare elastică care s-ar relaxa dacă fisura s-ar sări cu  $r_p$ , fiind în concordanță cu valoarea 2 obținută pentru coeficientul  $\beta$ .

### Consideratii asupra metodei

Conform acestei metode, intensitatea solicitării la vîrful fisurii este considerată proporțională cu mărimea enclavei plastice. Pentru a avea această proporționalitate ar trebui ca distribuția tensiunilor și deformațiilor în interiorul enclavei plastice să fie aceeași pentru toate materialele și solicitările (sisteme de forțe, forme și mărini de fisură, etc.). Deoarece această condiție nu este îndeplinită /47, 48, 49/, rezultă că condiția de inițiere a ruporii prin fisurare se va realiza la valori diferite ale factorului de intensitate al tensiunilor calculat cu lungimea de fisură ipotetică din momentul inițierii, funcție de particularitățile situației.

Această lipsă de identitate a acestei caracteristici, reiese și din faptul că relația (4.6) cu care se calculează prin iterație extinderea ipotetică a fisurii nu dă rezultate asemănătoare cu cele determinate experimental, chiar pentru același tip de epruvetă, solicitare și material, decât în condițiile anumitor limite ale lungimii fisurii și a raportului dintre limita de curgere a materialului și tensiunea nominală de solicitare /41/.

### Fenomenul de instabilitate

Metoda corecțiilor plastice a devenit totuși deschisă de utilă, deoarece a permis evaluarea fenomenului de instabilitate, care este analog cu cel obținut la solicitarea la tracțiune a unei bârse.

Prin deformare plastică se produce o slăbire a secțiunii portante, la bârse pe seama reducerii secțiunii ca urmare a condiției de volum constant la deformare plastică, iar la corpurile cu fisură datorită efectului enclavelor plastice similar unei creșteri ipotetice a lungimii fisurii. Această slăbire a secțiunii portante este însă compensată de creșterea prin ecarcire a rezistenței materialului. La un anumit nivel

ul deformării, creșterea rezistenței prin deformare devine insuficientă și procesul de deformare continuă fără creștere solicitării exterioare, astfel încât dacă solicitările nu sead se ajunge la rupere.

### Curbela R

Scrierea condiției de instabilitate are la bază conceptul "curbelor R" propus de G.R. Irwin /53/ și apoi definit teoretic de J.M. Krafft /54/, care a formulat următoarele caracteristici de bază :

- a) pentru un material, în aceleasi condiții de temperatură și viteză de solicitare, rezistența la propagarea fisurii este funcție de creșterea lungimii fisurii (reală sau ipotecică) ;
- b) peste o anumită lungime, rezistența la fisurare nu mai este dependentă de lungimea inițială a fisurii.

In general curba R are o zonă inițială de creștere datorată dezvoltării envelorilor plastice (creșterea ipotecică a lungimii fisurii) apoi o zonă de creștere datorată creșterii fizice și ipotetice a lungimii fisurii, pînă la atingerea unui palier. Prezența acestui palier al curbelor R a fost constatat experimental de S.J. Ripling /55/, fiind în concordanță cu geometria suprafeței de rupere. Astfel, de la o anumită distanță de vîrful fisurii, raportul între zonele de rupere plată și înclinață rămîne constant.

### Condiția de instabilitate

In casul corpurilor cu fisuri, condiția de instabilitate a fost scriea /53/ în funcție de factorul de intensitate al tensiunilor la vîrful fisurii și curba R și amuse :

$$g - R = 0$$

$$\left( \frac{\partial g}{\partial a} \right)_T = \left( \frac{\partial R}{\partial a} \right)_T \quad (4.11)$$

In reprezentare grafică, momentul realizării condiției de instabilitate corespunde punctului de tangență între curbele  $g$  și  $R$ .

Valoarea factorului de intensitate corespunzător momentului instabilității, a fost notat cu  $g_c$ , fiind folosit pentru calculele de siguranță. După cum este prezentat în referatul /56/, factorul critic  $g_c$  nu este o caracteristică de material, valoarea lui fiind dependentă de geometria corpului cu fisură (grosime, lungime, fizură, etc.).

#### Metoda de încercare pentru determinarea curbei

Încercările standardizate pentru determinarea factorului critic de intensitate al tensiunilor  $K_{IC}$  ( $g_{IC}$ ), nu permit să se determine întreaga curbă  $R$ , decarece după atingerea valorii critice de instabilitate  $K_c$  ( $g_c$ ) procesul se desfășoară cu viteză mare și diagrama forță-deplasare de deschidere a fisurii nu mai poate fi înregistrată fidel.

Au fost propuse două metode de încercare, și ambele încercări cu deplasarea de deschidere a fisurii controlată /52, 57, 58/ și încercări cu factor de intensitate al tensiunilor controlat /55/ la care nu se mai obține fenomenul de instabilitate. Detalii privind aceste metode de încercare sunt cuprinse în referatul /56/.

#### 4.1.3. Metoda COD (COF)

Evaluarea tenacității la fisurare a materialelor prin deplasarea de deschidere a vîrfului fisurii, notată COD (crack opening displacement), a fost propusă de A.A. Wells /51/. În prezent mulți autori /52/ folosesc o altă notație

COS (crack opening stretch) care pare mai adekvată fenomenului fizic de deformare de la vîrful fisurii.

Fundamentul teoretic al acestei metode îl constituie relația între deplasarea de deschidere a fisurii la vîrf (deschiderea rezanentă) și energia specifică de propagare a fisurii. Având în vedere că deplasarea de deschidere a fisurii la vîrf este dată de însunarea deformațiilor plastice din zona adiacentă, valoarea ei poate fi calculată cu relația :

$$\int_0 = \int_{-\pi/2}^{+\pi/2} f d\theta = \frac{T_p}{G} \int_{-\pi/2}^{+\pi/2} R_p d\theta. \quad (4.12)$$

Având în vedere că pentru enclave circulare  $R_p = R_p \cos \theta$ , prin integrare se poate ajunge la o relație de forma :

$$f = \frac{\pi}{4} T_p \int_0. \quad (4.13)$$

care este relația pe care A.A. Wells /51/ o pune la baza propunerii caracterizării susceptibilității la fisurare a materialelor ductile prin mărimea  $\delta$ , notată COD.

Din punctul de vedere al condiției de rupere, caracterizarea tenacității prin acest parametru nu asigură evaluarea celor doi factori și anume caracteristica fizică de rezistență și volumul de material din imediata vecinătate a fisurii în care se realizează palierul maxim al solicitării. Din această cauză, la două materiale la care inițierea ruperii se face la aceeași valoare a COD, nivelul de solicitare poate fi diferit, deci, din punctul de vedere al ruperii corpului, rezistența (tenacitatea) la fisurare este diferită.

Un element care limitează aplicarea metodei COD în caracterizarea tenacității la fisurare e reprezentă și faptul că nefiind cunoscută legea de distribuție a tensiunilor

și deformațiilor în interiorul enclavei plastice, nu se poate stabili relația dintre deplasarea de deschidere la vîrful fisurii și nivelul solicitării externe. Din această cauză se recurge la relații empirice care, după cum se prezintă în lucrările /59, 60/, nu se verifică în aplicațiile pe elemente cu alte configurații geometrice decât cele pentru care s-au determinat aceste relații empirice.

Metoda COD, rămâne însă o metodă utilă în cercetările de materiale, permitând evaluarea schimbărilor calitative ale unui material, de îmbunătățire sau de nu a tenacității la rupere, sub efectul factorilor tehnologici analizați.

În metodele de încercare pentru determinarea COD, se semnalizează două tendințe. O primă tendință /61/ este de determinare a COD cu ajutorul diagramei forță-deplasare de deschidere a fisurii, eventual pentru o mai fidelă evaluare cu înregistrarea deplasării de deschidere a fisurii în două puncte. Având definită legea de roto-tranlație a flancurilor fisurii, calculația COD este o problemă simplă. O a doua tendință /62, 63/ este de folosire a unor epruvete cu două fisuri tehnic egale, după rupere una răminind martor pentru măsurarea COD, asimilat cu deschiderea remanentă a flancurilor fisurii.

#### 4.1.4. Metode energetice

Evaluarea tenacității prin lucru mecanic necesar pentru creșterea lungimii fisurii este în concordanță cu definiția acestei proprietăți. În cazul problemei liniar elastice, după cum rezultă din relația (3.55), caracteristica energetică de tenacitate poate fi evaluată având în vedere distribuția tensiunilor și deformațiilor în vecinătatea unei fisuri, având astfel certitudinea conludentă acestei caracteristici din punctul de vedere al condițiilor de rupere.

Soluțiile energetice ale problemei caracterizării tenacității materialelor ductile, în lipsa cunoașterii distribuției tensiunilor și deformațiilor plastice, s-au

dezvoltat în limitele posibilităților de evaluare globală a balanței energetice. Sunt cunoscute două metode și anume cea propusă de ..S. Pellini și R.S. Judy /64/ având la bază încercările de incovoiere prin soc pe epruvete de mecanica ruperii (dynamic test - DT) și metoda integrală J propusă de I.R. Rice /65/ și dezvoltată sub aspectul metodicii de încercare de I.A. Begley, I.D. Lankes /66/ și R.I. Bucci /67/.

Metoda Pellini - Judy, constă în încercarea unui set de epruvete cu aceeași grosime, și aceeași lungime de fizură, însă diferite secțiuni nete în planul fisurii. Variatia lucrului mecanic specific pentru ruperea epruvetelor funcție de adâncimea secțiunii nete este diferită de la un material la altul. La materiale fragile nu se obține o variație a lucrului mecanic, iar la materiale ductile se obține o varianție cu atât mai mare, cu cît tenacitatea este mai mare.

De remarcat că autorii acestei metode mențin ideea caracterizării tenacității la fisurare a materialelor ductile printr-o curbă. Curba determinată prin aceste încercări este în fapt o formă integrată a curbei  $R$ , panta curbei fiind dată de media ponderată a consumului energetic crescut din initial și consumul energetic constant pe palierul curbei  $R$ .

Acastă metodă, dezvoltată pe fondul unor cunoștințe generale de mecanica ruperii, abandonată însă tendințele analitice de rezolvare a problemei și nu face diferențieri între condiția de inițiere și condiția de propagare. De asemenea, având în vedere că fenomenul de instabilitate care este dependent de geometria corpului, influențează balanța generală energetică pînă la rupere, curbele determinate prin această metodă vor difera funcție de tipul de epruvetă folosit.

Integrala J, definită analitic ca integrala energiei de deformare în vecinătatea fisurii, se rezumă ca metodă de încercare la extinderea aplicării "metodei compliantei", în domeniul elasto-plastic, având la bază planimetrarea ariei sub curba forță - deplasarea punctului de aplicare a forței.

Drept caracteristica de material se propune valoarea integralei  $J$  în momentul inițierii fisurii.

Aprecierea dacă metoda propusă satisfacă condiția de identitate, adică valoarea critică  $J_{IC}$  este dependentă numai de calitatea materialului, nu poate fi făcută din lipsa de date experimentale și teoretice. În orice caz, satisfacerea acestei condiții, este posibilă numai dacă devierea de la linearitatea curbei forță - deplasare de deschidere a fisurii nu este dependentă de lungimea inițială a fisurii. Dacă avem în vedere că la epruvete de diferite grosimi din același material, după cum rezulta J.E. Srawley /68/ lățimea zonelor laterale de rupere inclinată este aceeași, rezultă că caracteristica  $J_{IC}$  a aceluiași material va fi diferită la grosimi diferite.

#### 4.1.5. Vomiziile metodei propuseă de autor

După cum este prezentat în paragrafele anterioare, metodele actuale de evaluare a temocitatii la fisurare ductilă se aplică din momentul începerii devierii de la linearitatea curbei forță-deplasare de deschidere a fisurii, și au la bază ipoteza privind constanta pe grosime a mărimii enclavei plastice.

Un element important de care se face abstracție, este faptul că nivelul tensiunii de solicitare la care un material începe să se deformeze plastic este dependent de gradul de triaxialitate a tensiunilor. La solicitarea unui corp cu fisură, momentul începerii devierii de la linearitatea curbei forță-deplasare de deschidere a fisurii corespunde apariției deformațiilor plastice în zonele de suprafață ale fronturilor fisurilor, caracterizate prin stare plană de tensiuni. În zonele caracterizate prin stare plană de deformare, apariția deformațiilor plastice are loc la valori mai mari ale forței de solicitare.

În concluzie, în partea inițială a razurii elasto-plastice a curbei forță-deplasare de deschidere a fisurii, corpul solicitat prezintă o zonă centrală cu stare

elastică de deformare. În această zonă distribuția tensiunilor se face după legile stabilite prin teoria elasticității, deci ar fi posibilă evaluarea factorului de intensitate a tensiunilor în fața fisurii. Rezolvarea acestei probleme, adică stabilirea metodologiei de evaluare a factorului de intensitate a tensiunilor și stabilirea limitelor pînă la care se poate face această evaluare a fost propusă de autor /7a/ și este prezentată în cadrul acestui capitol.

Referitor la metodele actuale de evaluare a tenacității la fisurare ductilă, rezultă că ar căpăta o mai bună concludență dacă s-ar aplica după dezvoltarea enclavei plastice pe tot frontul fisurii.

#### 4.2. Elemente de bază ale noii metode propusă de autor

##### 4.2.1. Zonarea curbei de tranziție la rupere prin fisurare în baza criteriilor de deformare plastică

Caracterul transitoriu cu temperatură a tenacității materialelor este evidențiat de majoritatea încercărilor mecanice prin care se evaluatează această proprietate de material. În general, de-a lungul curbei de tranziție, se produc schimbări ale aspectelor fenomenologice care definesc procesul de rupere. De regulă aceste schimbări sunt lente și evolutive, astfel că curba de tranziție este continuă.

În cazul ruperilor prin fisurare a produselor plate, aspectul fenomenologic definitoriu al curbei de tranziție este dat de evoluția enclavelor plastice din vecinătatea fisurii. Tinind seama de stările de tensiuni și de amplasamentul față de frontul fisurii, enclavele plastice pot fi :

- a) enclave plastice laterale, localizate la suprafața corpului, în jurul terminațiilor frontului fisurii, într-o zonă caracterizată în regim elastic de o stare plană de tensiuni ;

b) enclave plastice frontale, localizate de-a lungul frontului fizurii, într-o zonă caracterizată în regia elastică de o stare plană de deformare.

In fig. 21 sunt reprezentate schematic cele două tipuri de enclave plastice. Apariția enclavelor plastice frontale se face la stări de solicitare mai mari decit cele la care apar enclavelor plastice laterale.

Vînd în vedere apariția și dezvoltarea enclavelor plastice, se pot defini trei zone distincte pe curba de tranziție, delimitate de următoarele temperaturi de tranziție:<sup>x)</sup>

a) temperatura de tranziție  $T_{tp}$ , care reprezintă cea mai ridicată temperatură la care inițierea ruperii se face la nivele de solicitare la care nu se mai formează enclavelor plastice laterale, definită ca temperatura de pierdere a ductilității în stare plană de tensiuni ;

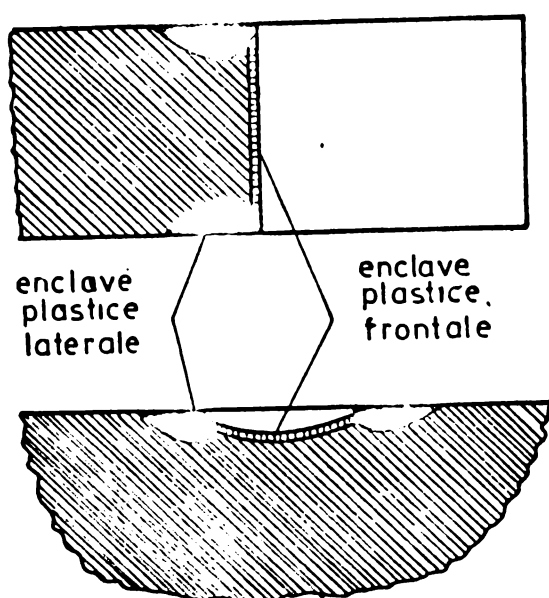


FIG 21

✓

<sup>x)</sup> vedi fig 32

b) temperatura de tranziție  $TT_{DP}$ , care reprezintă cea mai ridicată temperatură la care inițierea ruperii se face la nivele de solicitare la care nu se mai formază enclave plastice frontale, definită ca temperatură de pierdere a ductilității în stare plană de deformare.

În zona temperaturilor sub  $TT_{DP}$ , materialul are o comportare fragilă, cu ruperi de tip plat, tenacitatea materialului putând fi evaluată prin factorul critic de intensitate al tensiunilor  $K_{IC}$ . În intervalul între temperaturile  $TT_{TP} - TT_{DP}$  materialul prezintă ruperi de tip mixt, inițierea ruperii fiindu-se în zona centrală a epruvei în condiții de stare plană de deformare elastică, în timp ce zonele laterale sunt în stare plastică de deformare. Curbele forță-deplasare de deschidere a fisurii prezintă deviere de la linearitate, iar determinarea caracteristicii  $K_{IC}$  este convențional validă numai în anumite condiții, de regulă dacă sunt folosite epruve de grosime mare. În zona temperaturilor peste temperatură  $TT_{DP}$ , întreg frontul fisurii este înconjurat de enclave plastice astfel încât chiar în condițiile unor epruve de grosime foarte mare, devierile de la linearitate al curbei forță-deplasare de deschidere a fisurii sunt mari și nu se mai pot obține determinări valide ale factorului critic de intensitate a tensiunilor.

Metoda propusă de autor /69, 70/, se referă la evaluarea tenacității în intervalul de temperaturi  $TT_{TP} - TT_{DP}$  definit ca zona de tranziție de la comportarea fragilă la comportarea ductilă. Metodica propusă are la bază definirea influenței enclavelor plastice asupra compliantei corpuri cu fisură și asupra formei curbei forță-deplasare de deschidere a fisurii.

#### 4.2.2. Complianta corpurilor cu fisuri

Mărimea de compliantă este definită ca ruperul între deplasările de deschidere a fisurii și mărimea forței aplicate. Valoarea compliantei este dependentă de geometria epruvei și de poziția celor două puncte față de frontul fi-

surii. Determinarea compliantei se poate face experimental din diagramea forță-deplasarea de deschidere a fisurii.

pentru epruvetele standardizate, se poate obține relația empirică de calculare a compliantei /7a/ din relațiile (3.55; 3.57; 3.63), și anume :

$$C = \frac{2(1-\mu^2)}{E} \frac{1}{t} \int \frac{1}{b} Y^2 da, \quad (4.14)$$

în care :

$C$  = compliantă pe direcția de aplicare a forței  
 $E, \mu$  = constantele elastice ale materialului  
 $t, b$  = grosimea respectiv lățimea epruvetei  
 $Y$  = factorul adimensional din relația de calcul a factorului de intensitate a tensiunilor

Pentru epruvetele de tracțiune din STAS 9760, prin integrarea relației (4.14) se ajunge la relația :

$$C = \frac{1-\mu^2}{E} \frac{1}{t} \Phi_0, \quad (4.15)$$

în care  $\Phi_0$  este factor adimensional dat de relația :

$$\Phi_0 = \sum_{i=0}^{10} \alpha_i \left(\frac{a}{b}\right)^i, \quad (4.16)$$

în care coeficienții  $\alpha_i$  au valorile din tabelul 4.1.

Compliantă corespunzătoare măsurării deplasării de deschidere a fisurii la distanță l față de direcția de aplicare a forței (fig. 22) se poate calcula cu relația (4.15) în care factorul dimensional se calculează cu relația :

$$\Phi_l = \Phi_0 + 2l \Phi_\omega, \quad (4.17)$$

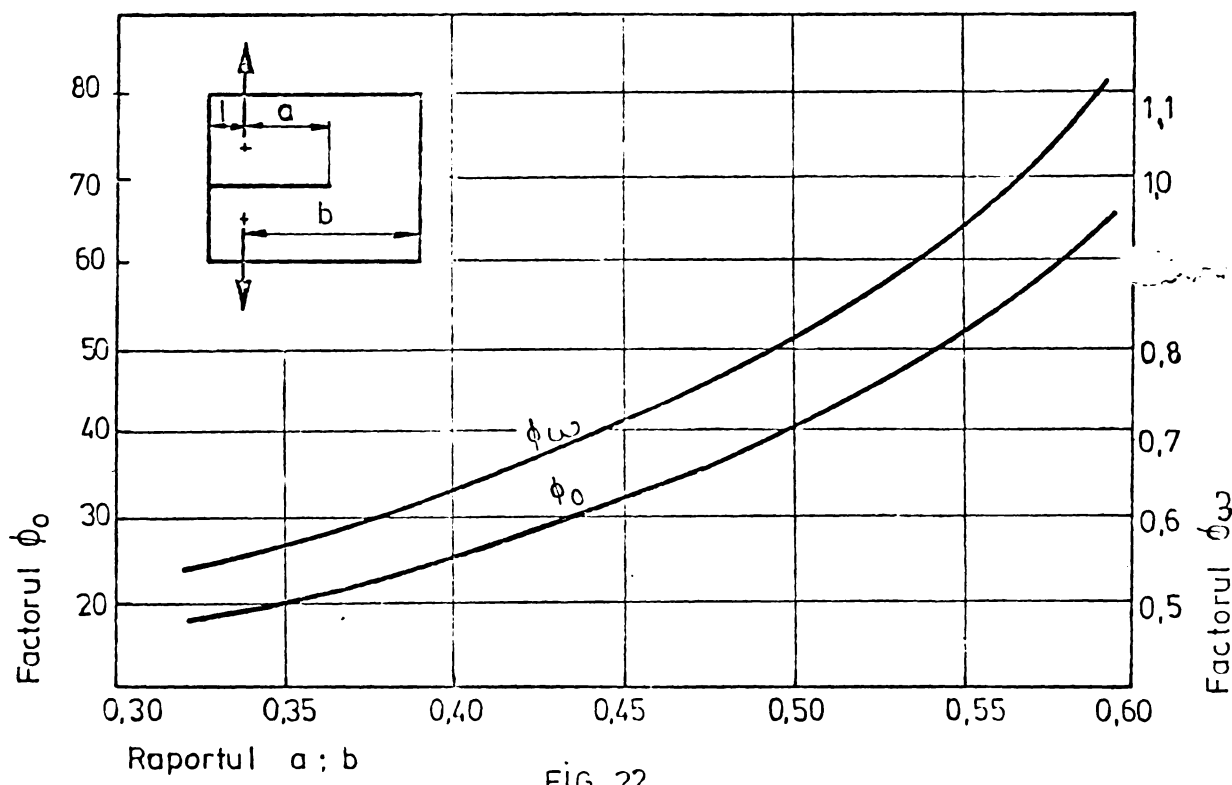


FIG. 22

Tabloul 4.1

i	Coeficientii $\phi_0$
0	+19,66
1	-43,60
2	+876,16
3	-7.321,06
4	+36.613,84
5	-121.388,44
6	+281.690,78
7	-448.778,78
8	+468.035,62
9	-288.782,80
10	+81.635,64

•/•

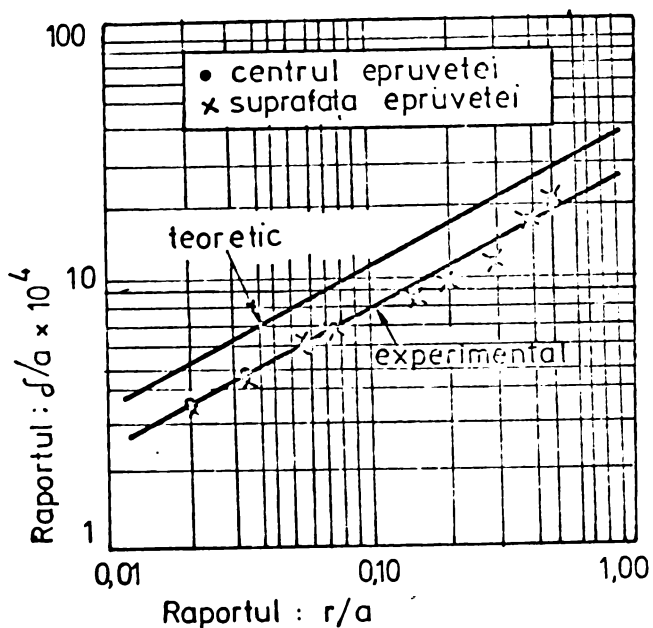


FIG. 23

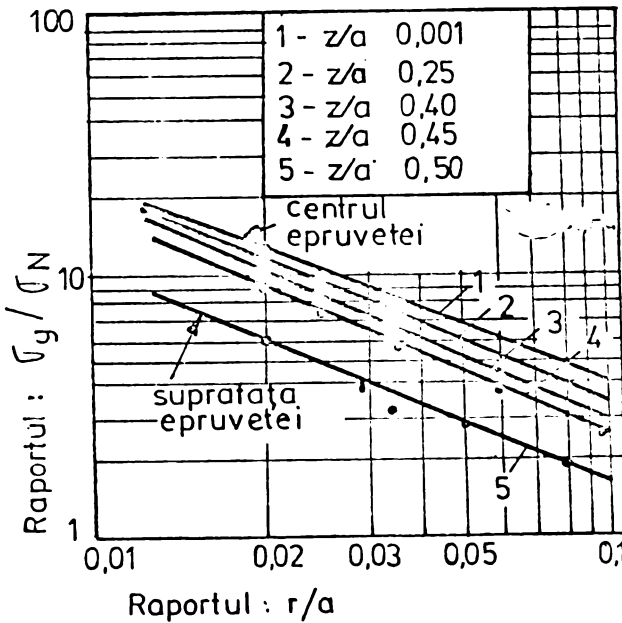


FIG. 24

$\Phi_0$  fiind factorul adimensional din relația de calcul a compliantei de rotație a flancurilor. În fig. 22 se prezintă curbele de variație a celor doi factori adimensionali  $\Phi_0$  și  $\Phi_\infty$ , funcție de lungimea fisurii.

Având în vedere relația (4.15), se poate scrie relația de definiție a compliantei sub forma :

$$\delta = \frac{1-\mu^2}{E} \Phi_0 \frac{F}{t} . \quad (4.18)$$

Decarece raportul între deplasarea de deschidere a fisurii și forța medie distribuită pe unitatea de grosime a epruvetei definește complianta specifică medie  $C_m$ , rezultă:

$$C_m = \frac{1-\mu^2}{E} \Phi_0 . \quad (4.19)$$

Variatia pe grosime a compliantei specifice, poate fi evidențiată având în vedere determinările experimentale ale lui T.A. Bruse [71], cuprinse în fig. 23 și 24. Din fig. 23 rezultă că nu sunt diferențe între deplasările de deschidere

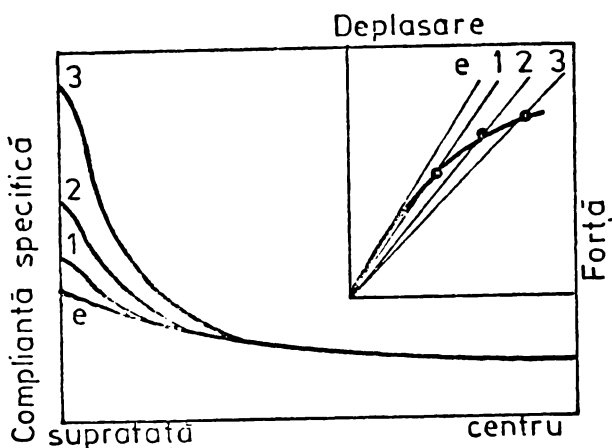


FIG. 25

șă fisurii să apară în centrul și la marginea epruvei, chiar în condițiile depășirii domeniului de comportare elastică. În ceea ce privește distribuția tensiunilor, fig. 24, sunt semnale diferențe între tensiunea normală pe direcția forței din centrul și de la marginea epruvei. Aceste diferențe cresc pe măsură ce se dezvoltă enclavele plastice laterale. Forța de solicitare se distribuie deci neuniform pe grosime, în centrul epruvei având valori superioare raportului mediu  $F/t$ , iar la marginile epruvei valori inferioare.

Rezultă în consecință că compliantă specifică are o variație pe grosime, conformată fig. 25, cu valori maxime la marginea epruvei și valori constante inferioare valoarei compliantei specifice medie la mijlocul epruvei. Lățimea zonelor laterale este de aproximativ 4-5 mm și nu depinde de grosimea epruvei.

Influenta enclaveelor plastice. Dezvoltarea enclaveelor plastice, semnalată pe diagrama forță-deplasare de deschidere a fisurii prin devierea de la linearitate, are ca efect creșterea valorii compliantei.

Ajungîns însă în vedere că la început se dezvoltă enclavele plastice laterale, rezultă că compliantă specifică a epruvei va suferi schimbări în zonele laterale și va rămâne constantă în centrul epruvei, după cum se arată în fig. 25. Creșterea pe ansamblu a compliantei și deci a compliantei

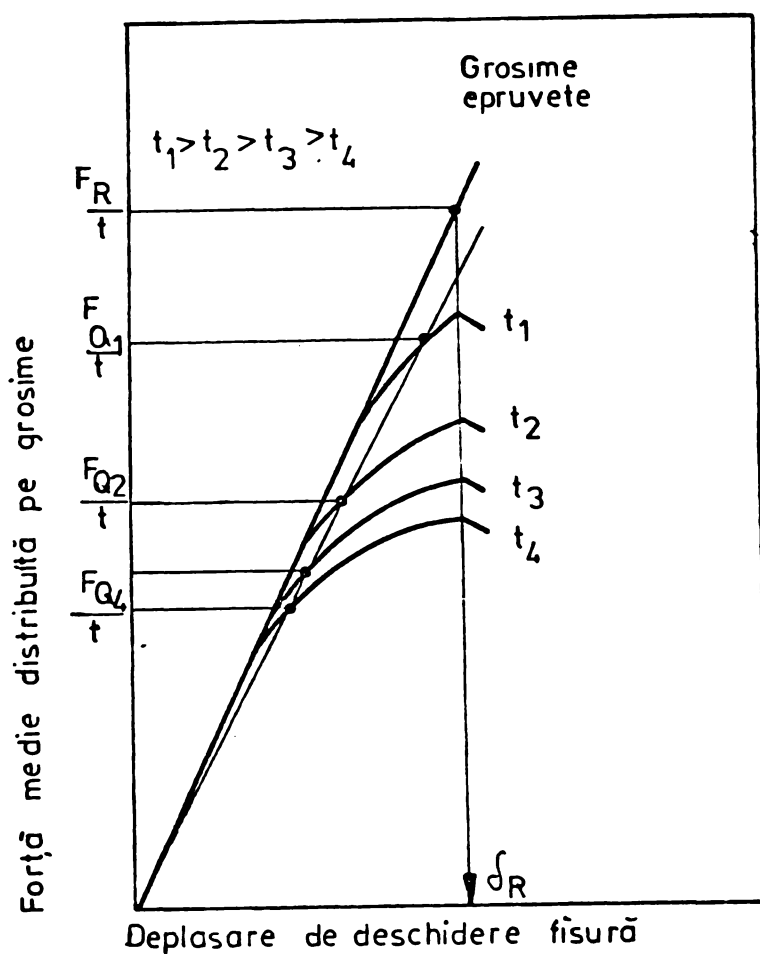


FIG. 26

specifice medii este la nivelul creșterii mădisei ponderate a compliantelor specifice. Rezultă deci, că cu cît epruveta are grosimea mai mare, creșterea compliantei specifice medii va fi mai mică, și în consecință deviația de la liniaritate a curbei forță-deplasare de deschidere a fisurii va fi mai mică (fig. 26).

#### 4.3. Definirea caracteristicii de tenacitate $K_{IR}$

Jupă cum s-a prezentat în capitolul 3, la determinarea caracteristicii  $K_{IC}$  s-a convenit să se ia ca valoare critică a forței, valoarea maximă înregistrată în intervalul unei schimbări de pantă de  $\pm 5\%$ , care corespunde din punctul de vedere al variației compliantei cu lungimea fisurii, unei creșteri cu  $1\%$  al lungimii fisurii. Această convenție face de fapt

abstracție de condiția de definiție a caracteristicii  $K_{IC}$  de a evalua starea de solicitare din momentul cedării materialului.

Avinđ în vedere variația compliantei cu grosimea și cu dezvoltarea enclavelor plastice laterale, rezultă, după cum se arată în fig. 26, că factorul critic de intensitate al tensiunilor determinat prin convenția adoptată va avea valori cu atit mai mari cu cît grosimea epruvei este mai mare, tinsind la limită ( $t \rightarrow \infty$ ) către o valoare maximă calculabilă cu forță care s-ar înregistra în cazul comportării linear elastice pînă la inițierea ruperii.

Valoarea maximă a factorului critic de intensitate a tensiunilor care se poate obține prin creșterea grosimii epruvei este egală însă cu valoarea factorului de intensitate din zona centrală a epruvei, atit timp cît starea elastică de deformare în această zonă nu este perturbată.

Avinđ în vedere că ruperea se inițiază în zonă centrală /68/, aceasta fiind evidențiată de aspectul suprafeței de rupere a epruvei, care prezintă fronturi ale ruperii ("riuri") care converg către centru, rezultă că factorul de intensitate a tensiunilor din această zonă centrală corespunzător momentului inițierii, satisfac cea de a doua condiție de definiție a unei caracteristici de tenacitate, și anume de a evalua starea de solicitare din locul în care se inițiază ruperea. Valoarea acestui factor de intensitate, a fost notat cu  $K_{IR}$ , și reprezintă caracteristica de tenacitate care întrunește condițiile de concludență și identitate în același măsură ca și caracteristica  $K_{IC}$ .

Caracteristica de tenacitate  $K_{IR}$ , se poate determina prin aceeași încercare ca cea folosită pentru determinarea caracteristicii  $K_{IC}$ . Valoarea caracteristicii de tenacitate  $K_{IR}$  se calculează însă cu relația :

$$K_{IR} = \frac{Y}{b^{1/2} \sigma} \delta_R , \quad (4.20)$$

în care :

$\ell_m$  = compliantă specifică din zona centrală a epruvelei

$s_R$  = deplasarea de deschidere a fisurii la momentul inițierii ruperii,

iar  $Y$ ,  $b$ , au aceeași semnificație ca în relația pentru calculul caracteristicii  $K_{IC}$ .

Deoarece valoarea compliantei specifice nu poate fi determinată experimental, s-a propus ca pentru calculul caracteristicii  $K_{IR}$  să se folosească valoarea compliantei specifice medie, diferența rezultată fiind la grosimi de epruve de peste 25 mm de ordinul de mărime a erorii rezultate din abaterile de măsurare a celorlalte mărimi care sunt cuprinse în relația de calcul. Compliantă specifică medie, poate fi determinată experimental, sau calculată cu relațiile (4.15-4.17). Deci relația de calcul este de forma :

$$K_{IR} = \frac{Y}{b^{1/2} \ell_m} s_R. \quad (4.21)$$

In lucrarea /69/, a fost propusă o metodă de determinare mai operativă a caracteristicii  $K_{IR}$ , care constă în determinarea grafică, conform fig. 27, a forței dată de relația :

$$F_R = \frac{s_R}{\ell_m} t, \quad (4.22)$$

Astfel încât, caracteristica  $K_{IR}$  să poate fi calculată cu relația (3.63) folosită pentru calculul caracteristicii  $K_{IC}$ , luând însă pentru forță critică valoarea  $F_R$ .

Această metodă grafică de determinare a forței critice distribuite pe zona centrală a frontului fisurii poate fi generalizată pentru orice tip de epruvetă /42, 43/, și prin aceasta calculul caracteristicii  $K_{IR}$  se poate face în

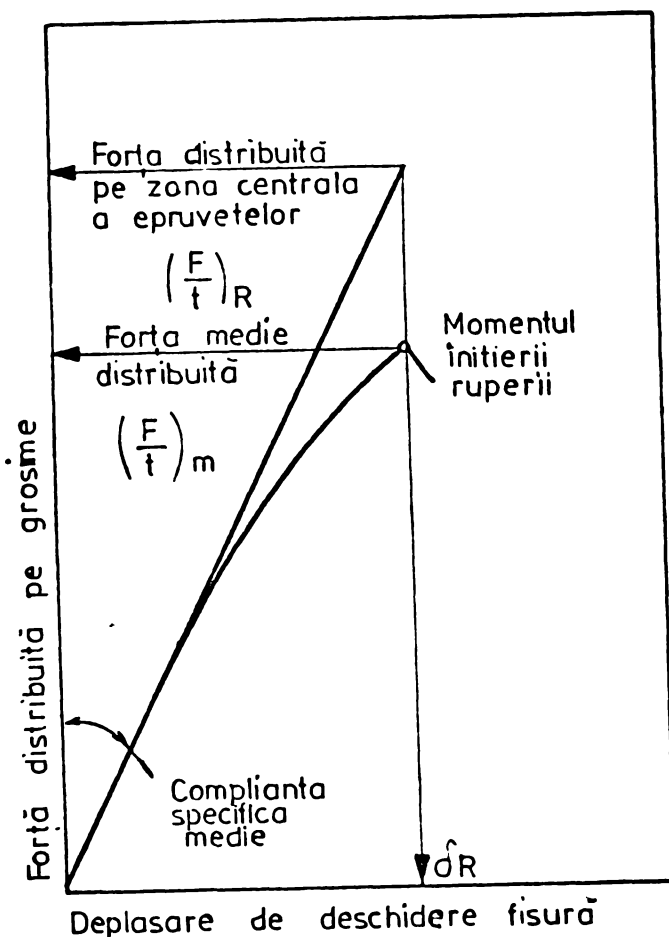


FIG. 27

toate cazurile folosind relațiile definite pentru factorul de intensitate al tensiunilor.

#### 4.4. Concluzii

a) Recomandarea actuală din normale de incercare pentru determinarea caracteristicii  $K_{IC}$ , de a realiza condiția de validare a rezultatului incercării prin măsurarea grosimii epruvetei pe măsură ce temacitatea crește, are la bază scăderea puterii mărimii enclavelor plastice laterale asupra devierii de la linearitate a curbei forță-deplasare de deschidere a fisurii. Această metodă prezintă însă dezavantajul utilizării unor epruvete de dimensiuni mari, inoperante, și ceea-

ce este mai important faptul că nu permite caracterizarea ge-  
nei dimensionale de produse care reprezintă ponderea mare  
în utilizare.

b) Metoda propusă de autor, permite evaluarea te-  
nacității prin factorul critic de intensitate al tensiunilor,  
folosind epruvete de dimensiuni obișnuite. Metoda are la bază  
definirea factorului de intensitate a tensiunilor în zona  
centrală a grosimii epruvetei care prezintă stare elastică  
de deformare și care reprezintă zona în care se realizează  
condiția de rupere a materialului.

## 5. CERCETARI PRIVIND SUSCEPTIBILITATEA LA FISURARE DUCTILA A OTELURILOR

### 5.1. Obiectivele cercetării

Cercetările privind susceptibilitatea la fisurare a oțelurilor au fost făcute având în vedere trei obiective, și anume verificarea relațiilor de calcul a compliantei și a compliantei specifice mediei, verificarea identității și univocității caracteristicii de tenacitate  $K_{IR}$  și caracterizarea susceptibilității la fisurare a oțelurilor prin prisma caracteristicilor actuale folosite pentru evaluarea tenacității.

Condiția de identitate și univocitate a caracteristicii  $K_{IR}$  este satisfăcută dacă valorile determinante experimentale sunt dependente numai de calitatea materialului. După cum a fost prezentat în capitolele anterioare, caracteristicile propuse pentru evaluarea tenacității în intervalul de tranziție au valori dependente de geometria epruvei (grăsimi, lungimea fisurăi, etc.). Domeniul în care condiția de identitate este satisfăcută, definit de regulă ca domeniu de validitate al caracteristicii de tenacitate, este limitat teoretic pentru caracteristica  $K_{IR}$  de apariția enclavei plastice frontale. În cadrul cercetărilor efectuate s-a urmărit să se definscă practic limitele în care determinarea acestei caracteristici este validă.

Referitor la caracterizarea susceptibilității la fisurare ductilă, s-a avut în vedere că în prezent există un volum mare de cunoștințe privind tenacitatea oțelurilor evaluată prin criterii convenționale. Un obiectiv major privind caracterizarea susceptibilității la fisurare a fost de a se corela rezultatele aplicării noii metode de evaluare a

tenacității și de definire a unor temperaturi de tranziție pe criterii fenomenologice, cu actualele metode folosite. Prin aceasta, rezultatele cercetării pot fi utilizate pentru verificarea și îmbunătățirea prescripțiilor actuale de utilizare a oțelurilor pentru evitarea pericolului ruperii fragile, beneficiind în continuare de increderea probabilistică dată de experiența dobândită pînă în prezent prin aplicarea acestor prescripții.

### 5.2. Metodica de cercetare

#### 5.2.1. Materiale de cercetare

A fost folosită pentru experimentări o gamă largă de oțeluri pentru structuri metalice, și anume oțeluri carbon și slab aliate utilizate în stare normalizată cu limite de curgere în intervalul 240-450 MPa, și oțeluri slab aliate utilizate în stare îmbunătățită cu limită de curgere peste 450 MPa. S-a urmărit prin aceasta ca concluziile cercetării să fie la un nivel de generalitate care să permită aplicarea lor la nivelul prescripțiilor de utilizare pentru evitarea pericolului ruperii fragile.

Cercetările de bază efectuate în cadrul acestei lucrări s-au făcut pe table groase din mărcile de oțel din STAS 9021. Un interes deosebit il prezintă noile mărci de oțel cu limită de curgere peste 400 MPa, OCS 55 și OCS 58, a căror tehnologie de fabricație a fost stabilită în cadrul Institutului de cercetări Metalurgice /72, 76, 77/. Sarjele de oțel folosite pentru cercetări sunt prezentate în tabelale 5.1 și 5.2.

Mărcile de oțeluri de îmbunătățiri folosite pentru experimentări au fost : 35CrNi16, 40Crlo, 33MoCr11, 41MoCr11, 34MoCrNi15, 30MoCrNi20. Din punct de vedere calitativ sarjele folosite s-au încadrat în prescripțiile de calitate din STAS 791. Oțelurile au fost incinate în stare normalizată și în

diferite stări de tratament termic de îmbunătățire (călire + revenire). Date privind varjele cercetate sunt cuprinse în lucrarea /79/.

Tabelul 5.1

Mărca oțel	Nr. varjă (C.S. Galati)	Gro- sime tablă (mm)	Compoziție chimică la turnare <sup>x)</sup> /%						
			C	Mn	Si	Ni	V	S	P
OCS 44 128.001		40	0,16	1,10	0,28	-	-	0,019	0,022
OCS 52 928.665		45	0,20	1,35	0,23	0,30	0,10	0,015	0,016
OCS 55 124.181		45	0,16	1,36	0,33	0,61	0,14	0,011	0,015
OCS 58 118.816		45	0,16	1,50	0,31	0,53	0,12	0,015	0,014
	412.682	30	0,18	1,43	0,42	0,59	0,16	0,009	0,010

<sup>x)</sup>Toate varjele au fost dezoxidate suplimentar cu Al

Tabelul 5.2

Mărca oțel	Nr. varjă	Caracteristici de tracțiune			Tempera- tură de tranzitie $T_{KV}^x)$ (°C)
		Limita de curgere (MPa)	Resistență la tracțiune (MPa)	Alungirea la rupere (%)	
OCS 44 128.001		310	460	25	-40
OCS 52 928.665		380	525	27	-60
OCS 55 124.181		420	600	24	-45
OCS 58 118.816		490	695	22	-30
	412.682	500	640	23	-55

<sup>x)</sup> Temperatura de transiție  $T_{KV}$  reprezintă temperatura la care media valorilor individuale ale rezultatelor incercărilor de încovoiere prin vee (minim 10 valori/varjă) pe epruvete cu creșătură în V, prelevate pe direcție longitudinală (direcția de laminare), a fost de 28 J.

### 5.2.2. Epruvete pentru încercări

In general, epruvetele folosite pentru încercări au fost conform standardelor de încercări și prevederilor din standardele de material.

Epruvetele pentru încercările de mecanica ruperii au fost de tipul celor prevăzute în STAS 9760 pentru solicitarea la tracțiune. Epruvetele au fost prelevate în același mod în care sunt de regulă prelevate epruvetele Charpy V pentru încercări de încovoiere prin „cc, edică în direcția longitudinală cu fisură perpendiculară pe planul tablei. Epruvetele cu grosimea mai mică decât grosimea tablei au fost prelevate din centrul tablei.

Au fost folosite două tipuri de epruvete și anume epruvete proporționale conform STAS 9760, notate în această lucrare cu simbolul  $TP \times$  grosimea epruvetei (exemplu :  $TP\ 25 =$  epruvetă proporțională cu grosimea de 25 mm) și epruvete neproporționale având în general dimensiunile epruvetei  $TP\ 25$  însă cu grosimi de 15, 20, 25, 30, 35, 40, 45 mm. Aceste epruvete au fost notate în această lucrare cu simbolul  $TN \times$  grosimea epruvetei (exemplu :  $TN\ 35 =$  epruvetă neproporțională cu grosimea de 35 mm). Dimensiunile epruvetelor neproporționale au fost stabilite astfel încât la forțele maxime pînă la care se solicită epruvetele să nu apară tensiuni mai mari decît limita de curgere a materialului, în zonele din afara virfului fisurii. Conform verificărilor tensometrice efectuate de D.E. McCabe /52/, zona de maximă solicitare este în planul secțiunii de rupere a epruvetei, pe latura fără fisură, cu o tensiune care poate fi calculată cu relația :

$$\sigma = \frac{6Fa}{t(b-a)^2}. \quad (5.1)$$

Epruvetele au fost făcute cu respectarea preciziei dimensiunilor și a calității suprafețelor indicate în STAS 9760. În vederea obținerii fisurării de obiceală la solicitări scăzute fundul crestăturii epruvetelor a fost prelucrat prin electroerosiune cu un fir cu diametrul de 0,2 mm pe o

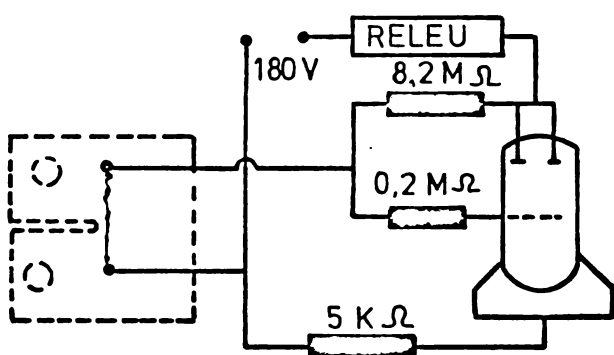


FIG 28

adâncime de 1.5 mm. Efectuarea acestui concentrator a asigurat de asemenea obținerea preciziei cerute pentru fisura de oboseală.

### 5.2.3. Tehnică de încarcare

Fisurarea epruvetelor s-a făcut pe o instalatie cu acționare mecanică cu deformare constantă. S-a realizat oprirea automată a instalației atunci cind lungimea fisurii de oboseală a atins mărimea dorită. Oprirea a fost declanșată de ruperea unui fir cuprins în circuitul electronic de alimentare a instalației conform fig. 28. Firul a fost lipit pe epruvetă la o distanță față de vîrful creștăturii egală cu lungimea pe care fisura trebuia să o aibă.

Încercările au fost efectuate pe o instalatie hidraulică cu funcționare în regim de servocontrol (closed-loop). Forța și deplasarea de deschidere a fisurii au fost măsurate cu captori tensometrici rezistivi (din dotarea instalației) și înregistrate în coordinate XY. În tabelul 5.3 sunt cuprinse date tehnice privind precizia cu care s-au efectuat încercările. La temperaturi scăzute încercările au fost efectuate cu epruvetele inserante în baie cu lichid răcit la temperatura de încercare. Captorul tensometric pentru măsurarea deplasării de deschidere a fisurii este cu compensare a efectului temperaturii astfel că precizia măsurătorilor a fost asigurată pînă la temperaturi de  $-150^{\circ}\text{C}$ .

Tabelul 5.3

Caracteristici tehnice	Măsurare		Inregistrare X-Y
	Forță	Deschidere fisură	
Valoare maximă	100 kN	5 mm	250 mm
Precizie	±1%	±0,25%	±0,4%
Linearitate	0,25%	0,25%	±0,1%

#### 5.2.4. Prezentarea datelor experimentale

Rezultatele încercărilor sunt cuprinse în reprezentare grafică sub formă de diagrame care să pună în evidență concluziile privind confirmarea obiectivelor propuse. Interpretarea rezultatelor s-a făcut în baza prelucrării statistice a datelor, conform metodelor și criteriilor de apreciere prezentate în continuare.

Determinarea modelului statistic. Problema determinării modelului statistic presupune stabilirea repartiției teoretice pe baza repartiției empirice a unei populații statistice finite. Acceptând apriori că repartiția rezultatelor experimentale este normală, problema determinării modelului statistic s-a particularizat la verificarea normalității. A fost folosit testul Lilliefors /9/, care presupune următoarele preluăruri :

a) Se ordonează valorile variabilei aleatoare, se calculează frecvențele relative cumulate și se reprezintă în coordinate semiologaritmice. Într-o astfel de reprezentare repartiția normală este sub formă de dreaptă (dreapta Henry).

b) Se stabilește valoarea statisticii  $D_{n,1-\varepsilon}$  care reprezintă diferență maximă admisă între valorile empirice și teoretice ale frecvențelor relative cumulate. Valoarea acestei statisticii este de regulă tabelată /90, 91/ și este funcție de volumul de selecție ( $n$ ) și coeficientul de încredere ( $1-\varepsilon$ ).

Ipoteza normalității se acceptă dacă valorile individuale ale frecvențelor cumulate ale populației statistice se găsesc în jurul dreptei care reprezintă estimarea repartiției teoretice, la distanțe mai mici decât valoarea statisticii  $D_{n, 1-\varepsilon}$ .

Evaluarea indicatorilor statistici. Ipoteza normalității fiind verificată, indicatorii statistici care definesc populația statistică sunt: media, abaterea medie patratice, limitele intervalului de variație (toleranțele statistice). Media și abaterea medie patratice au fost calculate cu relațiiile:

$$m = \frac{1}{n} \sum_{i=1}^n x_i, \quad (5.2)$$

$$\sigma^2 = \frac{1}{n-1} \sum_{i=1}^n (x_i - m)^2.$$

În reprezentarea grafică a frecvențelor cumulate, media reprezintă valoarea corespunzătoare unei frecvențe relative cumulate de 50%, iar abaterea medie patratice reprezintă media valorilor corespunzătoare unor frecvențe cumulate de 15,87% și respectiv de 84,13%.

Evaluarea limitelor de variație, respectiv a limitei superioare LS și a limitei inferioare LI, s-a făcut cu relațiile:

$$\begin{aligned} LS &= m + U_{n,p} \sigma \\ LI &= m - U_{n,p} \sigma \end{aligned} \quad (5.3)$$

în care statistică  $U$  este de regulă tabelată și este funcție de

volumul de selecție și coeficientul de încredere probabilistică.

Verificarea identității statisticice a două eșantioane. La interpretarea valorilor indicatorilor statistici obținuți pentru un eșantion (volum finit de selecție) trebuie avut în vedere că acestia reprezintă "estimări" ale indicatorilor, care sunt dependente de volumul de selecție (gradele de libertate). Teoretic, având în vedere entropia distribuției normale, estimăria unui indicator statistic este cu atât mai bună cu cît volumul de selecție este mai mare, cu condiția însă că statistică să satisfacă condiția de nedeplasare.

Verificarea identității statisticice a două eșantioane reprezintă de fapt verificarea ipotezei că indicatorii statistic ai celor două eșantioane pot fi considerați estimări ale acelorași populații statisticice. Pentru evaluarea identității sub aspectul dispersiei, a fost folosit testul F. Mecanismul testului este foarte simplu, având la bază calcularea raportului  $F = \frac{\bar{r}_1^2}{\bar{r}_2^2}$ , în care  $\bar{r}_1^2 > \bar{r}_2^2$  sint estimările dispersiilor celor două eșantioane. Se poate accepta ipoteza că cele două eșantioane sunt statistic identice dacă valoarea F calculată este mai mică decât o valoare critică dependentă de gradele de libertate ale celor două eșantioane și de coeficientul de încredere acceptat.

Întrucătiva verificarea identității statisticice a mediilor eșantioanelor s-a folosit testul Student. Ipoteza identității statisticice se poate accepta, dacă statistică estimată cu relație :

$$t = \frac{m - m_0}{\sqrt{n}}, \quad (5.4)$$

are valoarea absolută mai mică decât valoarea critică  $t_{n-1} ; \frac{1-\alpha}{2}$ , care poate fi extrasă din tabele /9a/ funcție de gradele de libertate și nivelul de risc admis.

Verificarea caracterului aleator. În cazurile în

care se dorește obținerea unei concluzii generale privind o grupă de mărci de oțel, sau verificarea constanței calității, este necesară verificarea caracterului aleator al datelor. Caracteristica față de care se verifică caracterul aleator poate fi diferită, de exemplu caracteristica de rezistență a oțelului la verificarea posibilității de generalizare a unui criteriu la o grupă de oțeluri, sau timpul la verificarea constanței calității unei fabricații.

Metoda folosită pentru verificarea caracterului aleator al rezultatelor încercărilor cuprinse în această lucrare, are la bază statistica  $M$ , definită prin relația :

$$M = \frac{\delta^2}{\Gamma^2} \quad (5.5)$$

în care  $\Gamma^2$  este estimarea disperației iar  $\delta^2$  este media pătratică a diferențelor successive, care se estimează cu relația :

$$\delta^2 = \frac{1}{n-1} \sum_{i=1}^{n-1} (x_{i+1} - x_i)^2. \quad (5.6)$$

Valorile critice ale statisticii  $M$  sunt tabulate /9a/ sub forma valorilor critice inferioare (VCI)<sub>n,ε</sub> și superioare (VCS)<sub>n,ε</sub> funcție de volumul de selecție și nivelul de semnificație. Decizia de acceptare a ipotezei că selecția are un caracter aleator se ia dacă sunt satisfăcute inegalitățile :

$$(VCI)_{n,ε} < M < (VCS)_{n,ε}. \quad (5.7)$$

Evaluarea ponderii factorilor de influență. În general, variația unei caracteristici de material este determinată de doi factori și anume de variația calității materialului și de erorile de determinare. Separarea influenței celor doi factori, permite pe de o parte aprecierea corectă a omogenității calitative, și pe de altă parte stabilirea nivelului de

precizia a determinării corelat cu criteriile de apreciere a calității.

In casul repartițiilor normale, evaluarea ponderei factorilor de influență este simplificată de proprietatea de stabilitate. Conform acestei proprietăți, dacă două variabile  $X$  și  $Y$  au repartition normale, atunci și variabila  $Z = X + Y$  are același tip de repartition. Indicatorii statistici (media și abaterea medie patratice  $\Gamma$ ) pot fi calculați cu relațiile :

$$\begin{aligned} m(Z) &= m(X) + m(Y) \\ \Gamma^2(Z) &= \Gamma^2(X) + \Gamma^2(Y). \end{aligned} \quad (5.8)$$

Conform acestor relații rezultă că, având indicatorii statistici ai determinării unei caracteristici de material și indicatorii statistici ai preciziei determinării calculați funcție de valorile limită ale erorilor pentru un nivel de încredere dat, se pot estima indicatorii statistici care definesc împriugtirea rezultatelor datorită variației calității. Fidelitatea evaluării unei caracteristici este dată de raportul între toleranțele caracteristicii datorate erorilor de determinare și toleranțele calității materialului.

In ceea ce privește corelarea rezultatelor, proprietatea de stabilitate a repartițiilor normale este foarte folositoare, făcind posibile corelațiile pentru cazurile în care avem volume de selecție diferite. In aceste situații este posibilă corelarea valorilor medii ale caracteristicilor sau corelarea valorilor individuale ale unei caracteristici cu valorile medii ale celuilalte.

### 5.3. Rezultatele corectării

#### 5.3.1. Verificarea relațiilor compliantei

Corectitudinea relațiilor compliantei este confirmată de diagramele din fig. 29 și 30. In figura 29 sunt cuprinse rezultatele măsurării compliantei specifice la toute

epruvetele cu grosimea de 25 mm (TP 25) incercate. In figura 30 sunt cuprinse rezultatele măsurării compliantei specifice medii la epruvetele tip TN cu grosimi de la 15 la 40 mm. In ambele diagrame, rezultatele experimentale se grupează în jurul valorilor calculate cu relațiile (4.14 - 4.19).

In vederea aprecierii măsurii in care relațiile de calcul sunt confirmate de rezultatele experimentale, s-a făcut verificarea statistică a distribuției abaterilor față de curba teoretică și a caracterului întâmplător al abaterilor re-

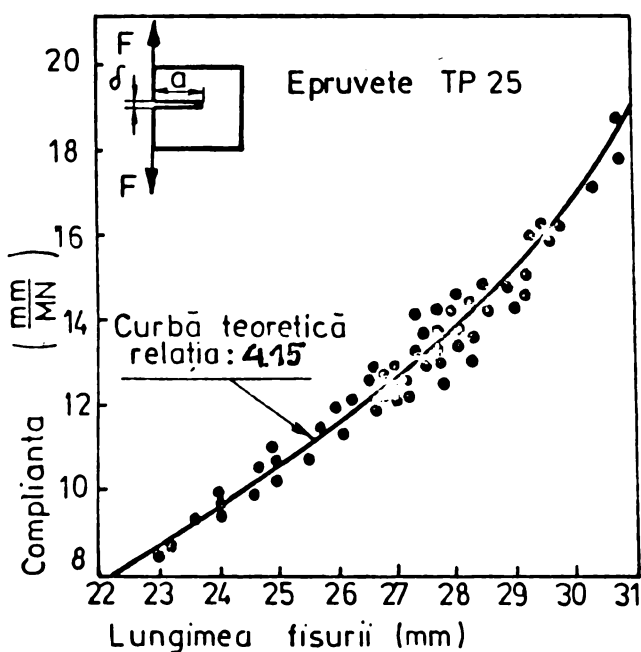


FIG. 29

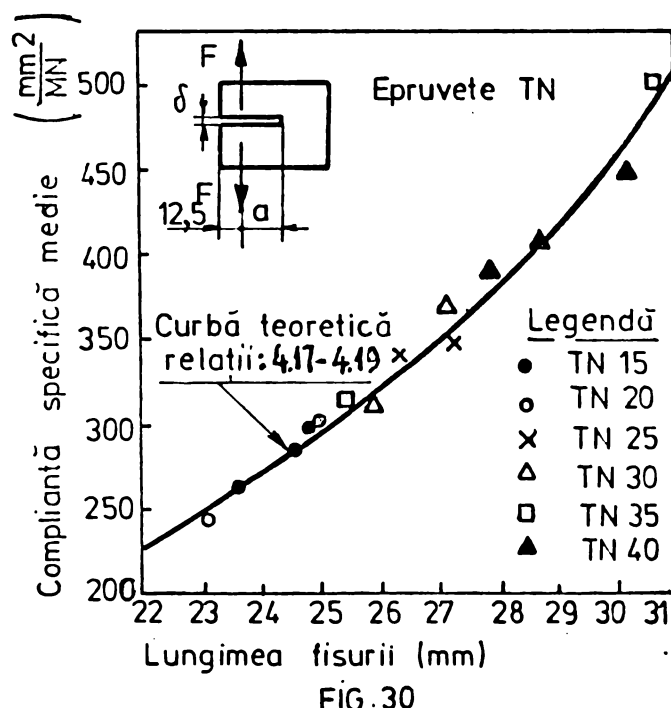


FIG. 30

portat la lungimea fisurii.

Repartiția abaterilor față de curba teoretică este prezentată în fig. 31. Se constată că diferența maximă dintre valorile estimate și empirice ale frecvențelor relative cumulate este de circa 0,09. Pentru această valoare a statisticii  $D_n$ , ipoteza normalității se poate accepta pentru coeficienti de încredere de peste 80%. Valoarea statisticii  $D_{n; 0,8}$  este dată de relația :

$$D_{n; 0,8} = \frac{0,736}{\sqrt{n}} \quad (5.9)$$

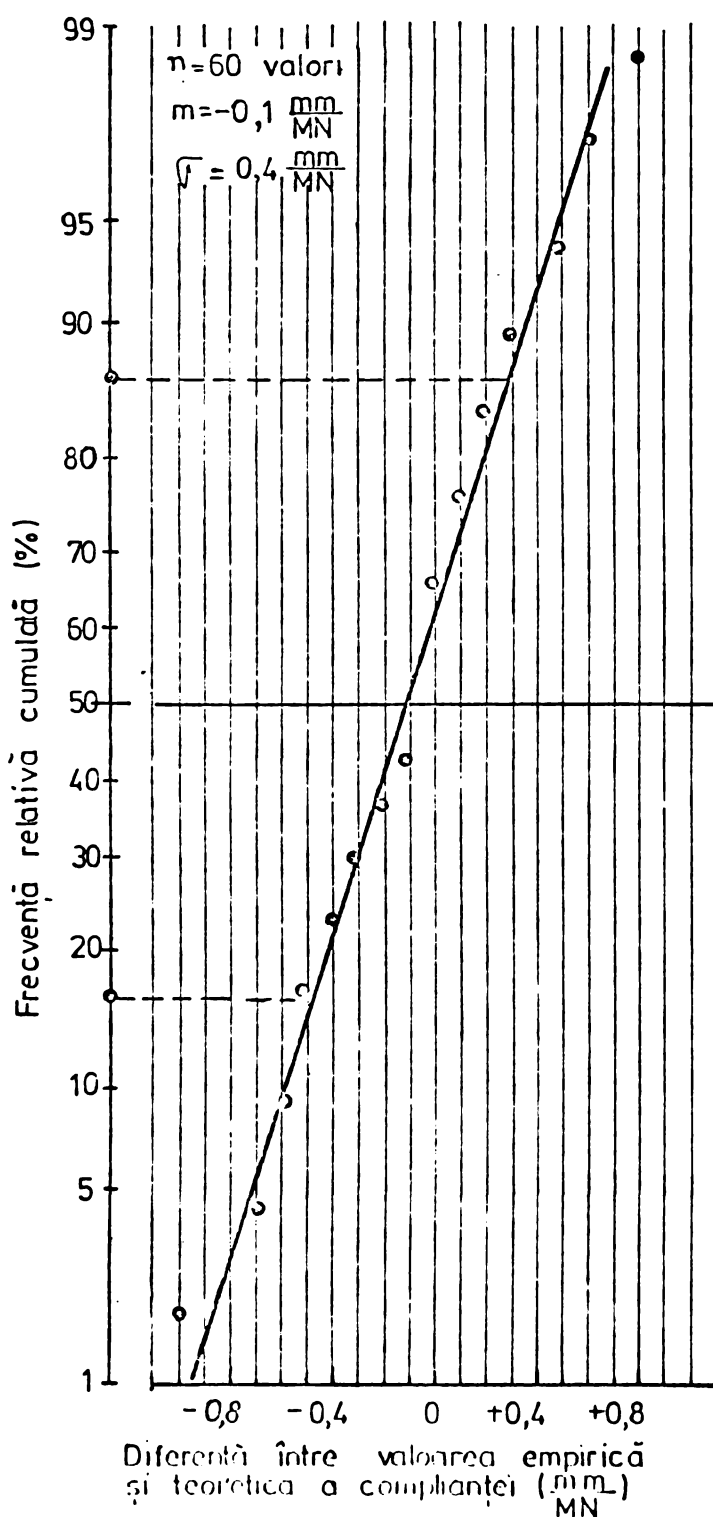


FIG. 31

Media diferențelor față de curba teoretică este de  $-0,1 \text{ mm/MN}$ . Calculând statistică  $t$  a testului Student se obține valoarea 1,94. Valoarea critică cuprinsă în tabele pentru  $n = 60$  și nivelul de risc de 0,025 este  $t = 2,00$  și este mai mare decât valoarea calculată. Se poate trage concluzia că abaterea cu  $0,1 \text{ mm/MN}$  a mediei echantionului față de valoarea teoretică este nesemnificativă, populația statistică

respectivă putând fi considerată cu un risc de 0,025, identică statistică cu o populație cu medie aritmetică zero.

Testul de verificare a caracterului aleator al datelor în funcție de lungimea fisurii s-a efectuat avind în vedere media valorilor corespunzătoare unei lungimi de fisură. S-au obținut următoarele valori ale statisticilor testului :  $\delta^2 = 0,0515$ ;  $T^2 = 0,0426$ ;  $M = 1,21$ . Valorile limitelor critice pentru un nivel de semnificație  $\xi = 0,01$  sunt  $VCI = 0,92$  și  $VCS = 3,08$ . Statistica calculată M are valoarea cuprinsă între cele două valori limite, deci se verifică ipoteza caracterului aleator al datelor. Se poate trage concluzia că relația de calcul este echivalabilă pe tot intervalul verificat.

O altă verificare statistică este de comparare a toleranțelor datorită erorilor de măsurare cu toleranțele statistice obținute experimental. Aplicând principiile propagării erorilor /91, 92/ s-a calculat eroarea maximă a compliantei, corespunzătoare erorilor de măsurare a forței, deplasării de deschidere a fisurii și a lungimii fisurii. Valoarea calculată este de  $±0,6 \text{ mm/mm}$  corespunzătoare preciziei de  $±1\%$  a măsurării forței, și de  $±0,5\%$  a deplasării de deschidere a fisurii și de  $±0,05$  a raportului a/b.

Având în vedere că valoarea estimată a abaterii medii patratice este  $T = 0,4 \text{ mm/mm}$ , rezultă valoarea statistică  $u = 1,5$  (pentru  $n = 60$ ), ceea ce corespunde unui coeficient de încredere de 90%. Aceasta înseamnă că se poate face afirmația că în proporție de 90% împriuștarea datelor experimentale se datorează preciziei de determinare.

### 5.3.2. Influenta temperaturii asupra curbelor forță - deplasare de deschidere a fisurii

Din analiza curbelor obținute la încercările sprăvetelor tip TP la temperaturi scăzute /74/ s-a ajuns la următoarele constatări :

- a) forma generală a curbelor este conform celei

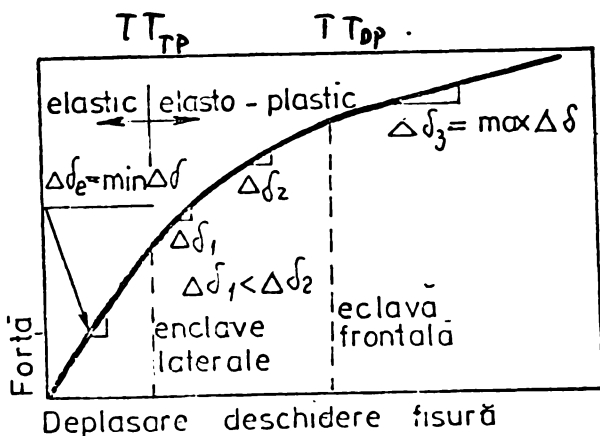


FIG. 32

presentată în fig. 32. Pe această curbă se scanalcază trei zone și anume : prima zonă de comportare linear elastică în care forță și deplasarea de deschidere a fisurii variază proporțional; a doua zonă în care pe măsură ce forță crește deplasarea de deschidere a fisurii crește cu valori din ce în ce mai mari; a treia zonă în care se obține din nou o variație proporțională a deplasării de deschidere a fisurii cu forță;

b) curbele obținute la încercarea opruvetelor TP 25 din același material la temperaturi diferite, pot fi supuse /75/ ca în fig. 33, în coordonate forță - deviere de la linearitate. Pe măsură ce temperatura de încercare scade, ramura elasto-plastică se scurtează, momentul inițierii ruperii apropiindu-se de zona de comportare linear-elastică.

Constatările consemnate mai sus au permis formularea ipotezei că începerea zonei a treia pe curba forță-deplasare de deschidere a fisurii corespunde inițierii enclavei plastice frontale. Valearea factorului de intensitate a tensiunilor din zona cu stare plană de deformare corespunsător acestui moment, notat cu  $K_{DP}$  reprezintă valoarea maximă validă a caracteristicii  $K_{IR}$ , iar temperatura la care inițieră ruperii se face la această valoare reprezintă temperatura de tranziție  $T_{DP}$ . În ceea ce privește temperatura de tranziție  $T_{DP}$  este evident că ea reprezintă temperatura la care inițierea ruperii se face la începerea devierii de la linearitate a curbei. Valearea factorului de intensitate corespunsător acestui moment,

notată cu  $K_{I_{\text{IP}}}$ , reprezentă valoarea maximă validă a caracteristicii  $K_{Ic}$ .

Afiind definit momentul inițierii envelavei plas-

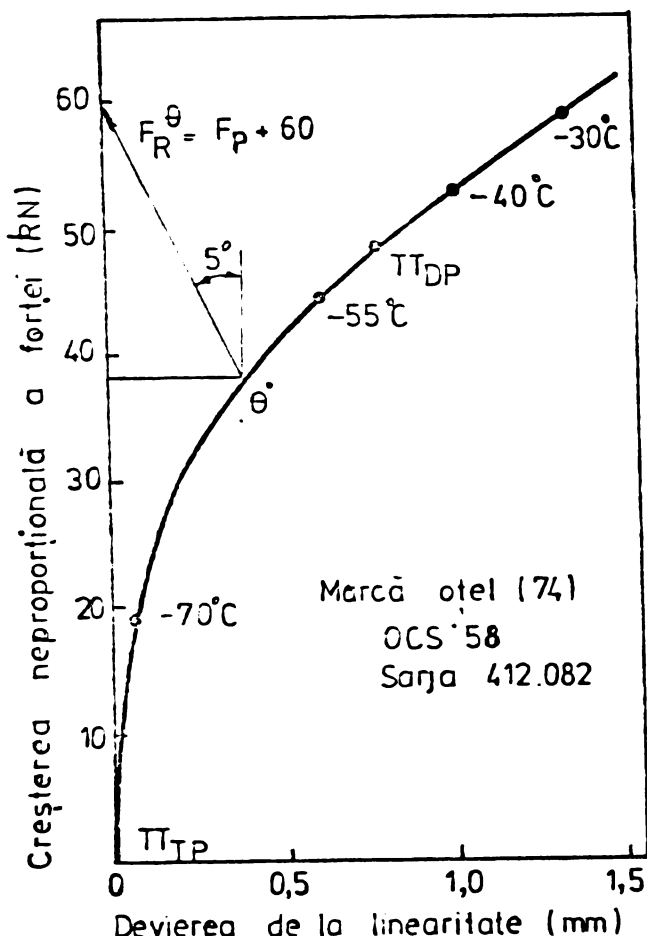


FIG. 33

tice frontale, rezultă o nouă condiție de identitate a caracteristicii  $K_{I_R}$  la nivelul valoarii maxime  $K_{I_{\text{DP}}}$  și anume constanța raportului între această valoare maximă și limita de curgere a materialului (condiția de curgere în starea plană de deformare din frontul unei fisuri).

### 5.3.3. Confirmarea identității și univocității caracteristicii $K_{I_R}$

Resultatele incercărilor pe epruve tip T (cu

Grosimea de 15...45 mm) din mărcile de oțel OCS 44 și OCS 55, prezентate în fig. 34, confirmă că valoarea maximă a caracteristicii  $K_{IR}$  este independentă de grosimea epruvelelor și de lungimea fisurii.

Confirmarea celei de a doua condiții de identitate este dată de rezultatele încercărilor la temperaturi acăzute a epruvelelor tip TP din mărcile de oțel din STAS 9021 /75/. După cum este prezentat în tabelul 5.3, media raportului  $K_{IR}/R_p$  are valori apropiate la toate mărcile de oțel cercetate.

Tabelul 5.3

Marcă oțel	OCS 44	OCS 52	OCS 55	OCS 58
Valoare medie $K_{IR}/R_p$ ( mm)	13,2	13,0	11,5	12,2

În baza rezultatelor obținute se poate prezenta domeniul de validitate a caracteristicii  $K_{IR}$ , conform fig. 35 comparativ cu domeniul de validitate a caracteristicii  $K_{IC}$  dat în lucrarea /45/.

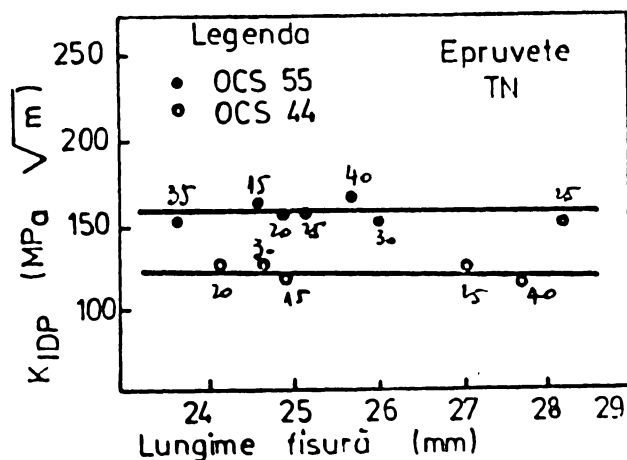


FIG 34

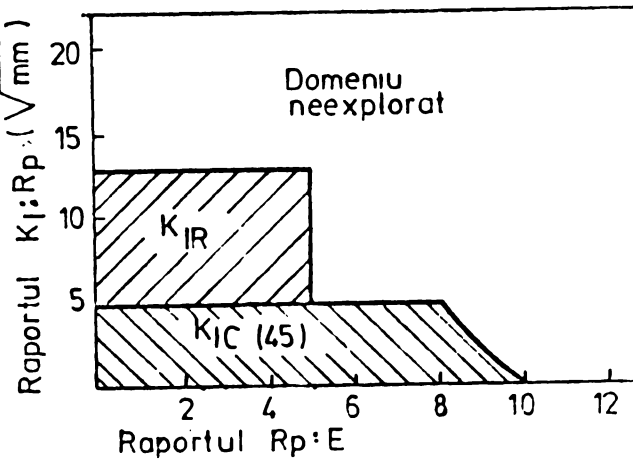


FIG 35

In ceea ce privește curbele R calculate cu convenția creșterii ipotetice a fisurii și caracteristica  $K_{IC}$  determinată conform convenției din STAS 9760 (valori care nu satisfac însă condiția de validitate), prezentate în fig. 36 și 37,

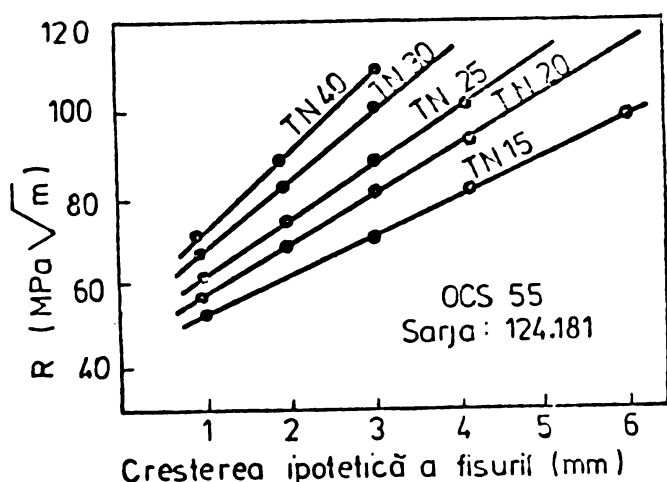


FIG. 36

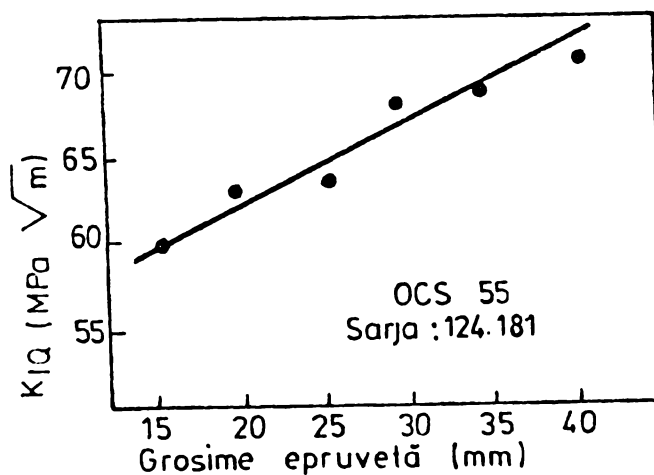


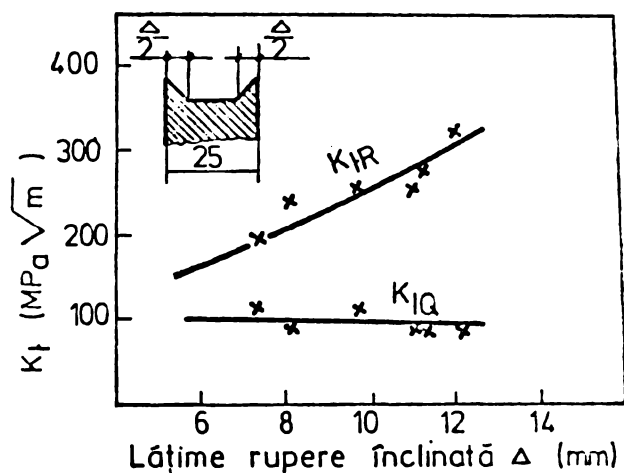
FIG. 37

se evidențiază dependența lor de grosimea epruvelei. Având în vedere variația cu grosimea a caracteristicii  $K_{IC}$  (fig. 37) se poate aprecia că pentru obținerea unor valori de ordinul de mărime a caracteristicii  $K_{IR}$ , sunt necesare epruve cu grosime de peste 200 mm.

O confirmare indirectă a identității caracteristicii  $K_{IR}$  este dată și de rezultatele încercărilor pe epruve tip TP 25 din oțeluri de îmbunătățire CrNiMo, cu limita de curgere de 1100-1400 MPa, la care ruperea s-a inițiat în zona a doua a curbei forță-deplasare de deschidere a fisurii (%). După cum se prezintă în fig. 38, s-a obținut o corelație bună între valoarea caracteristicii  $K_{IR}$  și mărimea zonelor laterale de rupere înclinată. Având în vedere că mărimea acester zone laterale este proporțională cu mărimea enclavelor plastice laterale, corelația obținută este normală. În această figură sunt trecute și valorile caracteristicii  $K_{IC}$  (valori nevalide) care sunt constante, deși temocitatea epruvelelor a fost diferită.

### 5.5.4. Caracterizarea susceptibilității la fisuri a oțelurilor cerestate

Rezultatele cercetărilor privind caracterizarea tenacității oțelurilor din STAS 9021 sunt sintetizate în diagrame din fig. 39 /75/. S-a urmărit evidențierea variației te-



Lățime rupere înclinață  $\Delta$  (mm)

FIG. 38

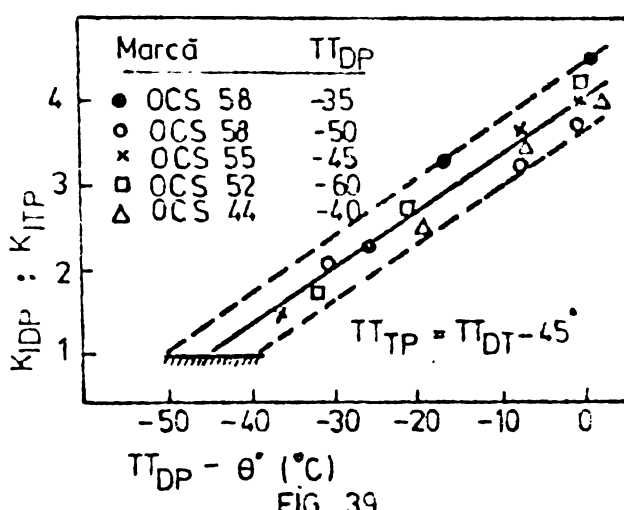


FIG. 39

pacității în intervalul de tranziție. În fig. 39 este prezentată variația raportului dintre valoarea maximă a caracteristicii de tenacitate  $K_{IR}$  și valoarea minimă, funcție de scăderea temperaturii sub temperatura de tranziție  $TT_{DP}$ . Se constată că variația cu temperatura a tenacității în intervalul de tranziție poate fi considerată asemănătoare pentru toate mărurile de oțel cerestate. Intervalul de tranziție obținut este de aproximativ  $45^{\circ}\text{C}$ , de același ordin de marime cu intervalul consemnat în diagrama EAD /5/ dintre temperatura de pierdere a ductilității (NDT) și temperatura de plastificare totală (PTP).

Întrucât evaluarea corectitudinii corelației liniare a celor două caracteristici s-a determinat repartitia statistică a abaterilor valorilor empirice față de dreapta de corelație. A rezultat o repartitie normală cu doi parametri: media  $m = 0$  și abaterea medie patraticea  $\bar{V} = 0,25$ . Toleranțele statistice ale raportului  $K_{IDP} : K_{ITP}$ , pentru un grad de

incredere de 95% sănt de aproximativ  $\pm 0,5$ . Conform acestor toleranțe statistice, rezultă că dacă s-ar defini temperatura de tranziție  $T_{DP}$  în raport cu o valoare fixă a repertului  $K_{DP}$ ,  $K_{DP}$  (de exemplu valoarea 4) eroarea care s-ar face în determinarea temperaturii  $T_{DP}$  ar fi de  $\pm 5^{\circ}\text{C}$ .

In ceea ce privește valorile temperaturilor de tranziție  $T_{DP}$ , prezintă importanță să se sublinieze că sănt plasate în domeniul temperaturilor de utilizare a acester oțeluri, în special pentru utilaje tehnologice și pentru structuri metalice care lucrează în zone cu temperaturi scăzute. Este deci necesar să se cunoască care este valoarea tenacității evaluate prin metodele convenționale la temperatura de tranziție  $T_{DP}$ , deoarece această valoare reprezintă un prag în raport cu care condiția de siguranță fuță de rupere prin fisurare este diferită.

Caracterizarea susceptibilității la fisurare a oțelurilor de tratament termic a fost abordată diferit. În avut în vedere că la aceste oțeluri valorile caracteristicilor mecanice în general și ale tenacității în particular sunt dependente de starea finală de tratament termic. În consecință s-a urmărit în principal variația caracteristicii  $K_{IR}$  cu temperatura de revenire, atât la temperaturi ambiante cât și la temperaturi scăzute. În exemplificare, în fig. 40 sunt prezentate curbele obținute pentru o șurjă din oțel 30MoCrNi20 /74/.

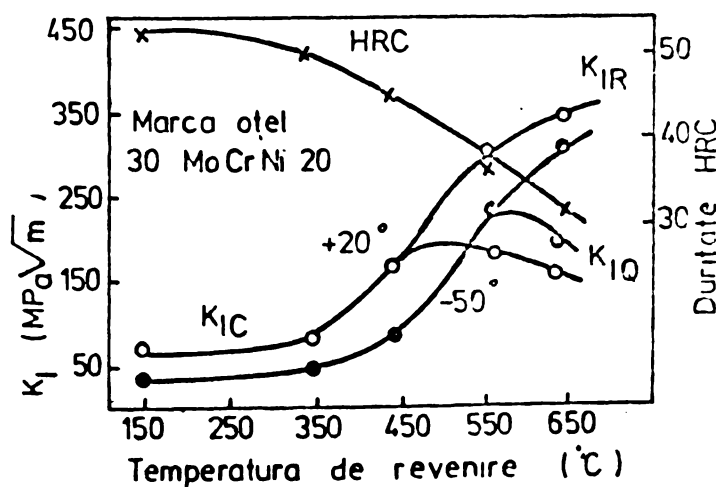


FIG. 40

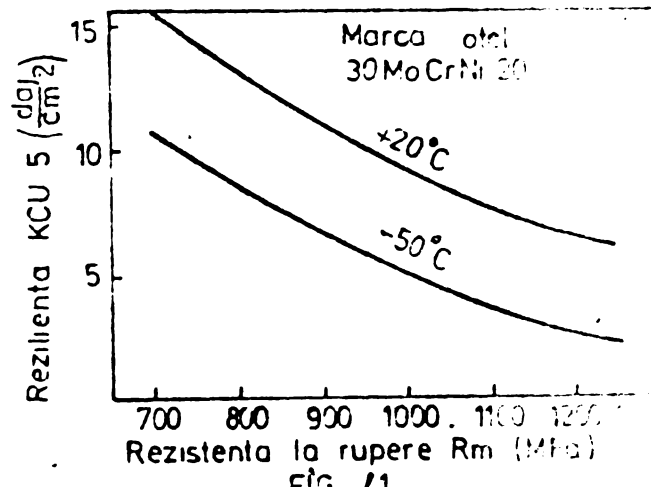


FIG. 41

Astfel de curbe sunt necesare pentru a stabili condițiile în care o mareă de oțel de îmbunătățire poate fi folosită la temperaturi scăzute. De exemplu, din figura 40 rezultă că la marca de oțel 30NiCrNi20 se poate asigura la  $-50^{\circ}\text{C}$  o tenacitate corespunzătoare cea pe care oțelul o are la temperatură ambientă dacă se aplică un tratament de revenire mai înaltă care să conducă la valori ale rezistenței la tracțiune cu 200 - 240 MPa mai mici.

5.3.5. Compatibilitatea caracteristicilor de tenacitate evaluate prin încercări de încovoiere prin  
loc

După cum s-a arătat în paragrafole de mai sus, prezintă importanță să se cunoască care este valoarea energiei de rupere KV la temperatură de tranziție  $\text{TT}_{\text{DP}}$ .

In diagramea din fig. 42, s-a făcut corelația dintre temperatură de tranziție  $\text{TT}_{\text{DP}}$  (valorile din fig. 39) și temperatură de tranziție  $T_{\text{KV}}$  (valorile din tabelul 5.2). Conform acestei diagrame, rezultă că la temperatura  $\text{TT}_{\text{DP}}$ , energia de rupere KV are valoare medie de 28 J.

Verificări suplimentare ale acestei corelații au fost făcute pentru oțelurile de îmbunătățire din STAS 791, atât în stare îmbunătățită (cu diferite regimuri de tratament termic) cât și în stare normalizată /79/. Au fost efectuate încercări de mecanica ruperii la temperaturi scăzute, să se determine temperatura de tranziție  $\text{TT}_{\text{DP}}$ , și la această temperatură să se încerceze epruvetele de încovoiere prin loc cu creșătură în V. Valorile energiei de rupere KV obținute sunt prezentate în fig. 43 sub formă dreptei frecvențelor cumulate. Repartitia datelor este normală, media fiind foarte apropiată de valoarea de 28 J, iar abaterea medie patrată fiind  $\sigma = 14$  J.

O primă constatare privind repartitia acestor valori este că imprecizia este mai mare decât se obține de regulă la oțelurile de fabricație curentă. În baza datelor din literatură /92, 93/ se poate aprecia că pentru oțeluri cu energia

de rupere  $KV = 28 J$ , valoarea abaterii medii patratice este de circa  $10 J$ . Efectuind testul  $F$  se infirmă ipoteza că populația statistică din fig. 43 poate fi considerată identică statistic cu o populație avind  $\bar{F} = 10 J$ . Valoarea calculată a statisticii  $F$  este  $1,96$ , fiind superioară valorii critice  $F_{critic} = 1,59$ , corespunzătoare unui nivel de încredere de  $95\%$ .

Imprăștierea valorilor obținute experimental este influențată atât de variația calității metalurgice a oțeluri-

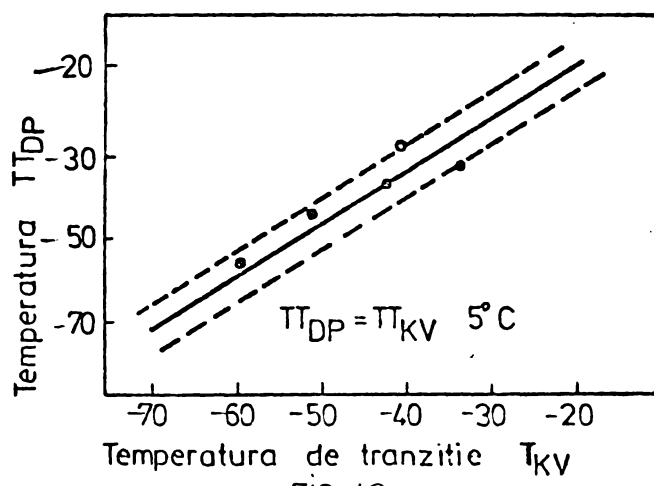


FIG. 42

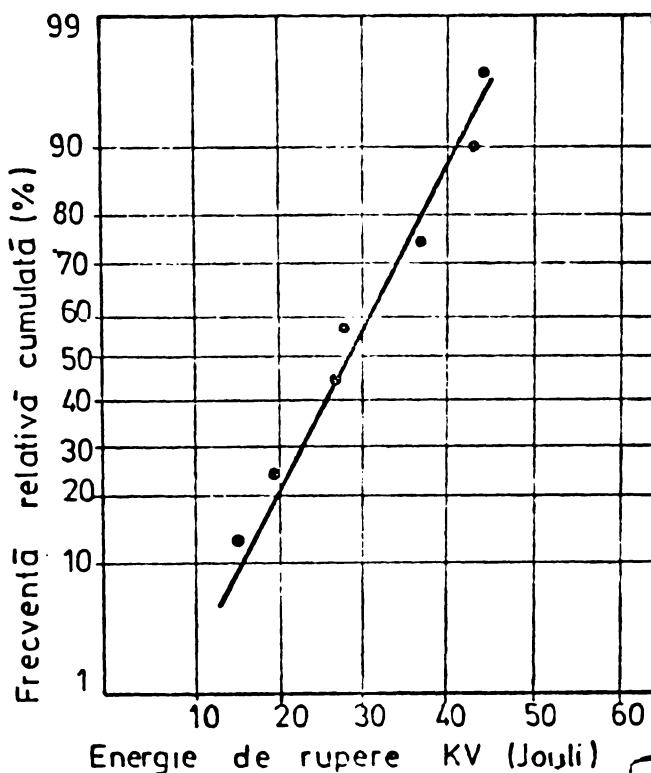
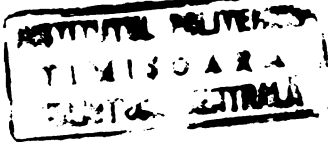


FIG. 43



lor și de erorile de determinare a temperaturii de tranziție  $T_{DP}$ , la care s-au efectuat încercările. Având valoarea abaterii medii pătratice a rezultatelor obținute sub efectul cumulat al celor doi factori și valoarea abaterii medii pătratice estimată ca valoare specifică a oțelurilor, rezultă că împărtierea datorită erorii de determinare a temperaturii  $T_{DP}$  este caracterizată de valoarea  $\bar{T} = 10$  J. Diferența între toleranțele statistice ale energiei de rugere KV sub efectul cumulat al celor doi factori și toleranțele statistice caracteristice ale oțelurilor, este de circa 17 J. Evaluarea s-a făcut luând pentru statistică  $U_{n,p}$  valoarea de 2,079, corespunzătoare volumului de selecție ( $n > 50$ ) și nivelului de încredere de 95%. Având în vedere variația medie cu temperatura a energiei de rugere KV, se poate aprecia că eroarea de determinare a temperaturii  $T_{DP}$  a fost de  $5 \dots 10^{\circ}\text{C}$ .

Această concluzie este în concordanță cu datele din fig. 42. Temperaturile  $T_{KV}$  sunt determinate ca temperaturi la care valorile centrale ale eșantionului au valoarea săt.  $KV = 28$  J, iar temperaturile  $T_{DP}$  sunt valori individuale ale determinărilor și sunt cuprinse în toleranțe de  $\pm 5^{\circ}\text{C}$ .

Având în vedere cele de mai sus, rezultă că criteriul  $KV = 28$  J poate fi generalizat pentru definirea temperaturilor de tranziție și pentru oțelurile de îmbunătățire.

O concluzie de asemenea favorabilă privind corelația cu caracteristicile de tenacitate evaluate prin încercări de încovoiere prin 400 se desprinde și prin comparația diagramelor din figurile 40 și 41. În figura 41 sunt prezentate curbele medii de variație a rezilienței funcție de valoarea rezistenței la tracțiune și de temperatură, preluate din lucrările /79, 80/. Din aceste curbe se desprinde asemenea concluzie ca din fig. 40 și anume că pentru a se asigura la  $-50^{\circ}\text{C}$  o reziliență asemănătoare cu cea obținută la temperatură ambientă, rezistența la tracțiune trebuie să fie cu circa 200 MPa mai mică.

#### 5.3.6. Considerații privind corolarea cu temperatură de tranziție RDT

După cum este prezentat în lucrarea /75/, decarcere

incercării propuse de N.S. Pellini pentru determinarea temperaturii NDT și sint specifice mărimi constante ale defectului (fisurii) și a nivelului de solicitare indiferent de clasa de rezistență a oțelului incercat, condiția de inițiere se realizează la aceeași valoare a factorului de intensitate al tensiunilor. Având în vedere că cele două valori limite  $K_{I_{DP}}$  și  $K_{L_{DP}}$  sunt proporționale cu limita de curgere a oțelurilor, rezultă că temperatura NDT va fi cu atât mai scăzută față de temperatura  $T_{T_{DP}}$  cu cît limita de curgere va fi mai mare. Acreditind corelația  $T_{T_{DP}} = T_{KV}$  obținută, rezultă că temperatura NDT trebuie să fie cu atât mai scăzută decât temperatura  $T_{KV}$  cu cît limita de curgere este mai mare.

Această prevedere teoretică nu este însă confirmată de rezultatele experimentale, după cum se arată în fig. 44. În această figură sunt prezentate corelații între NDT și  $T_{KV}$  în baza datelor din lucrările /78, 81/. Se observă că temperatura NDT este mai scăzută în raport cu temperatura  $T_{KV}$  la oțelurile cu limite de curgere sub 450 MPa.

Necomfirmarea prevederii teoretice poate fi pusă pe seama efectului diferit al zonei de influență termică, după cum este prezentat în paragraful 2.4, având la bază concluziile lucrărilor /19/. Într-adevăr oțelurile cu limite de curgere sub 450 MPa sunt oțeluri normalizate care au călăritatea scăzută, astfel că prin călăire tenacitatea oțelului crește (aceeași oțeluri de cementare care sunt folosite în stare călită și detensionată), conduceind la obținerea de temperaturi NDT mai scăzute. Oțelurile cu limite de curgere peste 450 MPa sunt oțeluri de îmbunătățire care au o bună călăritate și de aceea după călăire au tenacitatea mai scăzută decât cea obținută după călăire + revenire. În aceste condiții la aceste oțeluri temperatura NDT este proprie oțelului în starea de utilizare.

Se evidențiază astfel că nu se poate obține o corelație NDT -  $T_{T_{DP}}$ , din lipsa de corespondență a temperaturii de tranziție NDT.

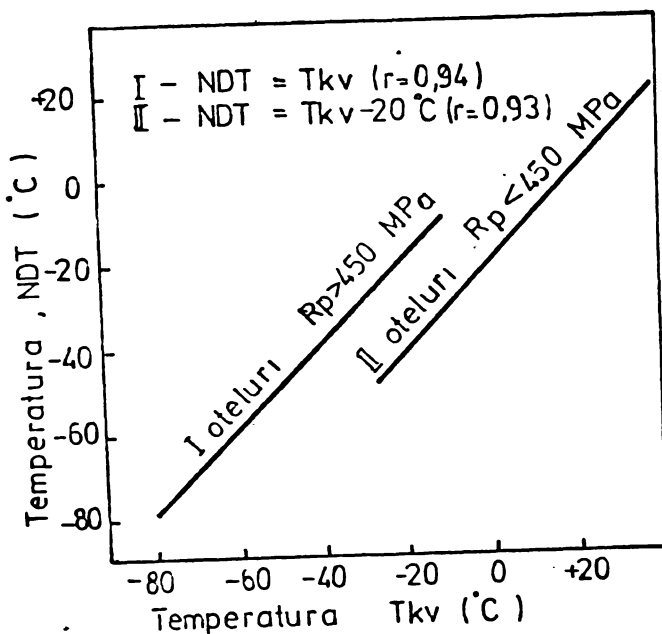


FIG. 44

#### 5.4. Adresieri privind caracterizarea otelurilor

Metoda propusă pentru evaluarea tenacității la fisurare a otelurilor a permis definirea temperaturii de tranziție  $TT_{DP}$  care evaluatează susceptibilitatea la fisurare a otelurilor. Rezultatele experimentale au evidențiat că toleranțele statistice ale caracteristicii  $TT_{DP}$  a unui otel sunt de aproximativ  $10^{\circ}\text{C}$ , comparabile cu toleranțele determinării temperaturii de pierdere a ductilității (STAS 9261).

Referitor la metodologia determinării temperaturii de tranziție  $TT_{DP}$  poate fi avută în vedere metodologia prescrisă în STAS 9261, fiind deci necesar un set de circa 10 epruve. Având însă în vedere toleranțele statistice ale temperaturii  $TT_{DP}$  caracteristice otelurilor, se poate face o determinare satisfăcătoare folosind numai două epruve. În acest scop a fost trasată curba valorilor medii a devierilor de la linieritate a curbelor forță-deplasare de deschidere a fisurii corespunzătoare momentului inițierii ruperii, funcție de diferența între temperatura  $TT_{DP}$  și temperatura de încercare. Această curbă este prezentată în Fig. 45.

Pentru determinarea temperaturii  $TT_{DP}$  folosind  
numai două epruvete se procedează astfel :

- a) se face prima incercare la o temperatura  
egală cu temperatura clasei de calitate  
a cijelului ;
- b) se măsoară devierea de la linearitate a  
curbei forță deplasare de deschidere a  
firurii corespunzătoare momentului  
inițierii ruperii ;
- c) se determină din diagrame din fig. 45,  
valoarea probabilă a temperaturii  $TT_{DP}$ ,  
care este verificată cu cea de a  
două incercare ;
- d) se verifică validitatea determinării,  
comparând valoarea caracteristicii  $K_{IR}$   
determinată cu valoarea dată de rela-  
ția :

$$K_{IR} = (12,5 \pm 1,5) R_p \text{ } 0,2 \quad (5.10)$$

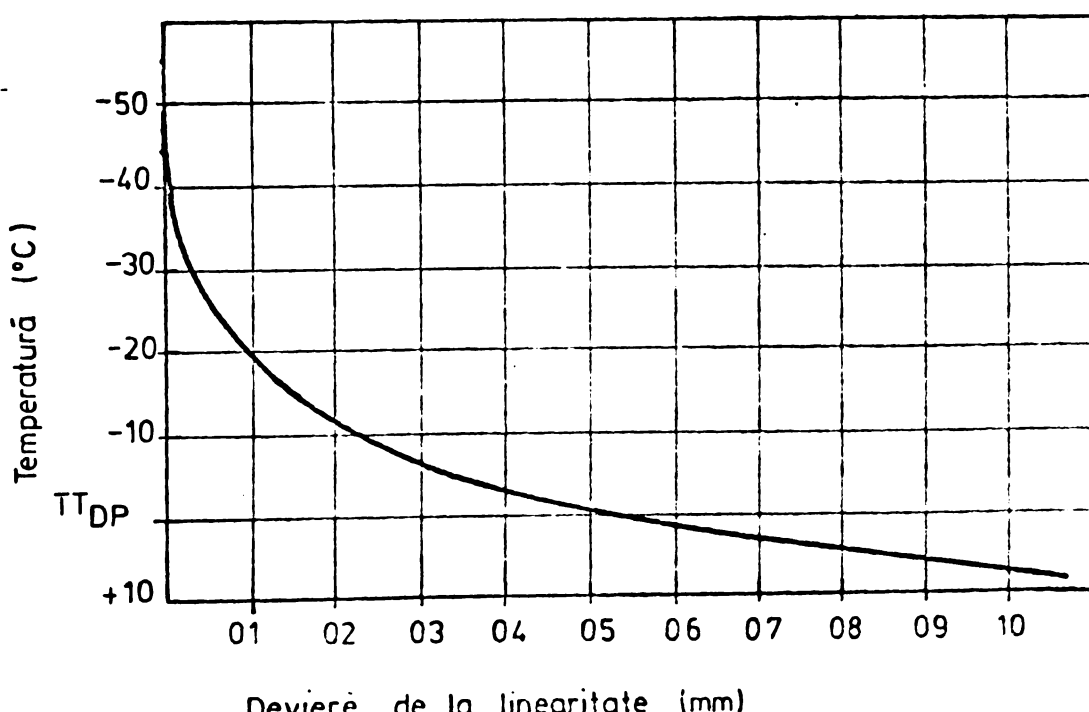


FIG 45

Dacă ele corespund, determinarea se consideră validă.

- c) în cazul în care la cea de a doua încercare temperatura alegată nu a corespuns temperaturii  $TT_{DP}$ , se poate face de a-ceastă dată o estimare corespunzătoare, având două puncte pe diagrama din fig.45.

Pentru cazurile în care determinarea temperaturii  $TT_{DP}$  este o condiție de recepție a unui produs în fabricație curentă sau cînd se verifică constanța calității unui lot de produse, se poate efectua numai cîte o încercare, și cu ajutorul diagramei din fig. 45 se poate evalua statistic gradul de asigurare a caracteristicii  $TT_{DP}$ .

### 5.5. Concluzii

a) Resultatele cercetărilor efectuate au confirmat valabilitatea relațiilor de calcul a compliantei specifice care stau la baza definirii noii caracteristici de material  $K_{IR}$  propusă. De asemenea au confirmat identitatea și unicatatea caracteristicii  $K_{IR}$ , precum și domeniul său de validitate.

b) În ceea ce privește caracterizarea susceptibilității la fisurare a otelurilor, concluzia principală desprinsă din cercetările făcute este că valoarea energiei de rupere  $KV = 28 J$  reprezintă un nivel de tenacitate cu semnificație fenomenologică deosebită în procesul de fisurare, definind o temperatură de tranziție fată de care criteriile de siguranță se impun să fi diferențiate avind în vedere comportarea diferită a materialului. Contrar acestor concluzii, temperatura NDT nu definește un prag de comportament al materialului, decareea valoarea ei este dependentă uneori de factori care definesc în fapt comportarea la sudare (fragilizarea zonei de influență termică) a materialelor.

c) Temperatura de tranziție  $TT_{DP}$  se poate determina folosind un număr de minim două epruvete. Verificarea constantei calității se poate face folosind o singură epruvetă, având și posibilitatea evaluării nivelului de încredere.

## 6. APLICATII ALE CIRCOSTARILOR

### 6.1. Definirea sistemului unitar de clase de calitate (tenacitate)

Desvoltarea și diversificarea continut a fabricației oțelurilor pentru construcții în țara noastră, în concordanță cu cererile formulate de consumatorii de metal din diferite ramuri industriale, a dus la asimilarea unui număr însemnat de mărci de oțel, în majoritatea cazurilor avându-se în vedere prescripții tehnice de calitate din diferite norme străine.

În această conjunctură, au apărut probleme de ordin economic atât în sectoarele de fabricație a produselor metalurgice, probleme vizând în special organizarea fabricației și asigurarea calității cu implicații directe asupra consumurilor de materiale, consumurilor energetice și asupra productivității, cât și în sectoarele de utilizare privind aprovizionarea și rationalizarea consumurilor și a stocurilor de materiale.

Probleme economice au fost generate și de unele aspecte tehnice. De exemplu, evaluarea după criterii diferite a tenacității oțelurilor face imposibilă dezvoltarea și verificarea în practică a unor metode unitare de prescriere a nivelelor de tenacitate a oțelurilor în vederea prevenirii pericolului ruperii fragile a structurilor metalice, aceasta având implicații directe asupra utilizării răționale a oțelurilor.

Cadrul general de abordare și reglementare a acestor probleme a fost creat de acțiunea generală, la nivelul întregii economii, de tipizare a produselor, atât sub aspect sototipodimensional cât și sub aspect calitativ. Dintre elementele care au stat la baza tipizării oțelurilor pentru construcții metalice /82, 83/ un rol de importanță l-a avut definirea unui sistem unitar de clase de calitate (de tenacitate) a oțelurilor.

Având la bază rezultatele cercetărilor de acreditație a nivelului de temacitate KV = 28 J pentru toată gama de oțeluri de construcții metalice, a fost definit sistemul de clase de calitate prezentat în tabelul 6.1. Prin revisuirea

Tabelul 6.1

Clasa de calitate (temacitate)	Temperatură (°C) la care se garantează KV = 28 J
1	-
2	+20
3	0
4	-20
5	-30
6	-40
7	-50

sub responsabilitatea autorului acestei lucrări a standardelor de oțeluri pentru structuri metalice (STAS 500, STAS 9021, STAS 2883) a fost asigurată introducerea sistemului unitar de clase de calitate (temacitate) din tabelul 6.1 și structurarea unitară a claselor de rezistență pentru toate domeniile de utilizare.

Structura codru de mărci de oțel adoptată, este prezentată în tabelul 6.2.

## 6.2. Alegerea oțelurilor pentru construcții metalice

### 6.2.1. Elemente generale privind normale de alegeră a claselor de calitate (temacitate)

Principiul metodelor actuale de prevenire a rupe-rii fragile a construcțiilor metalice este de prescriere a ni-velului de temacitate funcție de condițiile de exploatare și

Tabelul 6.2

Ieftita de curgere (m.s)	Densitatea oțălăurilor	Clasă de cultatate					
		1	2	3	4	5	6
240	- construcțiile metalice <sup>x</sup> )	0L37.1	0L37.2	0L37.3	0L37.4	-	-
	- vase sub presiune <sup>xx</sup> )	-	R41.2	R37.3	R37.4	-	-
290	- construcțiile metalice	-	0L44.2	0L44.3	0L44.4	0L44.5	0L44.6
	- vase sub presiune	-	-	R44.3	R44.4	R44.5	R44.6
360	- construcțiile metalice	-	R52.2	R52.3	R52.4	R52.5	R52.6
	- vase sub presiune	-	R52.2	R52.3	R52.4	R52.5	R52.6
430	- construcțiile metalice	-	-	0L55.3	0L55.4	0L55.5	-
	- vase sub presiune <sup>xx</sup> )	-	-	R55.3	R55.4	R55.5	R55.6
470	- construcțiile metalice	-	-	0L58.3	0L58.4	0L58.5	-
	- vase sub presiune <sup>xx</sup> )	-	-	R58.3	R58.4	R58.5	R58.6

<sup>x</sup>) Marcile de oțel notate cu simbolul OL sunt cuprinse în SNC 500, iar marcile de oțel notate cu simbolul OCS sunt cuprinse în SNC 901 (oteluri cu granulație fină).

<sup>xx</sup>) Marcă de oțel din SNC 2803

<sup>xx</sup>) Tipul de oțel la curs de valutarare, după care vor fi incluse în I.M.A. 2003

factorii constructivi. Practica uzinală a consacrat încercarea de încovoiere prin goc pe epruvete cu creătură pentru evaluarea tenacității. Modalitățile de evaluare a tenacității sunt însă diferite, atât sub aspectul tipului de epruvetă folosit, cât și sub aspectul criteriului de definire a temperaturii de tranziție a otelurilor. În general temperatura de tranziție este definită ca temperatura la care se asigură un nivel minim stabilit al tenacității, evaluată prin :

- adârarea energiei de rupere (sau rezilienței); valoarea cea mai frecvent folosită este  $KV = 28 \text{ J}$  ;
- mărimea suprafeței de rupere cu aspect cristalin ;
- mărimea contractiei laterale la fundul creăturii.

Elementele care au fundamentat prescripțiile diferențelor normative au un caracter empiric, având la bază definirea comportamentului otelurilor prin diferite încerciri fără a ține cont de corelația acestora cu elementele fenomenologice specifice procesului de finisaj. Cu toate acestea, prin cumularea experienței dobândită prin aplicare, ele au fost aduse la un nivel de conservatism care satiaface condiția de siguranță. În aplicarea acestor normative, trebuie avut însă în vedere că ele sunt valide în condițiile particulare specifice practicii industriale ale aricii în care s-au aplicat și poate că asta este explicația diferențelor foarte mari dintre prescripțiile diferențelor normative. Din aceste motive, folosirea unor normative străine trebuie făcută cu foarte mare atenție. Spre exemplificare, în fig. 46 sunt prezentate relațiile dintre temperatura de exploatare și temperatură de tranziție  $T_{Kv}$ , prescrisă în diferite normative /84/, pentru un caz în care toate celelalte elemente tehnice care sunt avute în vedere la alegerea temperaturii de tranziție a otelului sunt constante. Alegind un alt caz particular, poziția relativă a dreptelor se schimbă, astfel încât diferențele mari semnalate nu pot fi date pe seama introducerii unei

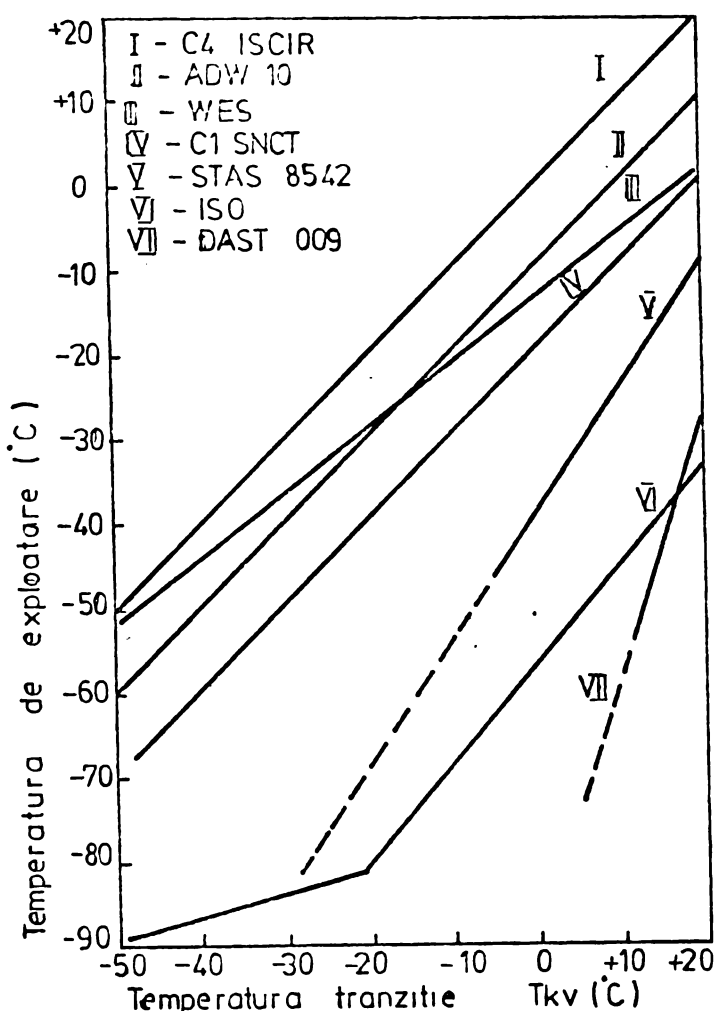


FIG. 46

coeficienti diferiti de siguranta. Acei coefficienti diferiti de siguranta ar trebui sa se regaseasca numai in ordonate la origine diferite ale dreptelor. Dreptele din fig. 46 au insa puncte diferite. Avand in vedere rezultatele corectarilor presentate in capitolul anterior, panta dreptei de credibilitate a fi corecta este de  $45^\circ$ .

#### 6.2.2. Analiza perioicolului ruperii prin fisurare /85/

Din punctul de vedere al mecanicii ruperii prin fisurare, se pot desemna doua sisteme de solicitare si anume :

- a) solicitari cu sarcini a curer valoare este independenta de aparitia si evolutia ruperii prin fisurare (constant sau variabila) ;

b) solicitări cu sarcini a căror valoare este dependentă sau influențată de apariția și evoluția procesului de fisurare.

Forțele independente de apariția și evoluția rupe-  
rii prin fisurare sunt forțele de greutate. Forțele dependen-  
te de apariția și evoluția procesului de fisurare sunt cele  
rezultate din solicitări cu deformare controlată, în acest caz  
mărimea forței fiind dependentă de rigiditatea sistemului, care  
se schimbă odată cu dezvoltarea fisurii. În categoria forțe-  
lor care sunt influențate de apariția și dezvoltarea fisuri-  
ler sunt forțele de presiune care se relaxează cînd se pierde  
elasticitatea (datorită fisurării), viteza de relaxare fiind  
dependentă de evoluția fisurării.

În analiza pericolului ruperii prin fisurare tre-  
buie avute în vedere două condiții și anume condiția de ini-  
țiere și condiția de propagare. Condiția de inițiere presupune  
stabilirea nivelului maxim de solicitare a unui element de  
construcție la care se realizează condiția de rupere, funcție  
de mărimea defectelor (fisurilor) care pot exista în material.  
Condiția de propagare presupune stabilirea dacă după realiza-  
rea condiției de inițiere, prin variația forțelor de solicita-  
re, proprii sistemului, condiția de inițiere se menține sau nu.

Condiția de inițiere, este determinantă pentru si-  
guranța unei structuri metalice, în cazul solicitării cu forțe  
independente de apariția și evoluția ruperii prin fisurare.  
Accasta decarece, indiferent de gradul de temnicitate al mate-  
rialului, cu creșterea lungimii fisurii, nivelul de solicitare  
critic este mai scăzut, astfel că fisura se propagă pînă la ru-  
pere totală.

Condiția de inițiere, este dată de atingerea vale-  
rui critice a factorului de intensitate al tensiunilor, acea-  
sa fiind  $K_{IC}$  în cazul materialelor fragile și  $K_{IR}$  în cazul ma-  
terialelor ductile. După cum se prezintă în fig. 47, în cazul  
comparării a două materiale, unul fragil și altul ductil la

- 101 -

care factorul de intensitate critic are aceeași valoare,  
adică :

$$\frac{K_{IC}}{\text{otel 1}} = \frac{K_{IR}}{\text{otel 2}} \quad (6.1)$$

sarcina portantă maximă este mai mare în cazul otelului fragil. Această superioritate a otelurilor fragile nu poate fi valoarificată însă decât în condiții speciale de control al defectelor și în cazurile în care nu există pericolul supra-sarcinilor datorate locurilor, care face necesară evaluarea siguranței având în vedere condiția de propagare a ruperii prin fisurare.

Condiția de propagare, este determinantă pentru siguranța unei structuri metalice în cazul solicitării cu forțe care sunt variabile după inițierea fisurării. Condiția de propagare este analizată pentru două cazuri și anume cazul suprasarcinilor în care variația forțelor este independentă de evoluția fisurării și cazul forțelor dependente sau influențate de evoluția fisurării care sunt caracterizate de scăderea în timp a forței de solicitare, după o curbă proprie fiecărui sistem.

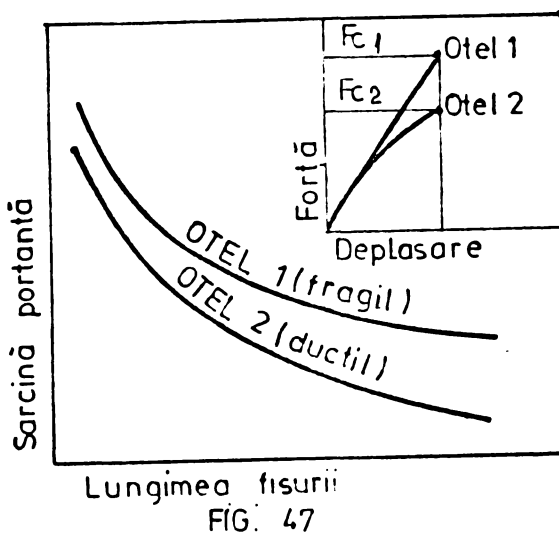


FIG. 47

Cele două cazuri sunt prezentate schematic în diagramele din figurile 48 și 49. În aceste diagrame este prezentată variația forței portante – în timpul propagării fisurii – a structurii metalice și variația sarcinii de solicitare. În cazul oțelurilor fragile viteza de propagare este foarte mare, comparabilă cu viteza de propagare a răndelor

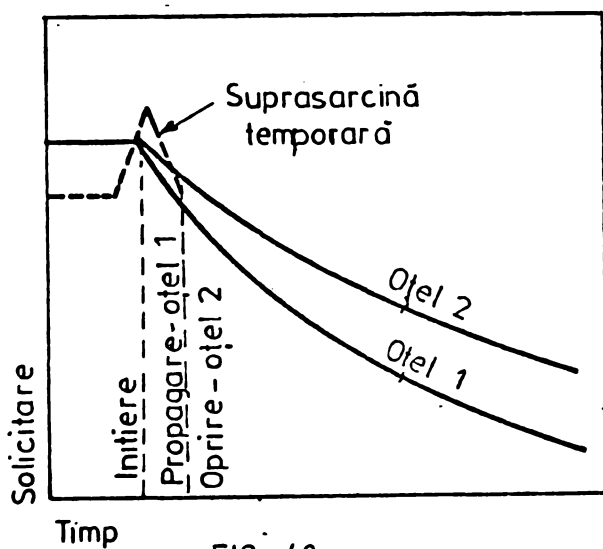


FIG. 48

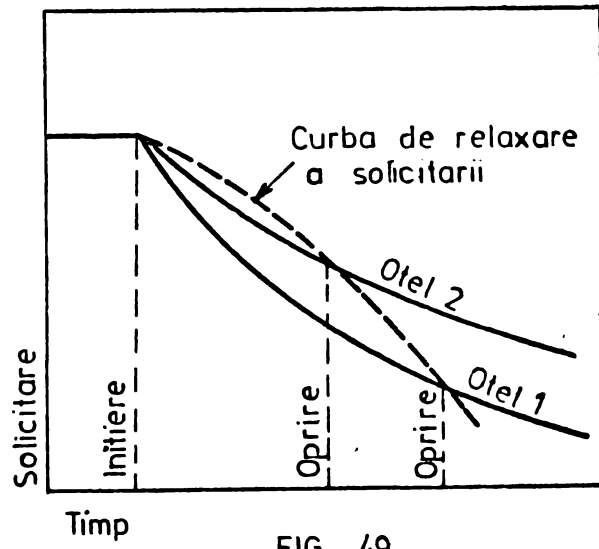


FIG. 49

elastică, iar în cazul materialelor ductile viteza de propagare are valori mult mai mici. Din această cauză sarcina portantă în cazul materialelor fragile scade foarte repede comparativ cu materialele ductile.

După cum se arată în fig. 48, pe durata unui cicl (suprasarcină) se poate atinge condiția critică mult mai ușor la materialele fragile. În acest caz după înălțurarea suprasarcinii fisurarea continuă pînă la rupere totală.

În cazul relaxării în timp a sarcinii de solicitare, fig. 49, intervalul de timp cît se menține condiția de inițiere, deci în care se realizează propagarea, este mai mic pentru materialele ductile. Tinind seama și de diferențele viteselor de propagare, rezultă că gradul de avariere este mult mai mic în cazul materialelor ductile. Din aceasta pot resulta atît avantaje economice considerabile cît și condiții

sporite de securitatea muncii. De exemplu în cazul conductelor de transport de petrol, folosind materiale cu ductilitate corespunzătoare s-au obținut avarii localizate pe cîțiva metri, iar în cazul folocirii de materiale cu ductilitate scăzută avaria s-a extins pe cîțiva kilometri de conductă. Condiția diferită de securitate a muncii, apare la avarieea vaselor sub presiune. Decursoare curba de relaxare a presiunii este dependentă de lungimea instantanea a fisurii, folosind materiale ductile rezultă o atenuare substanțială a efectului explosiv, făcă de cel care apare la ruperea vaselor sub presiune din materiale fragile.

În această analiză rezultă că siguranța la rupe-re prin fisurare în marea majoritate a cazurilor este dependentă de condiția de propagare, în ultima instanță de viteză de propagare, care are valori minime atunci cînd întreg frontul fisurii este înconjurat de enclavă plastică, deci cînd temperatura de serviciu a metalului este mai mare decît temperatură de tranziție  $T_{DP}$ .

#### 6.2.3. Efectul grosimii la ruperea prin fisurare

Unul din factorii de care se ține seama în toate normele de prevenire a ruperii fragile este grosimea.

Jupă cum s-a arătat în paragraful 1.4.1, efectul grosimii este semnificativ numai în zona de tranziție. În acest domeniu, comportamentul ductil este dat de enclavale plastice laterale, efectul lor având o pondere cu atît mai mare cu cît grosimea este mai mică.

Cercetările presentate în capitolul anterior au relevat că la inițierea enclavelor plastice frontale, enclavele laterale au o grosime cumulată care nu depășește grosimea de 25 mm. Rezultă că la grosimi peste 25 mm, plastificarea totală a frontului fisurii nu se poate realiza decît la temperaturi peste temperatură  $T_{DP}$ . La grosimi sub 25 mm, se poate obține o plastificare a întregii secțiunii numai pe scara

enclavelor plastice laterale, deci la temperaturi sub temperatură de tranziție  $TT_{DP}$ , cu atât mai scăzute cu cît grosimea este mai mică. Având în vedere că intervalul de tranziție al oțelurilor de construcții este de circa  $40^{\circ}\text{C}$ , rezultă că temperatura de tranziție a unui oțel, după criteriul-plasticierii totale a frontului fisurii, care dă condiția optimă de propagare, variază cu grosimea după cum se arată în fig. 50.

#### 6.2.4. Criteriile revizuirii STAS 8542

Rezultatele cercetărilor prezentate în cadrul acestei lucrări, au permis autorului să propună îmbunătățirea standardului de alegere a oțelurilor pentru prevenirea ruperii fragile (STAS 8542).

Forma revizuită a standardului este prezentată în anexa 1. La baza revizuirii lui au stat următoarele :

- a) prescrierea unor temperaturi de exploatare superioare temperaturilor de tranziție  $TT_{DP}$ , realizând astfel condiția optimă de propagare (de siguranță) ;
- b) adoptarea unei variații cu grosimea a temperaturii de exploatare conform fig.50,

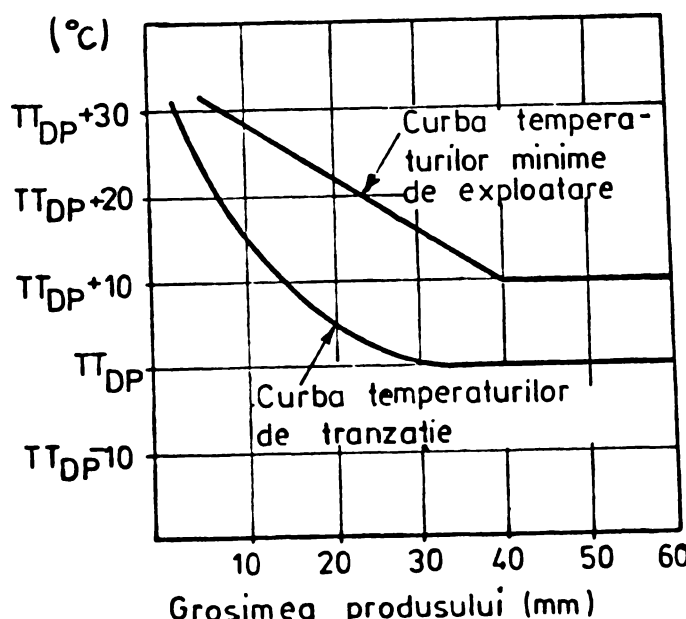


FIG.50

e/•

cu un coeficient de siguranță de circa  $10^{\circ}\text{C}$  față de temperatura de tranziție ;

- c) îmbunătățirea metodei coeficientului de pericolozitate pentru alegerea clasei de calitate. În cazurile în care natura și severitatea solicitării este mai puțin periculoasă decât în cazurile de bază (cu coeficientul de pericolozitate maxim), temperatura de exploatare se poate alege mai scăzută decât temperatura de tranziție, însă nu cu mult de  $35^{\circ}\text{C}$ .

Prescripțiile standardului se refereau numai la oțelurile din STAS 500. Bazat pe rezultatele cercetărilor ele au fost extinse și pentru oțelurile din STAS 9021, acoperindu-se astfel temperaturi de exploatare pînă la  $-50^{\circ}\text{C}$ .

#### 6.2.5. Eficiența economică

Comparativ cu vechiul standard, cel revizuit prescrie, pentru aceeași condiții de exploatare, folosirea unor clase de calitate mai scăzute. Avînd în vedere diferențele de preț de cost între oțeluri cu clase de calitate diferită rezultă din punct de vedere economic o scădere a prețului de cost al structurilor metalice, iar din punct de vedere al balanței de metal o utilizare mai ratională.

S-a făcut o evaluare a efectelor economice /85, 89/ referitor la producția anuală de table groase a Combinatului Siderurgic Galați. Structura pe clase de calitate a fabricațiilor de table groase pentru beneficiarii interni, este prezentată în fig. 51. Prin aplicarea standardului revizuit, rezultă după cum se arată pe aceeași diagrame o creștere a consumului de oțel din clasele de calitate inferioare și o scădere a consumului de oțel din clasele de calitate superioare. Reportat la consumul total de table groase rezultă o

reducere a costului construcțiilor metalice cu aproximativ 5 milioane lei la 100.000 tone oțel.

6.3. Prescripții de utilizare a otelurilor de îmbundătire pentru instalații de foraj care lucrează la temperaturi pînă la  $-60^{\circ}\text{C}$

Una din problemele pe care a ridicat-o utilizarea instalațiilor de foraj în zonele arctice, la temperaturi pînă la  $-60^{\circ}\text{C}$ , a constituit-o prevenirea ruperii fragile a construcțiilor mecanice. Această problemă, neabordată pînă în prezent în para noastră, a prezentat ca elemente de deosebită

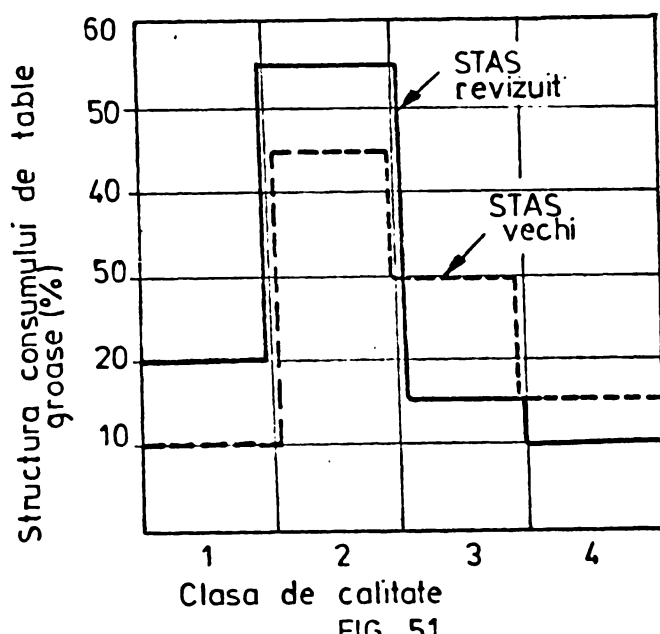
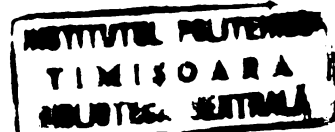


FIG 51

dificultate pe de o parte faptul că la această categorie de oteluri nu se cunosc comportarea la temperaturi scăzute, iar pe de altă parte documentațiile tehnice privind prevenirea ruperii fragile nu fac referire de regulă decît la otelurile normalizate pentru construcții metalice.

Au fost efectuate cercetări, sub responsabilitatea autorului, de caracterizare a temocității acestor oteluri, un

a/.



accent deosebit punindu-se pe stabilirea curbelor de tranziție cu temperatura și rezistența la tracțiune. Rezultatele acestor cercetări sunt cuprinse în lucrările /79, 80, 86, 87, 88/. Au fost folosite pentru cercetări atât datele de recepție uzinală (C.S. Hunedoara, C.S. Revița, C.R. Cîmpia Turzii, C.O.S. Tîrgoviște) pe trei ani cât și rezultatele de laborator pe minim 10 șarje din fiecare mărți de oțel. O parte din rezultatele obținute, precum și detalii privind concluziile cercetărilor au fost cuprinse în capitolul 5 al acestei lucrări.

Concluzia generală a acestor cercetări a fost că este posibilă folosirea la temperaturi scăzute a actualelor mărci de oțel din STAS 791, cu condiția prescrierii unor stări diferite de tratament termic, funcție de temperatură de utilizare.

Rezultatele cercetării au fost sintetizate în întocmirea unei Norme Tehnice de Ramură, prezentată în anexa 2, care cuprinde condițiile tehnice de calitate suplimentare a oțelurilor de îmbunătățire care lucrează la temperaturi scăzute și în același timp reprezintă un normativ al proiectantului de alegere a oțelurilor pentru construcțiile mecanice ale instalațiilor de foraj funcție de nivelul de solicitare și de temperatură minimă de exploatare.

Efectele economice ale cercetărilor sunt dificil de estimat. La beneficiar ele țin de efectele economice obținute prin realizarea întregii instalații de foraj destinate să lucreze la temperaturi scăzute. La furnizorul de oțeli, efectele economice sunt obținute din faptul că se poate asigura necesarul de oțeli fără asimilarea de mărci noi. De semnalat că cheltuielile pentru asimilarea unei mărci noi de oțel sunt estimate la circa 1 milion lei.

## 7. SINTEZA CONTRIBUȚIILOR LUCRARII

Obiectivul acestei lucrări a fost de a dezvolta o metodologie îmbunătățită de caracterizare a susceptibilității la fisurare ductilă a oțelurilor, având în vedere că în prezent sunt propuse multe metode care conduc însă la evaluări diferite ale calității oțelurilor.

Metodele empirice cunoscute, bazate pe încercări care nu reproduc fenomenul ruperii prin fisurare, nu au capacitatea de a defini caracteristici de material care să satisfacă condițiile de concludență.

Aceste condiții sunt satisfăcute numai de caracteristica  $K_{IC}$  determinată prin încercări de mecanica ruperii, decarece cunulează cele două elemente care definesc compoziția la rupere prin fisurare și anume rezistența și particularitățile structurale ale materialului. Determinarea caracteristicii  $K_{IC}$  este însă posibilă numai în condițiile ruperii din stare de deformare elastică, adică a ruperii fragile. Acest tip de rupere se obține în cazul oțelurilor de construcții la temperaturi foarte scăzute improprii pentru utilizare.

În cazul ruperilor prin fisurare ductilă, tendința generală este de extindere a conceptelor mecanicii ruperii linear elastice. Criteriile empirice propuse nu sunt însă corelate cu particularitățile apariției enclavelor plastice, drept care caracteristicile de material definite au valori care depind de factori independenți de calitatea materialului. Metoda empirică care asigură o evaluare mai fidelă a tenacității oțelurilor, are la bază un criteriu care constă în prescrierea unor epruvete cu grosimea cu atât mai mare cu cât tenacitatea este mai mare. Utilitatea acestei metode este însă redusă din cauza cărui permite caracterizarea produselor din gama dimensională cu ponderea majoră în consum.

Contribuțările lucrării la evaluarea susceptibilității la fisurare ductilă a oțelurilor sunt următoarele :

a) S-a definit și fundamentat teoretic și experimental o metodă nouă de evaluare a tenacității la fisurare a oțelurilor prin factorul critic de intensitate a tensiunilor din zonă centrală a grosimii epruvei. În acestă zonă se face inițierea ruperii prin fisurare. Caracteristica  $K_{IR}$  definită, este independentă de grosimea epruvei, determinarea ei fiind posibilă pentru produsele cu grosimea peste 16 mm și la temperaturi apropiate de temperaturile minime uzuale de utilizare a oțelurilor. Cu ajutorul caracteristicii  $K_{IR}$  a fost posibilă evidențierea unor diferențe calitative – din punctul de vedere al comportării la rupere prin fisurare – la materiale care prin celelalte metode puteau fi considerate similare. Această metodă reprezentă astfel un instrument util în cercetările de materiale în vederea dezvoltării unor tehnologii noi și a unor mărci de oțel cu caracteristici superioare.

b) S-a făcut caracterisarea susceptibilității la fisurare ductilă a întregii game de oțeluri pentru construcții metalice (STAS 500 și STAS 9021) și de oțeluri de îmbunătățire pentru construcții mecanice (STAS 791). Folosind metoda nouă propusă în această lucrare, au fost definite temperaturile de tranziție  $TT_{DP}$  și  $TT_{PP}$  ale oțelurilor, care corespund unor schimbări fenomenologice ale procesului de fisurare. Aceste temperaturi de tranziție prezentă o deosebită importanță din punctul de vedere al siguranței structurilor metalice. Temperatura  $TT_{DP}$  reprezintă limita minimă a temperaturilor de exploatare la care datorită rezistenței mari la propagarea fisurii materialul prezintă capacitate maximă de preluare a vocurilor și suprasarcinilor. Temperatura  $TT_{PP}$  reprezintă cea mai sădătă temperatură de exploatare la care materialul nu își pierde complet ductilitatea la fisurare.

c) Au fost folosite rezultatele cercetării în trei domenii și amme în tipizarea și standardizarea oțelurilor, în îmbunătățirea standardului de alegere a oțelurilor de construcții metalice pentru prevenirea ruperii fragile, și în

elaborarea prescripțiilor tehnice de utilizare a oțelurilor de îmbunătățirea pentru instalații de foraj care lucrează la temperaturi scăzute ( $-60^{\circ}\text{C}$ ). Obiectivele aplicative abordate în cadrul acestei lucrări se inseră pe linia rationalizării și valorificării superioare a oțelurilor, cu efecte economice generale de scădere a cheltuielilor materiale.

d) S-a stabilit metodologia de efectuare a incercărilor pentru determinarea noii caracteristici de material  $E_{IR}$ , și a metodologiei de determinare a temperaturii de tranziție  $TT_{DP}$ , folosind un număr redus de epruvete.

8. A N S X E

**ANEXA I : ALEGAREA OTELURILOR PENTRU CONSTRUCȚII  
METALICE**  
**(proiect revizuire STAS 8542)**

**1. Generalități**

1.1. Prezentul standard cuprinde criteriile generale pentru alegerea clasei de calitate a otelurilor din STAS 500-77 și STAS 9021-75 destinate utilizării în construcții metalice, în scopul evitării pericolului ruperilor fragile. Nu face obiectul prezentului standard alegerea cărcii de otel din punct de vedere al caracteristicilor de rezistență, care se face pe baza criteriilor de dimensionare și tehnico-economice.

1.2. Criteriile de alegere cuprinse în acest standard nu evaluatează schimbările de proprietăți ale otelurilor.

**2. Clase de calitate**

2.1. Otelurile pentru construcții metalice din STAS 500-77 și 9021-75 se clasifică după garanția de tenacitate dată la livrare, în clase de calitate conform tabelului 1.

Tabelul 1

Clasa de calitate	1	2	3	4	5	6	7
Energia de rupere KV = 28 J la temperatură (°C)	- 40	0	-20	-30	-40	-50	

### 3. Temperatura minimă de proiectare

3.1. Temperatura minimă de proiectare reprezintă ceea mai scăzută temperatură, care se are în vedere în alegerea clasei de calitate a oțelurilor.

3.2. Temperatura minimă de proiectare se alege ca ceea mai scăzută temperatură pe care metalul o poate avea în timpul serviciului.

Temperatura minimă de proiectare se poate stabili în funcție de temperatură mediiilor care vin în contact cu metalul, astfel :

- temperatura minimă a mediilor, altele decât mediul ambient, care vin în contact cu metalul, sau temperatura minimă a mediului ambient cind aceasta este în exclusivitate în contact cu metalul ;
- temperatura medie ceea mai scăzută a mediului ambient pe o perioadă de 24 ore, atunci cind aceasta nu este în exclusivitate în contact cu metalul, dar nu mai ridicată decât temperatura minimă a celorlalte medii.

### 4. Coeficient de pericolositate

4.1. Coeficientul de pericolositate reprezintă o evaluare cantitativă empirică a naturii și severității solicitărilor, care se are în vedere la alegerea clasei de calitate a oțelurilor.

4.2. Coeficientul de pericolositate se calculează cu relația :

$$G = K \times S \times E,$$

în care :

G = coeficient de pericolositate

K = factor constructiv

S = factor de importanță a elementului de construcție

B = factor de solicitare

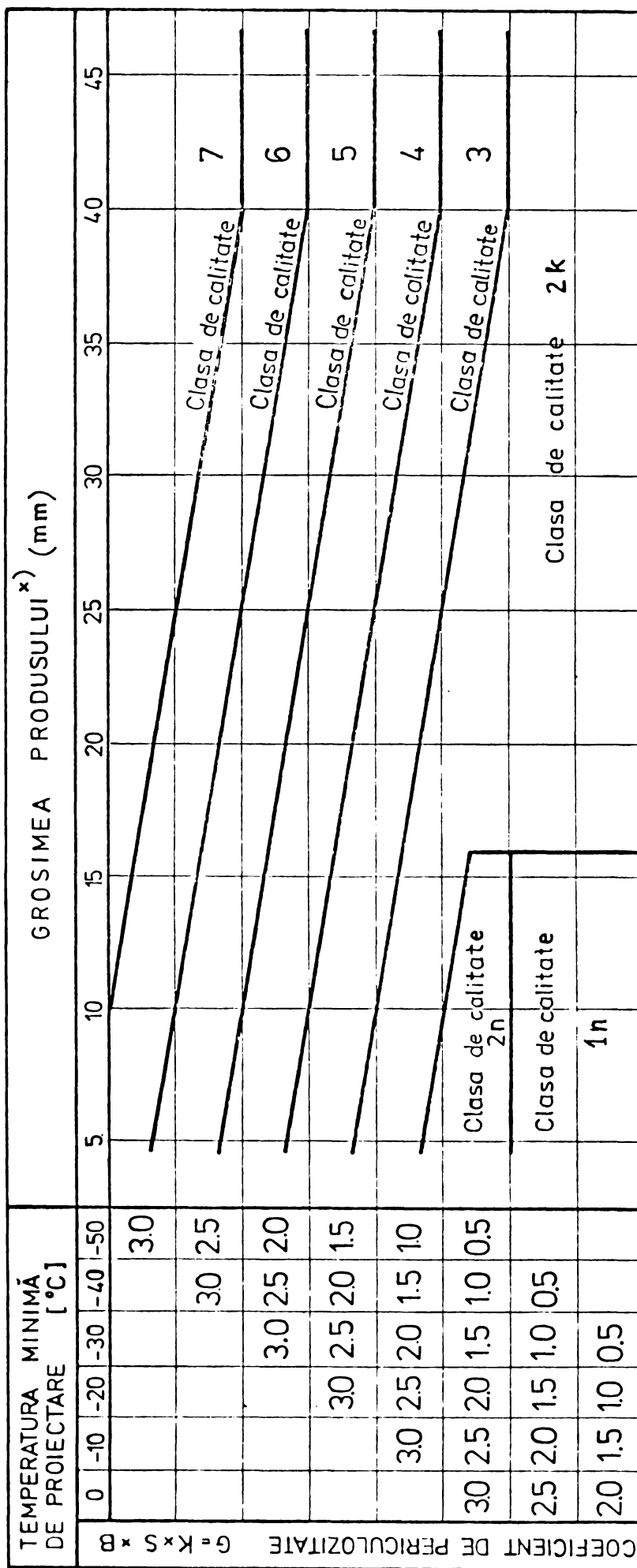
4.3. Valorile factorilor K, S, B se aleg în baza indicațiilor din tabelul 2. Aceste indicații nu sunt limitative, pentru fiecare tip de construcție putând fi aduse precizări și recomandări suplimentare.

Tabelul 2

Denumirea factorului	Simbol	Tipul construcției sau a elementului	Val. factorului
1	2	3	4
Factor constructiv	K	construcții nituite, elemente fără asamblări prin sudare	0,2
		stilpi, grinzi cu zăbrele, reazeme	1,0
		grinzi cu forme constructive conf. fig. 1.a	
		grinzi cu înimă plină cu forme constructive conforme fig. 1.b	
		elemente de construcție cu rigidizări și variații mari de secțiuni	1,4
		elemente de construcție cu forme constructive conforme fig. 1. c	
		construcții și elemente de construcții cuprinsind plăci cu rigidizări, care lucrează în stare biaxială de solicitări (rezervăre, bunărc, etc)	2,0

1	2	3	4
Factor de im- portanță	3	elemente de construcție care nu sunt prinse în sistemul de rezis- tență al unei structuri, a căror avarie nu afectează funcționali- tatea structurii	0,5
	3	elemente de construcție care nu sunt prinse în sistemul de re- zistență al unei structuri a cărui avarie afectează fu- ționalitatea structurii	0,8
	3	elemente de construcție suprin- se în sistemul de rezistență al structurii	1,0
Factor de soli- citate	B	elemente de rigidizare	
	B	elemente de construcție soli- cită la compresiune	0,5
	B	elemente de construcție supuse la solicitări cicleante	
		elemente de rezistență nede- tensionate, supuse la solicitări statice (viteze de solicitare sub 5000 daN/cm <sup>2</sup> sec), care sunt date în exploatare la tempera- turi peste 0°C.	1,0
		elemente de rezistență deten- sionate	
		elemente de rezistență nedeten- sionate	1,5

4.4. Valurile factorului de pericolozitate G se  
rotunjesc la una din următoarele valori : 3,0; 2,5; 2,0; 1,5;  
1,0; 0,5.



x) Pentru profile se ia grosimea medie a tălpii

FIG. 1

### 5. Alegerea clasei de calitate

5.1. Alegerea clasei de calitate a oțelului utilizat la o construcție sau element de construcție se face funcție de temperatură minină de proiectare, coeficientul de pericolositate și grosimea produsului, conform diagramei (fig. 2).

5.2. În cazul în care se produc schimbări de proprietăți datorită condițiilor de punere în operă sau exploatare, va trebui să se asigure că în starea finală sunt satisfăcute condițiile de tenacitate specifice clasei de calitate rezultate din diagramă.

5.3. Pentru construcțiile sudate, îmbindările sudate trebuie să asigure condițiile de tenacitate specifice materialului de bază.

5.4. Pentru construcțiile sudate, se vor asigura precauții udeovate, astfel încât nivelul tensiunilor reziduale să nu devină periculos, atât în timpul confectionării elementelor de construcții cît și în timpul exploatarii.

### 6. Indicații generale

6.1. În cazul construcțiilor importante cu soluții constructive complexe, care lucrează în condiții deosebite de solicitare și temperatură, precum și în cazul construcțiilor de mare serie la care se obțin efecte economice importante din alegerea judicioasă a clasei de calitate, se recomandă să se facă încercări suplimentare specifice, simulante sau pe ansamblu și subansamblu.

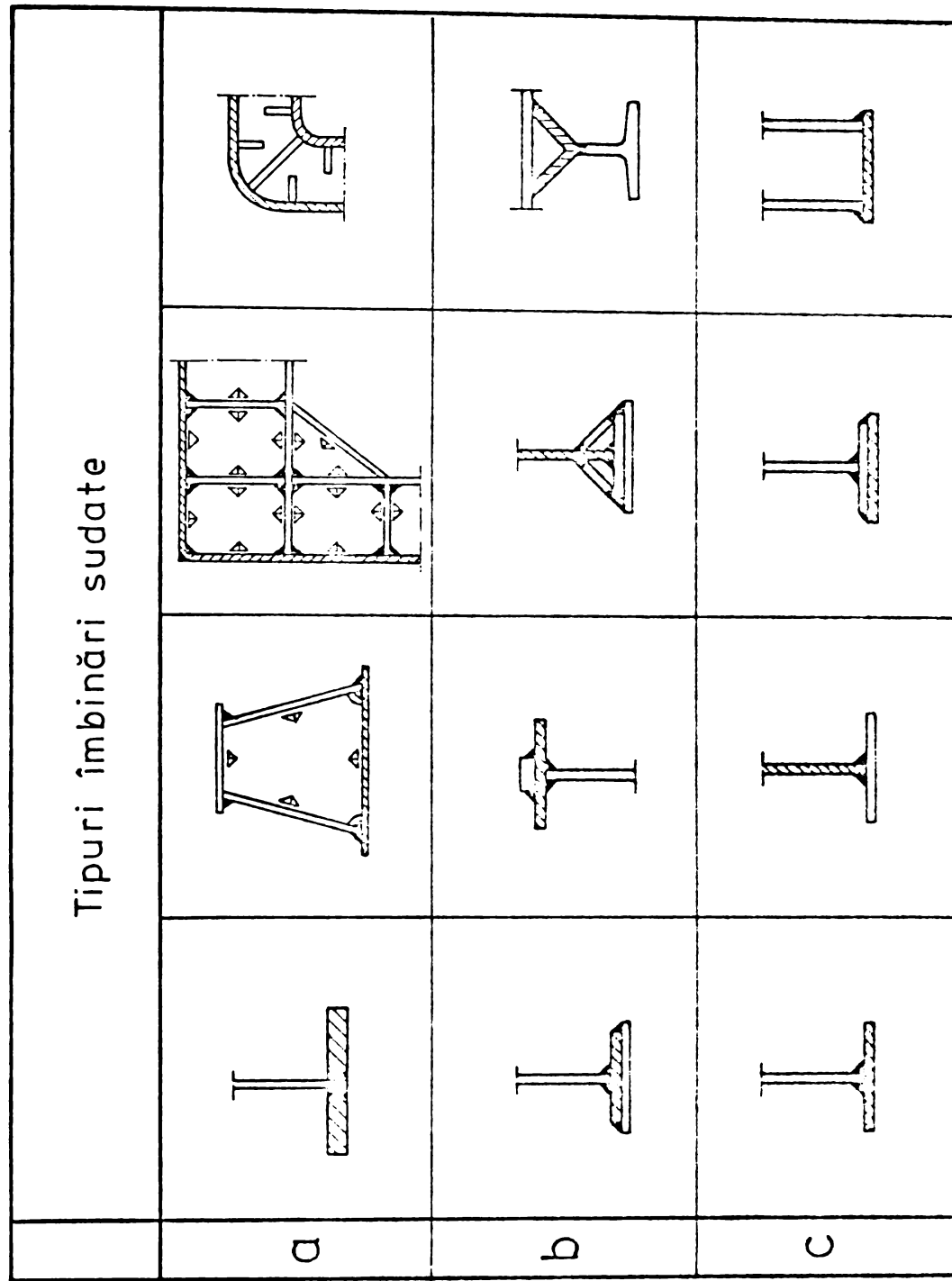


Fig 2

**8.2. Normă II : OTELURI DE IMBUNATATIRE PENTRU  
INSTALATII DE FORAJ CARE FUNCȚIONEAZĂ  
LA TEMPERATURI SCĂZUTE  
(Normă tehnică de razură)**

**1. Generalități**

**1.1. Domeniul de aplicare**

Prezenta normă cuprinde condițiile tehnice suplimentare ale produselor obținute prin deformare plastică la cald din oteluri de îmbunătățire superioare din STAS 791, în vederea utilizării lor la instalații de foraj care funcționează la temperaturi scăzute.

Condițiile tehnice generale de calitate sunt conform STAS 7450.

**1.2. Mărți de otel**

În obiectul prezentei norme, mărtele de otel : 35Mn16, 40Cr10, 40Cr10, 33NiCr11, 41NiCr11, 34NiCrMn15, 30NiCrNi120.

**1.3. Notare**

Notarea mărcilor se face conform prevederilor din STAS 791, la care se înlocuiește simbolul I cu simbolul P.

**1.4. Tipul de livrare**

Caracteristicile garantate la livrare sunt exprimate în tabelul 1.

Tabelul 1

Nr. ord.	Caracteristicile garantate
1	Compoziția chimică pe oțel lichid
2	Caracteristici mecanice pe probe de referință calite și revenire înalt
3	Călabilitate
4	Plasticitate sau duritate <sup>x)</sup>
5	Mărime grăunțe austenitic
6	Incluziuni nemetalice
7	Caracteristici macroscopice

x) În mod curent la livrare se garantează plasticitatea. Dacă beneficiarul a solicitat garantarea durătății maxime în stare de livrare, la simbolul P se adaugă litera e (exemplu 40CrloPae)

## 2. Condiții tehnico-de calitate

### 2.1. Compoziția chimică

Conform STAS 791, pentru oțelurile notate cu I.

### 2.2. Caracteristici mecanice

2.2.1. Resistența la tracțiune se va specifica în comandă, și va fi stabilită de beneficiar funcție de temperatură de utilizare conform tabelului 2.

2.2.2. Limita de curgere și alungire la rupere, vor avea valori minime garantate, stabilite funcție de valoarea minimă a rezistenței la tracțiune, conform tabelului 3.

Tabelul 2

Marca oțel	Rezistență la tracțiune ( $N/mm^2$ ), funcție de temperatură (°C) la care se face verificarea suprafeței E.CU/300/5				
	-20	-30	-40	-50	-60
35Mn16	650-850	630-830	600-800		
40Cr10	800-950	750-900	700-850		
40BCr10	870-1050	850-1000	830-980	800-950	750-900
33MoCr11	950-1150	900-1100	850-1000	800-950	700-850
41MoCr11	950-1150	900-1100	850-1000	800-950	750-900
34MoCrNi15	1050-1250	1000-1200	900-1100	800-9500	750-900
30MoCrNi20	1050-1250	1000-1200	950-1150	950-1100	900-1100

Tabelul 3

Valoarea minimă a rezistenței la tracțiune ( $N/mm^2$ )	Valoarea minimă a limitei de curgere ( $N/mm^2$ )	Valoarea minimă a elungirii la rupeare (%)
600	410	17
650	440	16
700	480	16
750	510	15
800	560	15
850	600	14
900	660	13
950	710	13
1000	770	12
1050	830	11

✓.

2.2.3. Rezistența ECU 300/5, la temperatură de încercare specificată în comandă va avea valoarea de 6,5 kgf/cm<sup>2</sup>. Se acceptă valoarea de 5,0 kgf/cm<sup>2</sup> dacă rezistența la tracțiune este în jumătatea superioară a intervalului prescris.

2.2.4. Condițiile tehnice ale tratamentului termic al probelor de referință se vor stabili de comun acord între furnizor și beneficiar. Doar valorile rezistenței la tracțiune specificate în comandă sunt cele prescrise în STAS 791, condițiile tehnice ale tratamentului termic sunt cele recomandate în STAS 791.

#### 2.3. Caracteristici tehnologice

Conform STAS 791

#### 2.4. Caracteristici metalografice

Conform STAS 791

### 3. Condiții tehnice generale de calitate și reguli pentru verificarea calității

Conform STAS 7450

#### 4. Marcare, livrare, documente

##### 4.1. Marcare

Conform STAS 7450 și STAS 791; culorile de marcăre se vor baza cu o linie albastru.

##### 4.2. Livrare

Conform standardelor de produs

##### 4.3. Documente

Conform STAS 7450. În documentul de certificare a calității se va preciza și condițiile de tratament termic a probelor de referință.

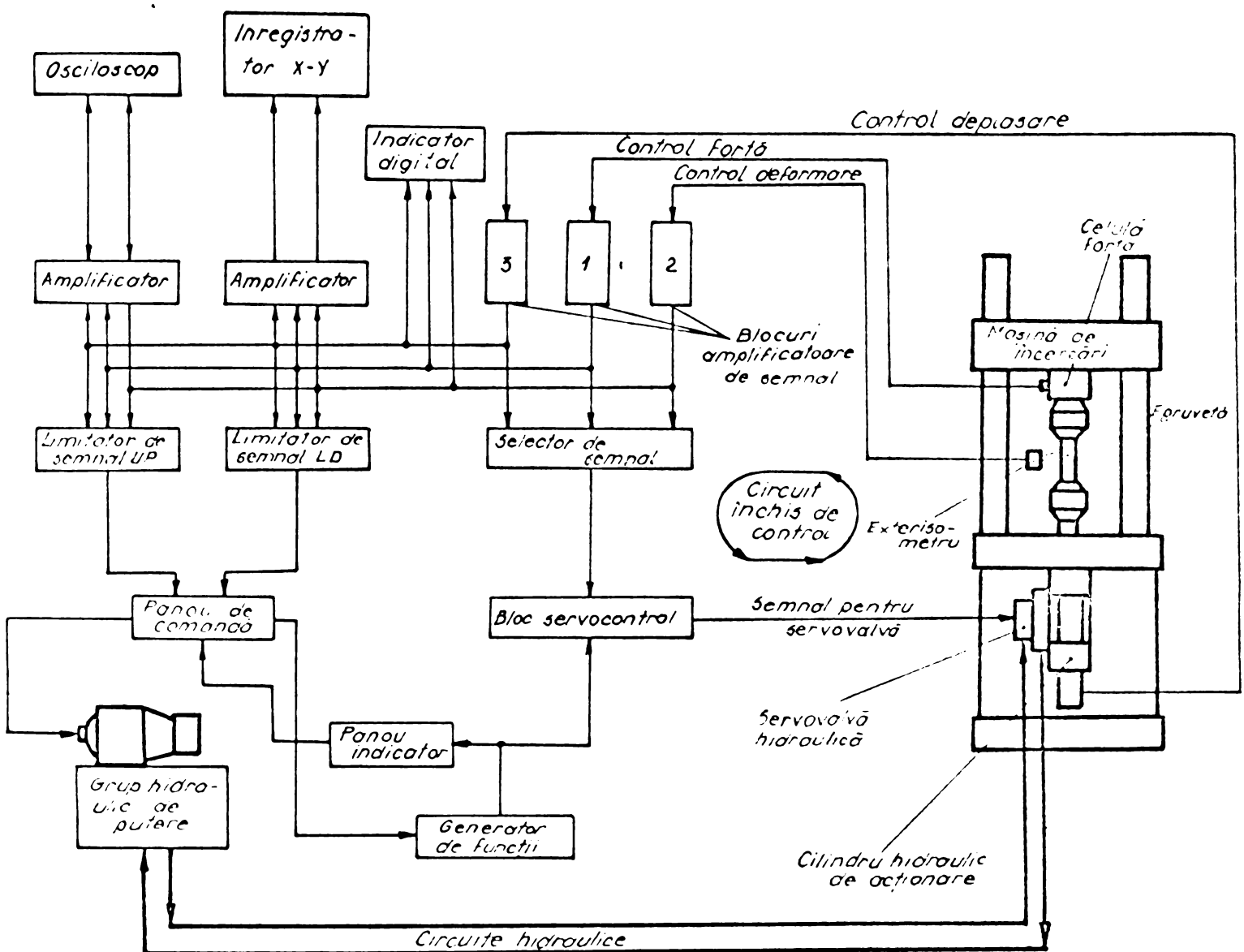


Fig.A.1. Schema Funcțională a mașinii de incercări speciale MTS

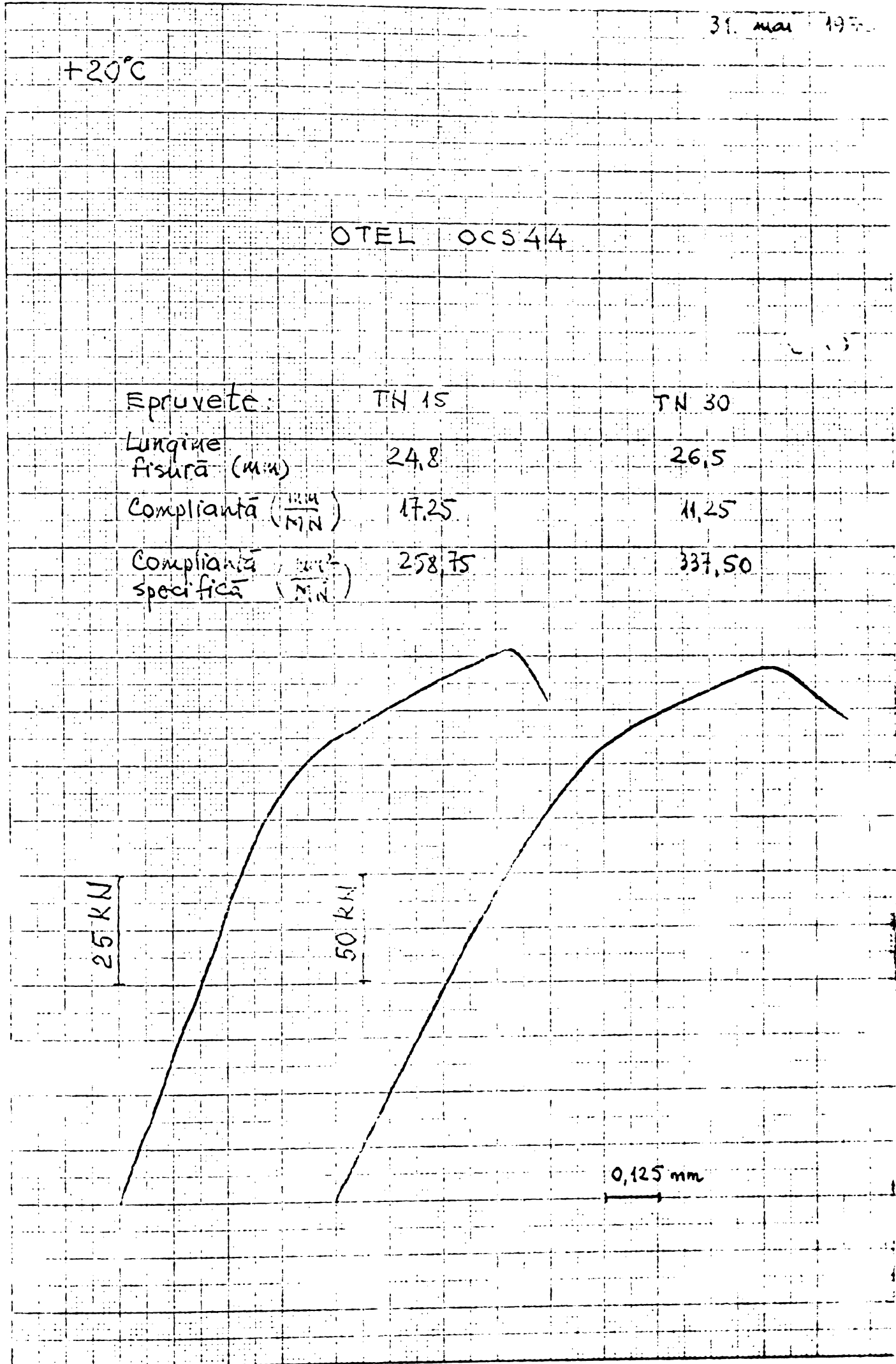


FIG. A2

I

Bibliografie

1. G. Dieter - Mechanical Metallurgy, McGraw-Hill Co.
2. A.A. Griffith - Phil. Trans. Roy Soc., 1920 (A), 21, pag. 163.
3. R. Weibull - Proc. Royal Swedish Inst., vol. 193, 1939, pag. 151.
4. M. Teodorescu  
V. Ghica - Cercetări Metalurgice, nr. 13, 38.
5. E.S. Pellini - Weld. Res. Suppl., 1971, pag. 91.
6. H.M. Schmidt - Doc. IIN - X312 - 1962.
7. G.D. Pearnough  
G.J. Hoy - Journal of Iron and Steel Inst., doc. 1964, pag. 912.
8. T. Kobayashi  
K. Takai  
H. Minami - Trans. Iron and Steel Inst. of Jap. vol. 7, 1967, pag. 115.
9. M. Teodorescu  
V. Ghica - Cercetări Metalurgice, nr. 11, pag. 615.
10. M. Teodorescu  
V. Ghica - Construcția de Mașini, 24, 1972, pag. 3.
11. M. Grumbach - Soudage et Tech., nov. 1967, pag. 493.
12. T. Kanazawa  
S. Machida  
Y. Numura - Doc. IIN - X403 - 1967.
13. G.D. Pearnough  
W. Nichols - Doc. IIN - X410 - 1967.

II

14. J.P. Knott  
A.H. Cottrell - Journal of Iron and Steel Inst. 261,  
1963, pag. 249.
15. N.S. Pellini  
P.P. Fuzak - ERL Report nr. 5920 - 1963.
16. N.S. Pellini  
P.P. Fuzak - ERL Report nr. 6030 - 1963.
17. T.S. Robertson - Engineering, 172, 1951, pag. 445.
18. T.S. Robertson - Journal of Iron and Steel Inst. 175,  
12, 1953, pag. 261.
19. V. Micologl - Cercetări Metalurgice, nr.16, 1975, 32.
20. P.J. Feely  
D. Hrtka  
J.R. Kleppen - Weld. Res. Suppl., 33/2, 1954, pag. 99.
21. P.J. Feely  
J.G. Northug  
J.R. Kleppen - Weld. Res. Suppl. 34/12, 1955, pag. 596.
22. M. Yoshida  
T. Kanazawa  
H. Itagaki - Proceedings Third Jap. Congress on  
Testing Mat., 1960, pag. 163.
23. G.J. Hall  
H. Kihara  
J. Boote  
A.A. Zellie - Brittle Fracture of Welded Plates  
Prentice - Hall Int., London, 1967.
24. x x x - First Report of E 24 Special  
ASTM Committee, Jan. 1960.
25. x x x - Second Report of E 24 Special  
ASTM Com. May, 1960.
26. x x x - Third Rep. of E 24 Special  
ASTM Com. Nov. 1961.

### III

27. x x x - Fourth Rep. of E 24 Special ASTM Com. march. 1962.
28. x x x - Fifth Rep. of E 24 Special ASTM Com. march 1964.
29. G.R. Irwin - J of Appl. Mech., 24, sept. 1957, pag. 361.
30. G.R. Irwin - ASTM Metals Eng Div Conf., may 1959.
31. G.R. Irwin  
J.H. Kiss  
H.L. Smith - Proc. AST., vol. 58, 1958, pag. 640.
32. G.R. Irwin - Rep. N RL nr. 5120, april. 1958.
33. G.R. Irwin - Rep. NRL nr. 5486, iul. 1960.
34. V. Ghica - Conceptele mecanicii ruperii privind susceptibilitatea la fisurare a ocelurilor. Bazele teoretice.  
Referat I.P. Timișoara, martie 1975.
35. L. Boceanu  
I. Dobre - Aplicații ale mecanicii solidului deformabil în construcția de mașini, Ed. Fasla, 1978.
36. L.R. Jackson - Mem. Battelle Inst., sep. 1963.
37. V. Weiss - ASME preprint, 62-WA-270, nov. 1962.
38. C.E. Inglis - Proc. Inst. Civ. Arch., vol. 60, 1913 pag. 219.
39. N.I. Muskhelishvili - Some Basic Problems of Mathematical Theory of Elasticity, P. Noordhoff and Co, 1953.

IV

40. H.M. Seestergaard - Trans. ASME, vol. 61, pag. 449.
41. F.A. Mc Clintock  
G.R. Irwin - ASTM - Spec. Tech. Publ. nr. 3 . 81,  
1964, pag. 84.
42. T. Pandă - Aplicații inginerști ale mecanicii  
ruperii, Ed. Tehnică, 1975.
43. D. Cioacă - Mecanica ruperii materialelor,  
Ed. Academiei RSR, 1977.
44. J.H. Kraft - App. Mat. Res., 5, 1964, pag. 88.
45. W.P. Brown  
J.P. Crowley - ASTM - Spec. Tech. Publ. nr. 410,  
1967.
46. V. Ghica - Cercetări Metalurgice, vol. 16, 1975,  
pag. 325.
47. H.J. Liu - Met. Calif. Inst. of Tech., sep. 1963.
48. J.F. Knott  
A.H. Cottrell - Journal of Iron and Steel Inst.,  
Vol. 261, 1963, pag. 249.
49. W.W. Gerberich - Publ. U 2238, Newport Beach, 1963.
50. D.S. Dugdale - J. of Mech. and Phys. of Solids,  
vol. 8, 1960, pag. 10.
51. A.A. Wells - Brit. Weld. J., nov. 1963.
52. D.E. McCabe  
R.H. Heyer - ASTM - Spec. Tech. Publ. nr. 527,  
1973.
53. G.R. Irwin - Mem. for ASTM E 24 Spec. Com.

•  
•/•

54. J. de Krafft  
A. L. Sullivan  
R. W. Boyle
55. E. J. Ripling  
E. Falkenstein
56. V. Ghica
57. R. H. Heyer  
D. E. Mc Cabe
58. R. H. Heyer  
D. E. Mc Cabe
59. C. L. M. Cottrell  
M. J. May
60. P. M. Burdekin
61. x x x
62. T. Kanazawa  
S. Machida
63. M. Teodorescu
- Proc. Cranfield Symp., sept. 1961.
  - ASTM - Spec. Tech. Publ, nr. 527, 1973.
  - Investigatii privind caracterizarea susceptibilității la fisurare. Caracteristici de material definite prin mecanica ruperii.  
Rezumat I.-I. Timișoara, oct. 1975.
  - Third Nat. Symp. on Fracture Mech., Leigh Univ., aug. 1969.
  - Four Nat. Symp. on Fracture Mech., Carnegie Inst., aug. 1970.
  - Proc. of Symp. on Fracture Toughness Concepts for Weld. Strc. Steels, Risley, april. 1969.
  - Proc. of Symp on Fract. Mech. for Weld. Struct. Steels, Risley, pr. 1969.
  - Methods for Crack Opening Displ. (COD) Testing, 2019-1972.
  - Proc. of Second Int. Conf. on Fracture, Brighton, april 1969.
  - Studiul influenței stării de tensiuni și a vitezei de deformare asupra tendinței la ruptere fragilă a otelurilor, Teză doct. I.P. Doc., 1973.

VI

64. J.-S. Pollini  
R.-D. Judy
- I.R. Bulletin nr. 157, dec. 1970.
65. J.-R. Rice
- Trans ASME, iun. 1968, pag. 979.
66. J.-A. Begley  
J.-D. Landes
- ASTM Spec. Tech. Publ. nr. 514,  
1971, pag. 24.
67. R.-J. Bucci  
și alții
- ASTM Spec. Tech. Publ., nr. 514,  
1971, pag. 40.
68. J.-P. Brown  
J.-E. Crowley
- ASTM - Spec. Tech. Publ., nr. 381,  
1964, pag. 133.
69. V. Ghica
- Contribuții la evaluarea tenacității la ruptere a oțelurilor pentru construcții.  
See. st. ICEM - sept. 1976.
70. V. Ghica
- Estimarea siguranței la fisurare a oțelurilor tenace pentru construcții și a structurilor metalice.  
Referat L.I. Timișoara, oct. 1976.
71. T.-A. Cruse  
H. Van Buren
- Fracture Mechanics, vol. 7, nr. 1,  
1971, pag. 1.
72. R. Drăgan  
P. Jane  
V. Ghica
- Cenaf. Tehnico-St., Rev. 1970.
73. V. Ghica  
M. Teodorescu  
C. Stanciu
- Corozații Metalurgice, nr. 17, 1976.
74. V. Ghica  
C. Stanciu
- Caracterizarea tenacității oțelurilor pentru construcții metalice prin încercări de mecanica ruperii la temp. scăzute.  
See. st. ICEM, sept. 1977.

## VII

75. V. Ghica  
- Comportarea oțelurilor examinate la fisurare și încadrarea rezultatelor în criteriile de apreciere a siguranței.  
Referat I.P. Timișoara, oct. 1977.
76. P. Iancu  
Ae Florescu  
Te Popa  
I. Petrică  
- Sesiune St. ICIM, sept. 1976.
77. P. Iancu  
N. Drăgan  
- Sesiune St. ICIM, sept. 1976.
78. J.H. Gross  
- Weld. Res. Supl., feb. 1960.
79. V. Ghica  
C. Georgescu  
- Cercetări pentru definitivarea caracteristicilor de tenacitate ale oțelurilor de îmbunătățire folosite pentru echipamente de foraj care lucrează la temperaturi scăzute, Studiu ICIM, 1977.
80. V. Ghica  
C. Georgescu  
P. Iancu  
- Utilizarea la temperaturi scăzute a oțelurilor de tratament termic.  
Sesiune St. ICIM, sept. 1976.
81. M. Teodorescu  
V. Ghica  
- Cercetări Metalurgice, vol. 12, 1971,  
pag. 319.
82. M. Teodorescu  
V. Ghica  
- Cercetări Metalurgice, vol. 16, 1975,  
pag. 301.
83. C. Stanca  
V. Ghica  
- Sesiunea tehnico-șt., uzina Gr. Rovinari,  
oct. 1977.
84. V. Ghica  
- Aspecte privind alegerea clasei de co-litate a oțelurilor pentru construcții metalice.  
Sesiune St. ICIM, sept. 1977.

✓

## VIII

65. V. Ghica  
C. Stanciu
- Consideratii privind alegerea oțelurilor pentru structuri sudate, avand în vedere evitarea pericolului ruperii prin fisurare.
- Sesiune st. ICEM, sept. 1976.
86. C. Georgescu  
V. Ghica  
A. Mitu
- Cercetări Metalurgice, vol. 16, 1975,  
pag. 349.
87. V. Ghica  
C. Georgescu  
J. Spindler  
A. Mitu
- Consideratii privind caracterizarea  
oțelurilor de îmbunătățire pentru  
organe de mașini.
- Sesiune st. ICEM, sept. 1976.
88. V. Ghica  
C. Georgescu
- Sesiune tehnico-st., uzinale Gr. Roșie,  
oct. 1977.
89. N. Lașcu-Simion  
H. Teodorescu  
C. Stanciu
- Rationalizarea structurii producției  
de produse plate, Studiu ICEM, 1977.
90. V.D. Iliescu  
V.Gh. Vodă
- Statistica și toleranțe  
Ed. Tehnică, 1977.
91. Gh. Mihoc  
V. Urseanu
- Sondaje și estimări statistice.  
Ed. Tehnică, 1977.
92. D. Stoje
- Materialprüf., 15 (1973) nr. 12,  
pag. 410.
93. A. Constantinescu - Materialprüf., 15 (1973) nr. 12,  
H. Teodorescu  
N. Lașcu-Simion pag. 406.